

ՀԱՅԿԱԿԱՆ ՍՈՒ ԳԻՏՈՒԹՅՈՒՆԵՐԻ ԽԱՂԵՄԻՑՔ
ՏԵՇԱԳՐԻ ՀՎԵՍՏԻЯ
ՀԱՅԱՍՏԱՆԻ ԱԿADEMII ՆԱՈՒ ԱՐՄԵՆԻԱ ՀԱՅԱՍՏԱՆԻ ԱԿADEMII

ՏԵԽՆԻԿԱԿԱՆ ԳԻՏՈՒԹՅՈՒՆՆԵՐԻ ԱԵՐԻԱ
СЕРИЯ ТЕХНИЧЕСКИХ НАУК

ԽՄԲԱԳՔԱԿԱՆ ԿՈԼԵԳԻԱ.

Աղոնց Հ. Տ. (պատ. խմբագրի տեղակալ), Անանյան Ա. Կ.,
Գասպարյան Ա. Մ., Եղիազարյան Ի. Վ., Կասյան Մ. Վ., Կասյան Մ. Վ., Խուդա-
վերդյան Վ. Վ., Նազարյան Ա. Գ. (պատ. խմբագիր), Սիմո-
նով Մ. Զ., Փիճաջյան Վ. Վ., (պատ. քարտուղար):

РЕДАКЦИОННАЯ КОЛЛЕГИЯ:

Ածոնց Գ. Տ. (зам. отв. редактора), Անանյան Ա. Կ., Գասպա-
րյան Ա. Մ., Եղիազար Ի. Վ., Կասյան Մ. Վ., Նազарօն Ա. Ղ.
(отв. редактор), Պինաժյան Վ. Վ., (отв. секретарь), Սимո-
նով Մ. Յ., Խուդավերդյան Վ. Մ.

ЭЛЕКТРОТЕХНИКА

Р. А. ГРДЗЕЛЯН, М. М. КАРАПЕТЯН, Н. П. СТЕПАНЯН, А. С. ТОРОСЯН

ОСОБЕННОСТИ РАСЧЕТА ГОДОВЫХ ПОТЕРЬ ЭЛЕКТРОЭНЕРГИИ
НА КОРОНУ ВЫСОКОГОРНЫХ ЛИНИЙ ЭЛЕКТРОПЕРЕДАЧ

Определение потерь электроэнергии и мощности на корону для линий электропередач, проходящих по высокогорным районам, имеет свои специфические особенности, вызванные в основном следующими обстоятельствами: вся трасса ЛЭП (линии электропередач) или отдельные ее участки расположены на высоких отметках над уровнем моря, где относительная плотность воздуха δ значительно низкая; трасса ЛЭП часто проходит по перевальным участкам, которые разделяют ее на части, находящиеся в различных климатических районах; в промежутке между двумя перевалами разница между отметками ЛЭП вдоль трассы может изменяться в больших пределах, достигающих 1500 м, а иногда и более.

Пониженная плотность воздуха в высокогорных районах приводит к увеличению потерь мощности на корону в зависимости от высоты расположения ЛЭП над уровнем моря (н. у. м.) Вследствие расположения ЛЭП на различных отметках н. у. м., возникает необходимость пересчета потерь мощности на корону, полученных на одних отметках к другим.

Особенности высокогорности влияют также на метод определения годовых потерь электроэнергии на корону, вследствие пересеченности трассы ЛЭП.

В настоящей статье на основании результатов, проведенных в ЛЭАН исследований по потерям на корону [1], рассматриваются возможности пересчета потерь мощности и подсчета среднегодовых потерь электроэнергии на корону для высокогорных ЛЭП. Подсчет потерь ведется раздельно для хорошей и плохой погоды.

Пересчет при хорошей погоде. Потери электроэнергии на корону в хорошую погоду при прочих равных условиях определяются в основном относительной плотностью воздуха δ , и поэтому пересчет потерь мощности на корону при наличии зависимости $\delta = f(H_m)$. (H — высота н. у. м.) равносителен пересчету потерь по высоте н. у. м.

Потери мощности на корону в $R \text{ квт/км}^2$ один провод $AC - 150$, в зависимости от электростатического градиента на поверхности провода $E \text{ квт/см}$ при различных группах δ , приведены на рис. 1. Для возможности систематизации полученных многочисленных данных по-

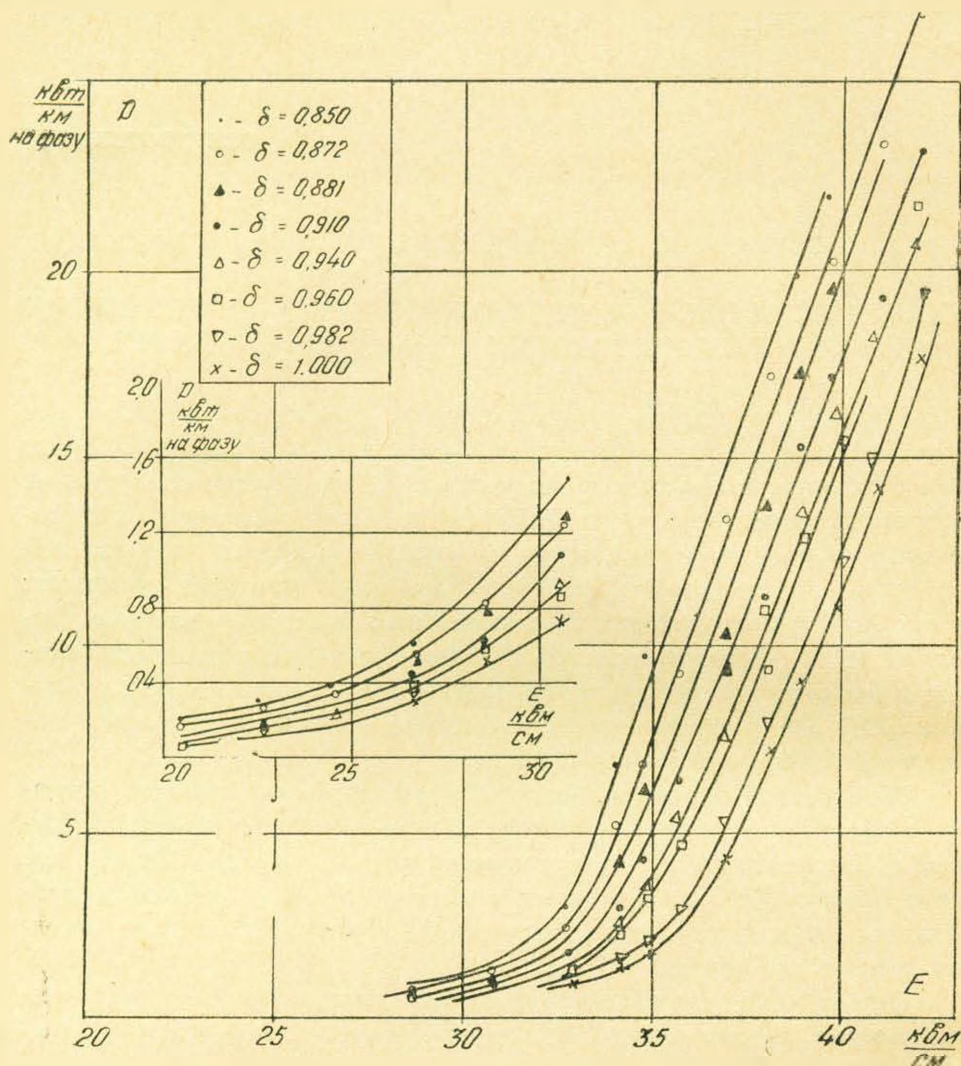


Рис. 1. Зависимости потерь мощности на корону в $\text{kWt}/\text{км}$ (на одну фазу) от градиента на поверхности провода для хорошей погоды при различных относительных плотностях воздуха δ .

терь мощности при хорошей погоде, последние сгруппированы по величине относительной плотности воздуха. Каждая группа δ охватывает диапазон изменения плотности воздуха не более $\pm 1\%$. Для каждой группы определены среднеарифметические значения P и δ (в группу входят 12—40 измерений).

Для выяснения возможности пересчета P по δ , данные пересчитаны в следующие координаты [2, 3 и 4].

$$P = f\left(\frac{E}{\delta}\right); P = f\left(\frac{E}{\delta^{1/2}}\right) \text{ и } P^* = \frac{P \varepsilon_0}{U_0^2 \omega C^2} = f\left(\frac{U}{U_0}\right),$$

где P — потери мощности в $\text{kvt}/\text{км}$ на один провод, U — напряжение на проводе в кв. эфф , E — величина электростатического градиента на поверхности провода в $\text{kvm}/\text{см}$;

$$E = \frac{\sqrt{2} \cdot C}{2 \pi \varepsilon_0 r} \cdot U;$$

r — радиус провода в см , C — геометрическая емкость провода в ф/км ,

U_0 — начальное напряжение короны в кв/эфф .

$$U_0 = \frac{E_0}{\alpha}$$

E_0 — начальный градиент короны в $\text{kvm}/\text{см}$ по Пику, α — пересчетный коэффициент, $\alpha = \frac{\sqrt{2} C}{2 \pi \varepsilon_0 r}$

$$E_0 = 29,8 \delta m_1 m_2 \left(1 + \frac{0,301}{\sqrt{r \delta}} \right)$$

m_1 — коэффициент поверхности провода, m_2 — коэффициент погоды.

Наилучшее схождение дают данные, пересчитанные в относительные координаты $P^* = f\left(\frac{U}{U_0}\right)$. При этом среднеквадратичные отклонения от среднеарифметических величин не превышают 12%. При пересчете в координаты $P = f\left(\frac{E}{\delta}\right)$ сходимость хуже и среднеквадратичные отклонения от среднеарифметических величин достигают около 20%. Пересчет в координаты $P = f\left(\frac{E}{\delta}\right)$ дает несравнимо больший разброс.

Для пересчета потерь мощности в высокогорных условиях по δ при одном и том же проводе и одинаковых габаритах линии, как следствие пересчета в относительные координаты, рекомендуется пересчет в координаты $\frac{P}{\delta^2} = f\left(\frac{E}{\delta}\right)$ (рис. 2), так как $U_0 = E_0 \cong \delta$ (для проводов большого диаметра), по-видимому, для расщепленных проводов при изменении δ в рассматриваемых пределах, изменение величины $\frac{0,301}{\sqrt{r \delta}}$ практически не влияет на величину E_0).

В этом случае пересчет проще, так как нет необходимости определения E_0 , и равносценен пересчету в относительные координаты.

Подобные же результаты по методам пересчета потерь получены для провода АСУ-300. Обобщенная характеристика потерь мощ-

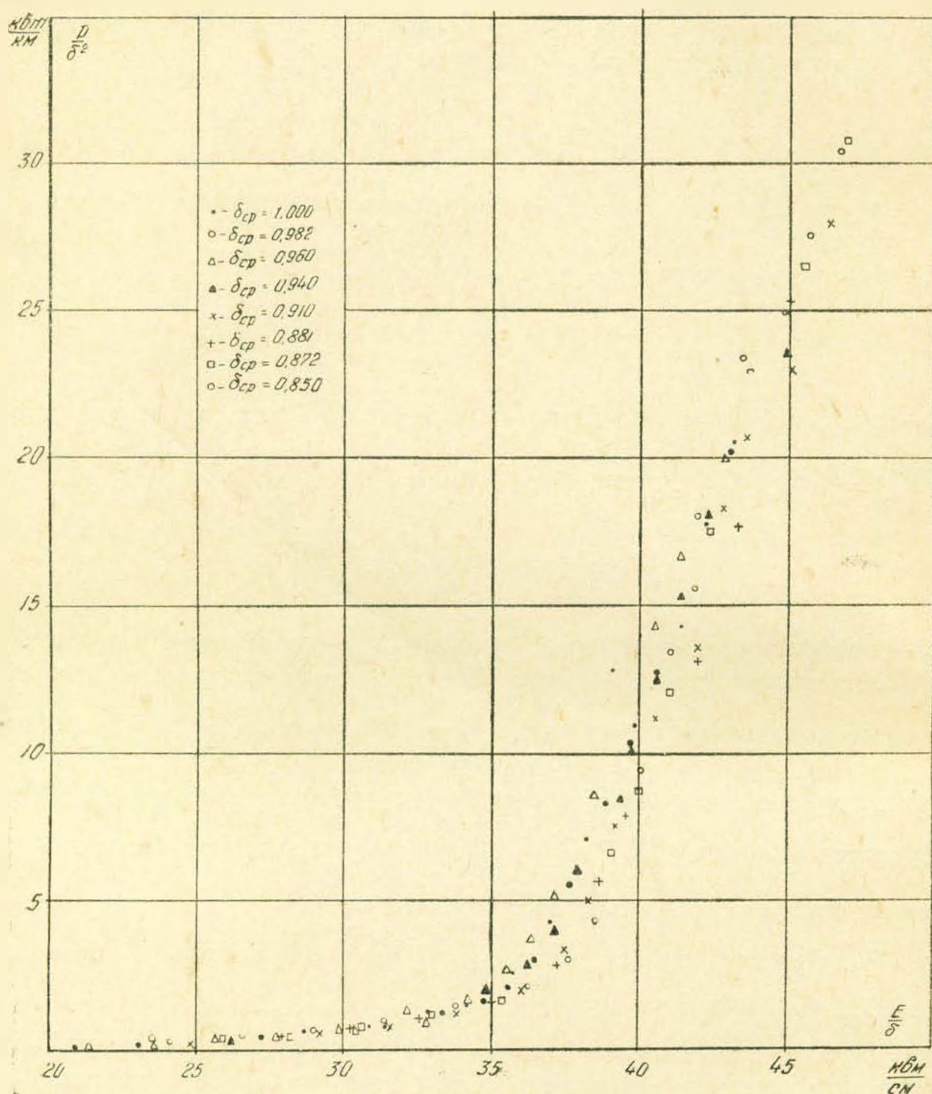


Рис. 2. Зависимость $\left(\frac{P}{\delta^2} = f \right) \frac{E}{\delta}$ (на одну фазу).

ности на корону в относительных координатах, полученная по данным измерения на проводах АС-150 и АСУ-300, приведена на рис. 3.

Таким образом, при отсутствии экспериментальных данных по потерям на корону для выбранного провода, определение величины потерь на корону с учетом δ можно производить по кривой в относительных координатах. При наличии же данных по потерям мощности на корону для выбранного провода при известной величине δ , пересчет целесообразно производить по кривой в коор-

динатах $\frac{P^*}{\delta^2} = f\left(\frac{E}{\delta}\right)$. Необходимо указать, что удовлетворительные результаты при пересчете в относительные координаты для различных проводов можно получить в том случае, если правильно учтено состояние поверхности проводов. Например, характеристики

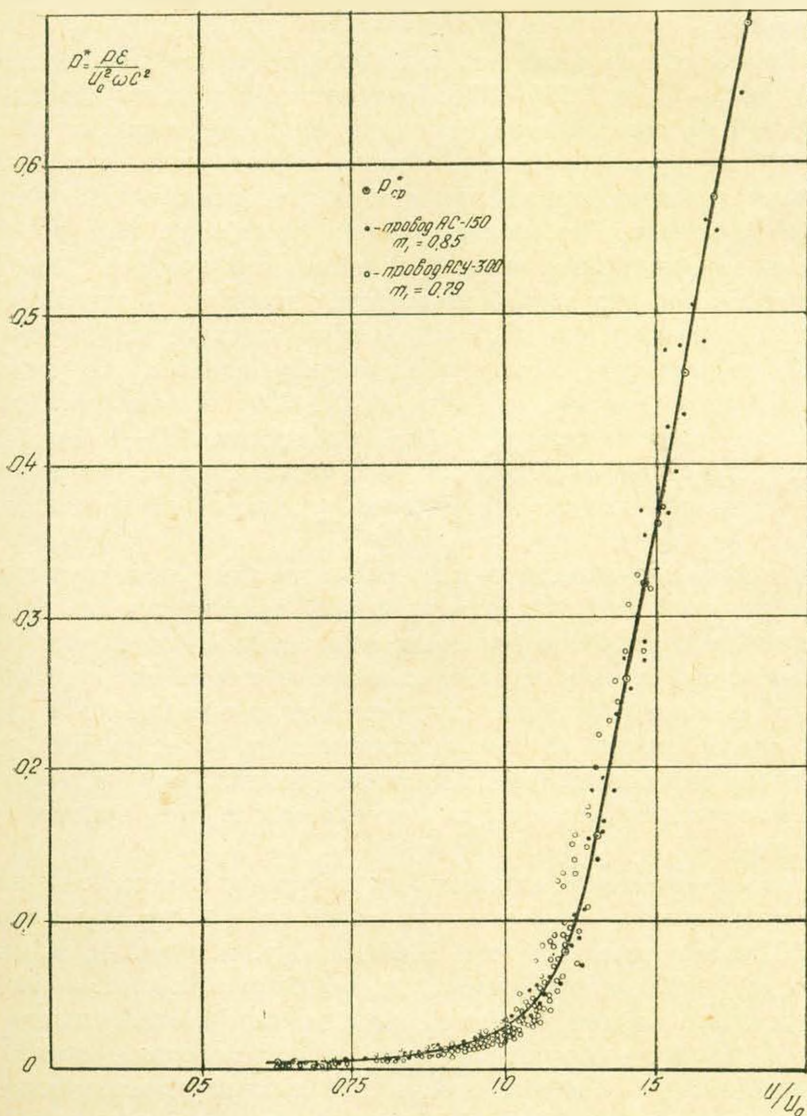


Рис. 3. Зависимости потерь мощности на корону в относительных координатах.

$P^* = f\left(\frac{U}{U_0}\right)$ для проводов *AC-150* и *ACY-300* совпадают только при $m_1 = 0,85$ для *AC-150* и $m_1 = 0,79$ для *ACY-300* (рис. 3). Указанное обстоятельство должно быть учтено при определении потерь мощно-

сти на корону для проводов различных марок, так как изменение коэффициента m_1 на несколько процентов может привести к изменению потерь мощности на сотни процентов. Поэтому должны быть с достаточной точностью определены коэффициенты поверхностей различных марок проводов с учетом всех факторов, влияющих на этот коэффициент. В противном случае пересчет становится сугубо ориентировочным.

В нашем случае такая разница в коэффициентах поверхности для проводов AC—150 и ACU—300 объясняется, по-видимому, в основном технологией их производства, так как при изготовлении провода ACU—300 использована смазка, которая периодически выступает на поверхность провода, способствуя тем самым снижению начального напряжения короны. Эта разница между коэффициентами поверхности проводов может быть вызвана еще тем, что процесс „старения“ не одинаково повлиял на характеристики проводов. В процессе длительного „старения“ при $E_m = 31 \text{ квм/см}$ характеристика провода AC—150 стабилизировалась, в то время как при тех же условиях „старения“ характеристика провода ACU—300 не подверглась существенному изменению. Ввиду того, что провод AC—150 подвергся сильному „старению“, использование его характеристик, на наш взгляд, можно ограничить выявлением влияния относительной плотности воздуха.

Пересчет при плохой погоде. В результате исследований был получен опытный материал, охватывающий практически все виды интересующей нас плохой погоды, а именно: дождь различных интенсивностей, сухой и мокрый снег, изморозь и туман. Изменения относительной плотности воздуха, как и следовало ожидать, для каждой группы плохой погоды на данной отметке н. у. м. небольшие, поэтому на основании этих данных детальное рассмотрение влияния δ на потери мощности на корону при плохой погоде не представляется возможным.

С целью выявления влияния δ на потери мощности при плохой погоде использованы данные потерь мощности на корону на проводе AC—150, измеренные на высоте 1100 м н. у. м. (рис. 4), и данные провода ACU—300, измеренные на высоте 2000 м н. у. м. при одинаковых условиях погоды. Пересчет этих данных в относительные координаты, таким же образом как и при хорошей погоде, показывает, что относительные мощности потерь (P^*) на корону, измеренные при меньших значениях δ (ACU—300), имеют меньшую величину, чем та-ковые при больших значениях δ (AC—150). Сходимость характеристик для проводов AC—150 и ACU—300 не имела места как при равных коэффициентах $m_1=0,85$, так и при коэффициентах $m_1=0,85$ для AC—150, а $m_1=0,79$ для ACU—300.

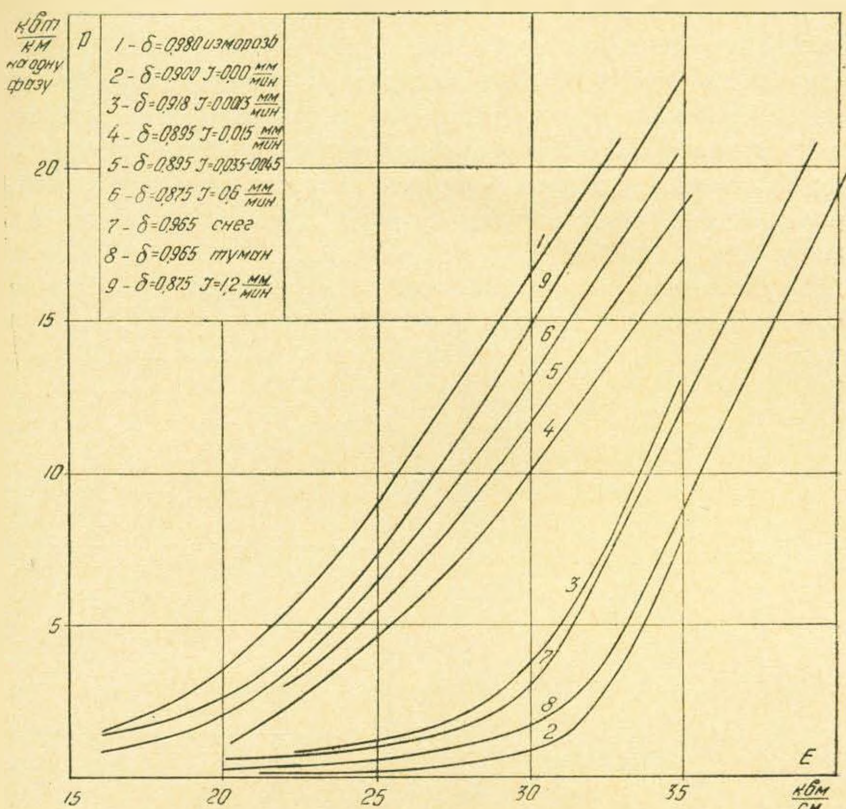


Рис. 4. Зависимости потерь мощности на корону в kWt/km (на одну фазу) от градиента на поверхности провода для изморози, дождя разных интенсивностей, снега и тумана.

Пересчеты данных в координаты $P = f\left(\frac{E}{\delta^{2/3}}\right)$ и $\frac{P}{\delta^2} = f\left(\frac{E}{\delta}\right)$ с учетом разных диаметров $P_1 = P_2 \left(\frac{r_1}{r_2}\right)^2$ также не дали удовлетворительных результатов.

Таким образом, во всех случаях пересчета данных отдельных групп плохой погоды, потери на проводе АС-150 превышали таковые на проводе АСУ-300. Это обстоятельство показывает, что учет влияния δ при плохой погоде нельзя производить таким же образом, как при хорошей погоде.

Для дождя и изморози данные были пересчитаны только по диаметру проводов без учета δ . Такой пересчет дает приемлемую сходимость данных (рис. 5, 6). Это дает основание считать, что влияние δ при рассмотренных группах плохой погоды значительно меньше, чем при хорошей погоде.

По пересчету данных по мокрому и сухому снегу и туману не удалось прийти к какому-либо заключению.

Учитывая, что в высокогорных условиях основная доля потерь при плохой погоде имеет место при дожде и изморози*, расчет потерь при плохой погоде, кроме потерь при тумане (которые могут быть присоединены к группе хорошей погоды), можно производить без учета изменения относительной плотности воздуха. Такой подход к пересчету потерь при плохой погоде является ориентировочным до обстоятельного изучения вопроса на нескольких типах проводов при различных δ .

Для учета особенностей высокогорных районов, при расчете потерь электроэнергии на корону, в общем случае трасса ЛЭП разде-

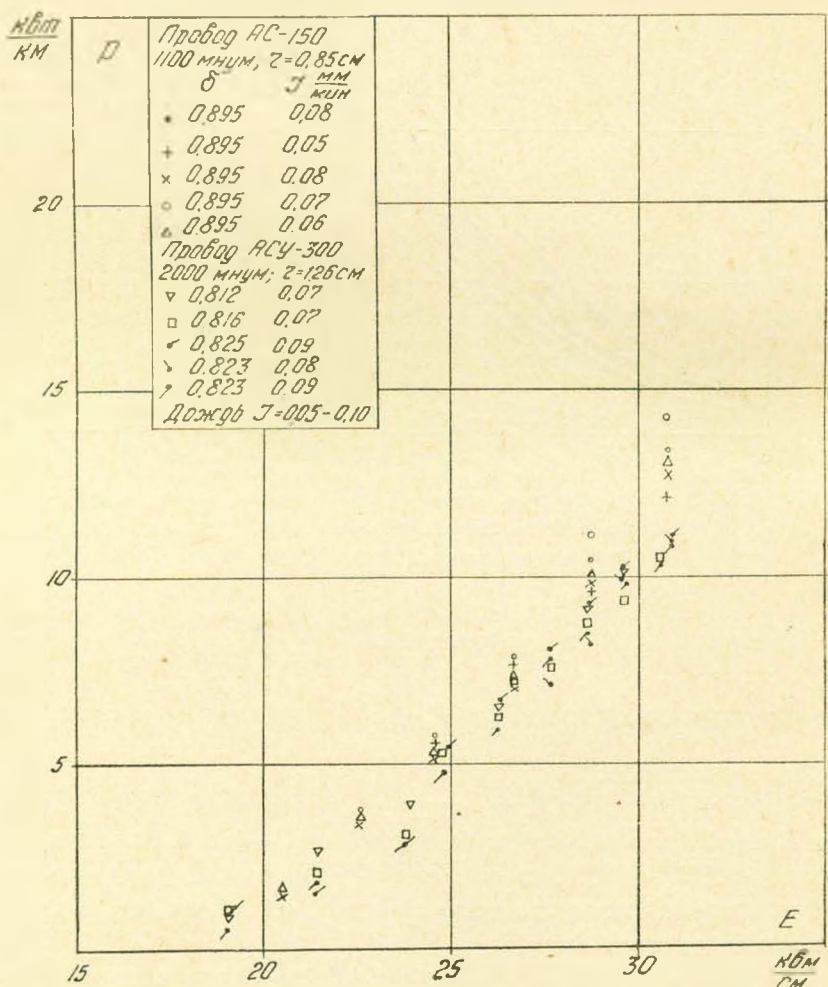


Рис. 5. Зависимости потерь мощности на корону в $\text{kW}/\text{км}$ (на одну фазу) от градиента на поверхности провода в $\text{kV}/\text{см}$ для проводов $AC-150$ и $ACY-300$ для дождя в пределах интенсивности $Z=0.05-0.1 \text{ м.м}/\text{мин}$. Потери на проводе $ACY-300$ приведены к радиусу провода $AC-150$.

* Вопросы образования изморози, мокрого и сухого снега на реальной ЛЭП подлежат изучению.

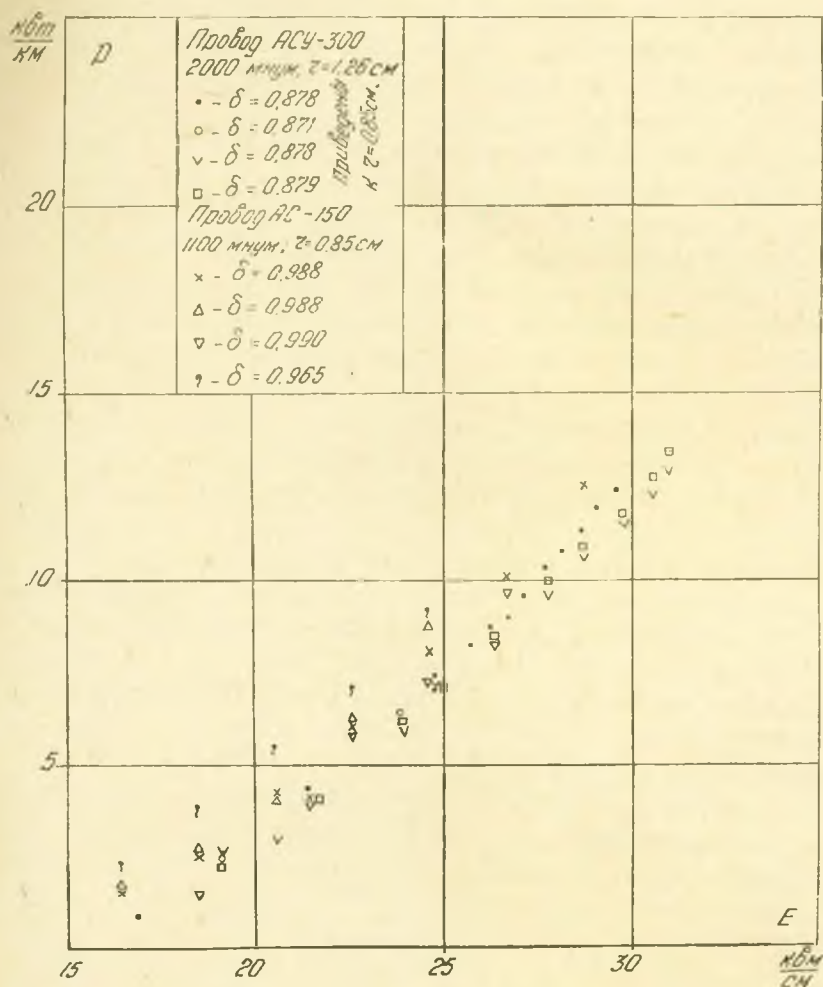


Рис. 6. Зависимости потерь мощности на корону в квт/км (на одну фазу) от градиента на поверхности провода для проводов АС-150 и АСУ-300 при изморози. Потери провода АСУ-300 приведены к радиусу провода АС-150.

ляется на зоны и участки. Разбивка трассы на зоны производится по водоразделам с учетом расположения метеостанций, так как климатические районы в основном определяются водоразделами. При большой протяженности трассы между водоразделами и наличии в этом районе нескольких метеостанций, трасса между этими водоразделами делится на несколько зон по метеостанциям. Если отметки трассы в зоне между водоразделами изменяются в больших пределах, то трассу ЛЭП в зоне можно разбить на участки, путем проведения на профиле трассы горизонталей, соответствующих определенным отметкам н. у. м. В зависимости от величины рабочего градиента на поверхности провода E и от желаемой точности расчета, расстояние между горизонтальными можно выбирать 200–500 м. При хорошей погоде, если величина E соответствует начальной, пологой части характеристики по-

терь на корону, расстояние между горизонталами целесообразно брать больше, а в крутой части характеристики—меньше. За длину участка ЛЭП принимается расстояние между точками пересечения трассы ЛЭП с соседними точками горизонталей.

Расчет годовых потерь электроэнергии на корону при хорошей погоде. Продолжительность числа часов хорошей погоды в году составляет в среднем 0,85—0,90 T_r (где $T_r = 8760$ часов) и не находится в определенной связи с высотностью. Поэтому доля потерь электроэнергии на корону при хорошей погоде в высокогорных районах больше, чем в низменных районах. Для ЛЭП 220 и 330 кв Армянской ССР годовые потери электроэнергии на корону при хорошей погоде составляют основную долю общегодовых потерь. Указанное обстоятельство ставит необходимость более тщательного рассмотрения потерь электроэнергии на корону при хорошей погоде.

Метеорологические данные для всех участков данной зоны (продолжительность хорошей погоды, количество и продолжительность дождя, снега и т. д.), кроме относительной плотности воздуха, принимаются одинаковыми и берутся на основании метеорологических наблюдений метеостанций, расположенных в районе трассы ЛЭП данной зоны. Для каждого участка определяется средняя отметка над уровнем моря и соответствующая ей $\delta_{ср}$ по кривой зависимости средней многолетней относительной плотности воздуха от высоты над уровнем моря $\delta_{ср. мл.} = f(H)$ [5].

При расчете потерь электроэнергии на корону при хорошей погоде учитывается изменение δ на данной высоте н. у. м. в течение года. Закономерность изменения относительной плотности воздуха на данной высоте во времени, выраженная в долях от $\delta_{ср. мл.}$, не зависит от высоты [5].

Для упрощения учета изменения δ во времени можно рекомендовать табл. 1, составленную по зависимости $\frac{h_i}{h} = f\left(\frac{\delta_i}{\delta_{ср. мл.}}\right)$ [5]. Кривая разделена на интервалы по оси $\frac{\delta}{\delta_{ср. мл.}}$, для каждого интервала определена его среднеарифметическая величина, обозначаемая $K_{ср.}$.

Таблица 1

$K_{ср.}$	0,95	0,98	1,01	1,04	1,07	1,10
Продолжительности δ/δ _{ср. мл.} в долях от числа часов в году	0,021	0,366	0,300	0,195	0,096	0,022

При расчете потерь электроэнергии на корону для хорошей погоды можно принять, что закон распределения δ во времени в процентах соответствует таковому для полного года, так как число часов плохой погоды относительно небольшое.

Таким образом, расчет потерь электроэнергии при хорошей погоде на данном участке ЛЭП производится следующим образом:

$$A_{\text{уч.}} = l_{\text{уч.}} \cdot h_{x.n.} \sum_{i=1}^{i=n} P_{\delta i} \left(\frac{h}{h_n} \right)^i,$$

где $A_{\text{уч.}}$ — потери электроэнергии на корону при хорошей погоде в *квтч*; $l_{\text{уч.}}$ — длина участка в *км*; $h_{x.n.}$ — число часов хорошей погоды зоны, где находится данный участок; $P_{\delta i}$ — мощность потерь на корону при данной $P_{\delta i}$ в *квт/км*, определенная по зависимости $P^* = f\left(\frac{U}{U_0}\right)$.

или $\frac{P}{\delta^2} = f\left(\frac{E}{\delta}\right)$ путем пересчета;

$$\delta_i = \delta_{\text{ср. мл.}} K_{\text{ср.} i},$$

где $K_{\text{ср.} i}$ — берется из табл. 1; $\delta_{\text{ср. мл.}}$ — средняя многолетняя относительная плотность воздуха, соответствующая отметке данного участка по кривой рис. 2 [5].

$\frac{h}{h_n}$ — продолжительность данной $K_{\text{ср.} i}$ в долях от числа часов в году, определяемая по таблице 1;

$i = 1 \dots n$ — номер столбца таблицы или участка: n — равно 6 по предлагаемой таблице 1.

Годовые потери на корону для ЛЭП при хорошей погоде равны сумме потерь отдельных участков.

При упрощении расчетов потерь на корону при хорошей погоде, изменение δ во времени для данного участка можно не учитывать, а расчет вести по средней многолетней величине δ .

Расчет годовых потерь электроэнергии на корону при плохой погоде пока можно производить приближенно таким же образом, как и для ЛЭП, трасса которых проходит по низменным отметкам без учета влияния δ . Расчет следует производить для каждой зоны в отдельности по данным числа часов плохой погоды и по метеорологическим данным этой зоны.

Институт электротехники

АН Армянской ССР

Поступило 9.V 1959

Խ. Ա. ԳՐԵՎԵԱՆ, Մ. Մ. ԿԱՐԱԳԵՂՅԱՆ, Ե. Գ. ԱՏԵՓԱՆՅԱՆ, Ա. Ա. ԹՈՐՈՎԱՆ
ԲԱՐՁՐԻՒԹՅԱՆ ԷԼԵԿՏՐԱՀԱՂՈՐԴՄԱՆ ԴԾԵՐԻ ՊՍԱԿԻ
ԷԼԵԿՏՐԱՀԱՂՈՐԴՄԱՆ ՏԱՐԵԿԱՆ ԿՈՐՈՒՍՆԵՐԻ ՀԱՇՎԱՐԿՄԱՆ
ԱԽԱՆՁՆԱՀԱՏԿՈՒԹՅՈՒՆՆԵՐԸ

Ա մ փ ո փ ու մ

Բարձրության էլեկտրահաղորդման գծերի պսակի էլեկտրաէներգիայի
տարեկան կորուստների հաշվարկումը ունի իր առանձնահատկությունները

կապված օդի հարաբերական խտության փոքրացման հետ և այն բանի հետ, որ գծի տարրերը մասերը զանգում են ծովի մակերեսութիւց տարրեր բարձրությունների վրա տարրեր մթնոլորտացին պարմաններում:

Էլեկտրատեխնիկայի լարորատորիայում կատարված պատկի երեսությունների հետազոտման տրդունքների հիման վրա հոգվածում բերվում է բարձունքային էլեկտրահաղորդման գծերի պատկի էլեկտրաէներգիայի տարեկան կորուստների հաշվարկման մեթոդ:

Պատկի կորուստների հոգրության հաշվարկումը կատարվում է «Հավ» և «Վատ» եղանակների համար առանձին: «Հավ» եղանակի գեպքում հաշվարկման համար գիտված են գոյություն ունեցող մի քանի մեթոդներ: Հոգվածում առաջարկվում է պատկի կորուստների վերահաշվարկի մեթոդ ըստ օդի հարաբերական խտության:

«Վատ» եղանակի դեպքում պատկի կորուստների մեծության գործնական տվյալների սահմանափակվածության պատճառով առաջարկվում է առայժմ կորուստների վերահաշվարկը կատարել անտեսելով օդի հարաբերական խտությունը:

Պատկի էլեկտրաէներգիայի տարեկան կորուստների հաշվարկման համար առաջարկվում է մեթոդ, որը հաշվի է անում բարձունքային էլեկտրահաղորդման գծերի տրաստացի օգերեռության պայմանները՝ մասնավորապես օդի հարաբերական խտության փոփոխություններն ըստ տեղի բարձրության և ըստ ժամանակի, տվյալ տեղում:

Л И Т Е Р А Т У Р А

1. Р. А. Градзелян, А. М. Есаян, М. М. Карапетян, Н. Н. Степанян и А. С. Торосян. Некоторые результаты исследования потерь мощности на корону переменного тока в высокогорных условиях. Известия АН Армянской ССР (серия технических наук), № 2, 1959.
2. W. S. Peterson. Дискуссия к статье J. S. Carroll, B. Cozzens. Corona loss measurement for the designs of transmission lines to operate at voltage between 220—330 kv. Tr. AJEE, vol. 52, 1933, March, p. 62—63.
3. Коронный разряд переменного тока. Исследование механизма короны переменного тока. Технич. отчет энергетического института им. Г. М. Кржижановского АН СССР, 1955.
4. А. В. Воробьев и Н. Н. Тиходеев. О физическом моделировании характеристик короны. ЖТФ, 1955, вып. 11, стр. 2008.
5. Н. Н. Степанян. К вопросу влияния на корону и внешнюю изоляцию электроуставновок некоторых метеорологических факторов высокогорных районов. „Известия АН Армянской ССР“ [серия технических наук], № 6, 1959.

ЭЛЕКТРОТЕХНИКА

Н. П. СТЕПАНЯН

К ВОПРОСУ ВЛИЯНИЯ НА КОРОНУ И ВНЕШНЮЮ ИЗОЛЯЦИЮ
ЭЛЕКТРОУСТАНОВОК НЕКОТОРЫХ МЕТЕОРОЛОГИЧЕСКИХ
ФАКТОРОВ ВЫСОКОГОРНЫХ РАЙОНОВ

Широкое развитие высоковольтных установок в высокогорных районах Союза выдвигает ряд вопросов, требующих изучения поведения изоляции и величины потерь электроэнергии на корону в метеорологических условиях этих районов. Одним из основных факторов высокогорных районов, влияющих на величину потерь на корону на проводах линий электропередач (ЛЭП) и на разрядные характеристики внешней изоляции высоковольтного оборудования и подстанционной аппаратуры, является величина относительной плотности воздуха δ [1].

На величину потерь мощности и электроэнергии на корону значительно влияние оказывают также интенсивность и продолжительность дождя, снега, изморози, инея и т. п. Некоторые из этих факторов влияют также на разрядные характеристики изоляции. С этой целью сделана попытка обобщения некоторых метеорологических характеристик горных районов, полученных на основе исследования данных метеонаблюдений.

Различные метеорологические явления в горных районах, в том числе величина δ , продолжительность и интенсивность дождя, по разному влияют на потери мощности и электроэнергии на корону. На основании проведенных исследований [2], оказалось целесообразным это влияние рассматривать при хорошей погоде, т. е. в ясную и облачную погоду, а также дни с туманом, но без осадков; при плохой погоде, когда имели место дожди, иней, изморозь, гололед, сухой и мокрый снег.

Ввиду того, что продолжительность хорошей погоды составляет 85–90% в году, следует учесть закономерность изменения δ .

Относительная плотность воздуха связана с давлением и температурой следующим соотношением:

$$\delta = \frac{0.386 P}{273 + t},$$

где P — атмосферное давление в $мм$ ртутного столба;

t — температура воздуха в $^{\circ}C$;

(При $P = 760$ $мм$ рт. ст., $t = 20$ $^{\circ}C$ — $\delta = 1$).

С повышением отметки над уровнем моря (н. у. м.) атмосферное давление P уменьшается по линейному закону [3].

Типичной особенностью тропосфера является не только понижение давления с высотой, но и понижение температуры.

Однако понижение давления происходит в больших пределах, чем понижение температуры, поэтому относительная плотность воздуха с повышением отметки н. у. м. значительно уменьшается.

Как известно [4], на данной высоте н. у. м. имеют место как периодические изменения давления (суточные и годовые), так и апериодические. При понижении температуры имеет место повышение давления. Но это не дает возможности точного установления изменения δ , так как апериодические изменения давления значительно больше, чем периодические. Таким образом давление и температура изменяются не только по высоте, но и по времени на данной высоте, что приводит к изменению во времени и относительной плотности воздуха.

В свете изложенного возникает необходимость тщательного изучения изменения относительной плотности воздуха не только по высоте н. у. м., но и во времени на данной высоте. С этой целью по данным метеонаблюдений за среднесуточной температурой и давлением была определена относительная плотность воздуха каждого дня за 5 лет* по 15 метеостанциям Союза, расположенным в разных климатических районах и на разных отметках н. у. м. (от 500 до 3600 м).

Для определения продолжительности данной δ оказалось практически целесообразным сгруппирование данных относительной плотности воздуха по величине в пределах изменения δ на 1% и определение продолжительности каждой группы δ в году.

Средняя многолетняя δ на отметке расположения метеостанции определялась как:

$$\hat{\delta}_{\text{ср. мл.}} = \frac{\sum_{i=1}^{i=n} \delta_i h_i}{\sum_{i=1}^{i=n} h_i},$$

где δ_i — средняя δ данной группы,

h_i — продолжительность данной группы δ_i в году.

$$\sum_{i=1}^{i=n} h_i = h — \text{число часов в году.}$$

$$i = 1, 2, 3, \dots, n$$

n = число групп δ .

По среднемноголетним значениям δ для каждой отметки полу-

* Обработка данных для некоторых метеостанций за 10 лет показала, что средние многолетние δ этих данных отличаются незначительно от данных за 5 лет. Поэтому средние данные за 5 лет приняты как средние многолетние.

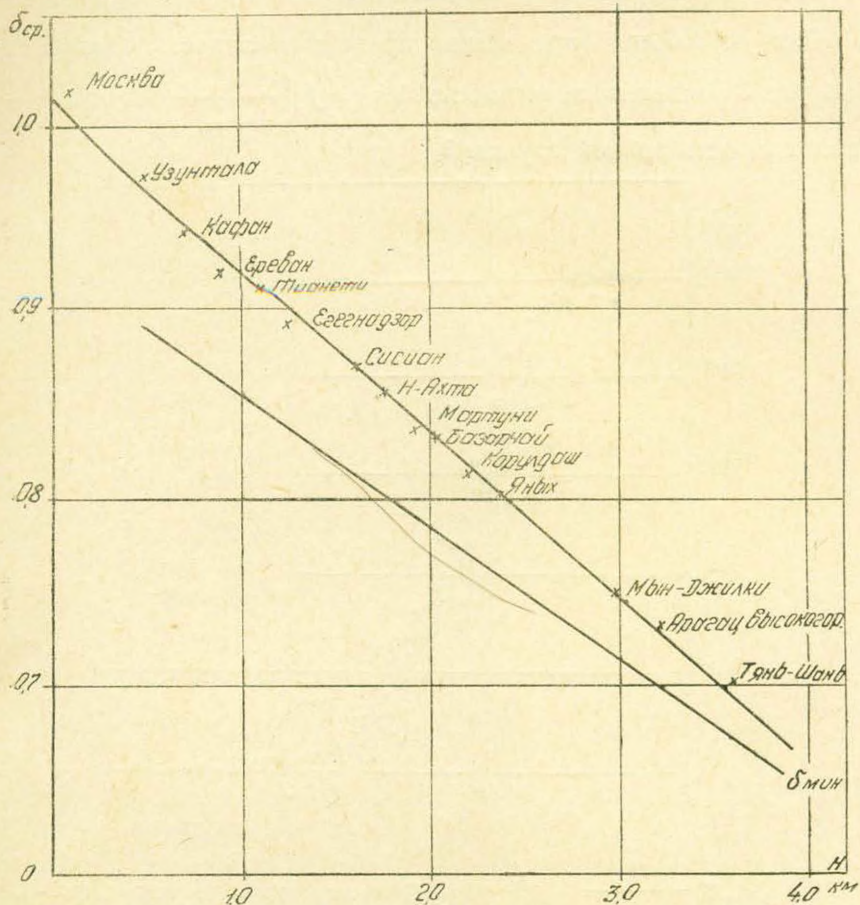


Рис. 1. Зависимость среднемноголетней относительной плотности воздуха от высоты над уровнем моря.

чена закономерность $\delta_{ср. мл.} = f(H)$ (рис. 1), где H — высота н. у. м. Эта зависимость линейная и может быть выражена уравнением:

$$\delta = 1,01 - 0,0875 \cdot H.$$

Подобные зависимости ранее были рассмотрены В. В. Бургдорфом и М. М. Лебедевым [5, 6].

Однако в этих работах зависимость $\delta = f(H)$ получена на основании среднемноголетних значений P и t , при которых не учитываются периодические и апериодические изменения P и t во времени.

На основании данных о продолжительности каждой, средней за 5 лет, группы δ определена закономерность изменения δ в течение года для каждой отметки н. у. м., где находилась метеостанция. Эта закономерность изменения δ во времени в процентах от среднемноголетней оказалась одинаковой на всех рассматриваемых высотах (500–3600 м) и не подчиняется закону нормального распределения

случайных явлений. Зависимость $\frac{h_i}{h} = f\left(\frac{\delta_i}{\delta_{ср. мл.}}\right)$ приведена на рис. 2.

Для упрощения определения продолжительности данной группы δ_i , на рис. 3 приведена зависимость $\Delta h_{\delta_i} = f\left(\frac{\delta_i}{\delta_{ср. мл.}}\right)$, где Δh_{δ_i} — продолжительность данной группы δ_i .

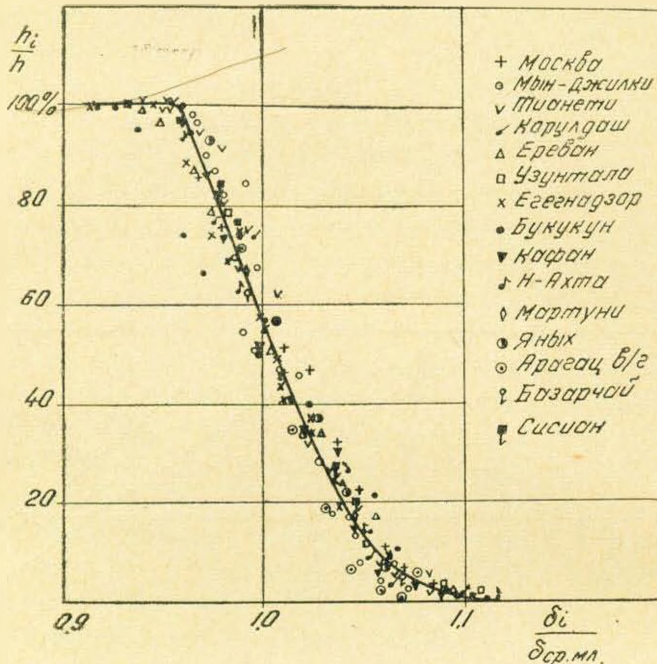


Рис. 2. $\frac{\delta_i}{\delta_{ср. мл.}} = f\left(\frac{h_i}{h}\right)$ — Частотная характеристика относи-

тельной плотности воздуха. h_i — число часов продолжительности относительной плотности воздуха в году, большей δ_i ; h — число часов в году; δ_i — относительная плотность воздуха; $\delta_{ср. мл.}$ — среднемноголетняя относительная плотность воздуха на данной высоте.

Эта зависимость приведена в таблице 1.

Таблица 1

$\frac{\delta_i}{\delta_{ср. мл.}}$	0,94	0,95	0,96	0,97	0,98	0,99	1,00	1,01	1,02	1,03	1,04	1,05	1,06	1,07	1,08	1,09	1,10	1,11
h час	10	20	150	1050	1100	1060	965	900	760	660	570	480	380	280	180	120	55	20

Вышеприведенные зависимости получены для полного года. Закон изменения δ при хорошей погоде можно считать в процентном отношении от числа часов хорошей погоды таким же, что и для полного года, учитывая малую долю числа часов плохой погоды в году.

Таким образом, для любой отметки, в пределах 500—3600 м н. у. м. по рис. 1, можно определить $\delta_{ср. мл.}$ данной отметки и по рис. 2 — отклонения δ от этой средней величины с учетом ее продолжительности в году.

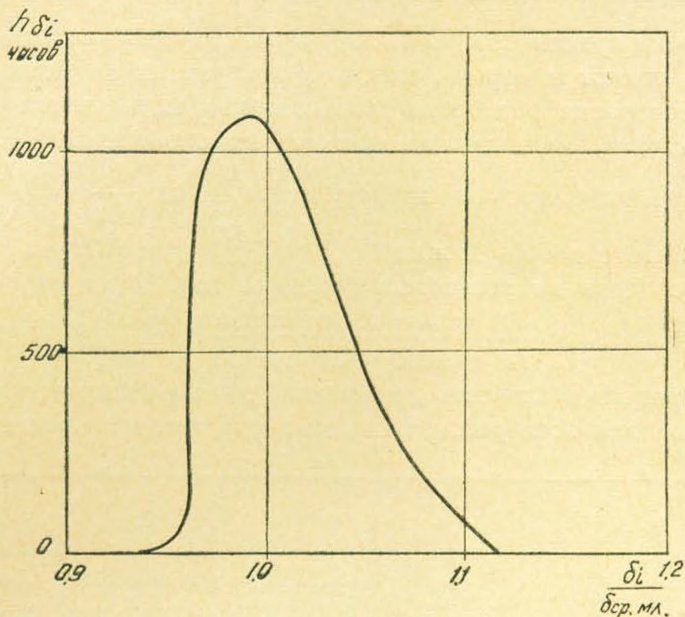


Рис. 3. Зависимость продолжительности отклонения относительной плотности воздуха от ее среднемноголетней величины на данной высоте.

Закономерности изменения относительной плотности воздуха как по высоте, так и по времени используются для определения годовых потерь электроэнергии на корону и для пересчета потерь мощности на корону по высоте н. у. м.

На рис. 1 приведены также величины минимальных значений δ по высоте н. у. м. Эти данные необходимы для выбора высоковольтного оборудования и подстанционной аппаратуры, так как определение

Таблица 2

Средняя ежегодная продолжительность (в часах) снега, дождя, изморози, инея, гололеда и тумана на отметках, где расположены метеостанции

№ п/п	Гидромет. станция	Высота Н.У.М. (м)	Снег	Мокрый снег	Дождь	Изморозь	Иней	Гололед	Туман
1	Ереван	909	175	40	260	40	738	—	103
2	Тиапети	1100	431	30	360	76	159	—	164
3	Егвард	1320	121	23	151	40	217	—	51
4	Севан	1900	335	20	201	199	339	—	249
5	Нарин	2048	148	25	289	61	603	—	59
6	Мын-Джилки	3000	906	19	188	212	381	37	620
7	Арагац в/г	3200	1054	23	67	553	402	25	436
8	Тянь-Шань	3678	804	167	53	104	807	—	150

прочности внешней изоляции на данной высоте представляет интерес при минимальном значении относительной плотности воздуха на той же высоте.

С точки зрения потерь на корону при плохой погоде значительную роль играют изморозь, снег и дождь разных интенсивностей.

На основании обработки данных продолжительности дождей по интенсивностям, была сделана попытка их обобщения. Составленная, так называемая частотная характеристика дождя $\frac{h_i}{h} = f\left(\frac{J_i}{J_{cp.}}\right)$,

где J_i — интенсивность дождя;

$J_{cp.}$ — средняя интенсивность дождя за год.

$$J_{cp.} = \frac{A}{H} \quad \begin{array}{l} A \text{ (количество осадков в году)} \\ H \text{ (число часов дождя в году)} \end{array}$$

h_i — продолжительность дождя данной интенсивности оказалась одинаковой для всех рассматриваемых районов и приведена на рис. 4.

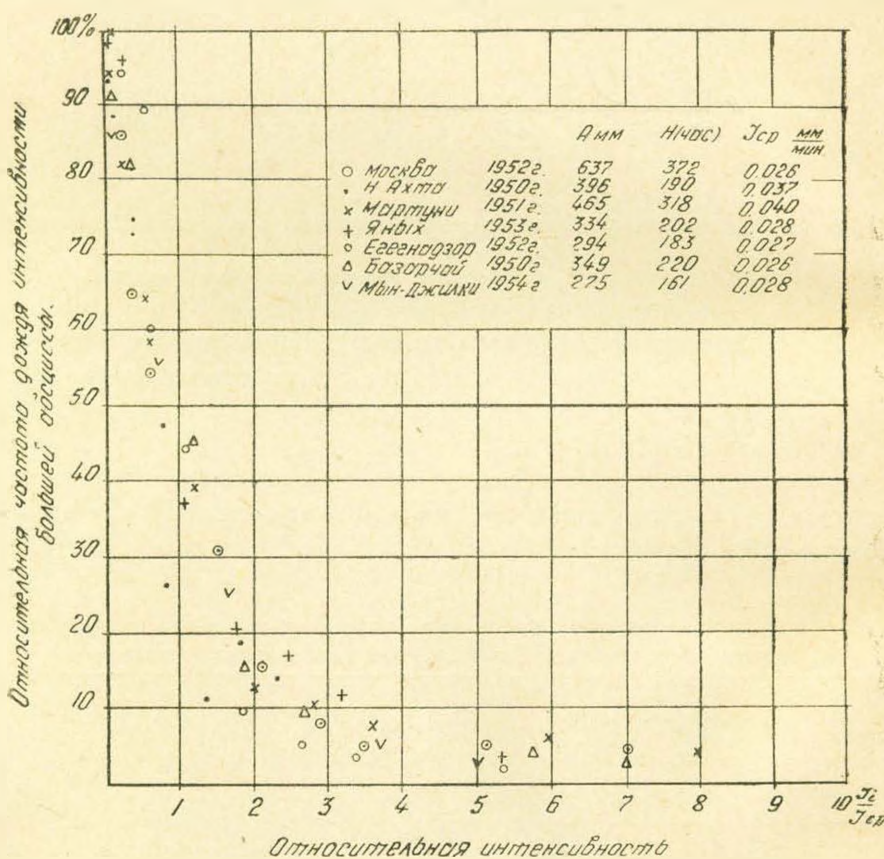


Рис. 4. Зависимость относительной частоты дождя от его относительной интенсив-

$$\text{ности } \frac{J_i}{J_{cp.}}$$

Н. Б. Богдановой ранее было сделано подобное обобщение [7]; сравнение наших данных с данными Н. Б. Богдановой показывает, что зависимости $\frac{h_i}{h} = f\left(\frac{J_i}{J_{cp.}}\right)$ полностью совпадают.

Таким образом, имея число часов и количество дождя за год в каком-либо районе, по рис. 4 можно определить интенсивности дождей и их продолжительности.

Что касается инея, изморози, снега, то по их данным пока что не удалось установить какие-либо закономерности, зависящие от высоты н. у. м. Этот вопрос подлежит дальнейшему исследованию.

В табл. 2 приведены данные продолжительности инея, изморози, снега, число часов и количество дождя за средний год для некоторых высокогорных районов Союза.

Институт электротехники

АН Армянской ССР

Поступило 9.V 1959

Ա. Պ. ԽԵՓԱԿՎԱՐ

ԲԱՐՁՐ ԼԵՒՆԱՅԻՆ ՇՐՋԱԾՆԵՐԻ ՄԻ ՔԱՆԻ ՕԴԵՐԵՐԵՎՈՒԹՅԱԲԱ-
ՆԱԿԱՆ ՀԱՏԿՈՒԹՅՈՒՆՆԵՐԻ ՊԱՍԿԻ ԵՎ, ԷԼԵԿՏՐԱՏԵՂԱԿԱՅՈՒՄ-
ՆԵՐԻ ԱՐՏԱՎՐԻՆ ՄԵԿՈՒՄԱՑՄԱՆ ՎՐԱ Ո.ԶԴԴՄՆ ՀԱՐՑԻ ՇՈՒՐՅՁ

U. S. AIR FORCE

Բարձր կոնսալին շրջաններամ բարձրավոլու տևակայութմների լայն գարզացումն առաջ է քաշում մի շարք հարցեր, որոնք պահանջում են մեկուսացման վարքագծի, ինչպես նաև պատկի երիտրիթի պատճառով առաջացած էլեկտրաէներժիաի կորսասների մեծության տևակայությանը՝ այդ շրջանների մթնոլորտավիճ պայմաններում:

Բարձր լարման էլեկտրահաղորդման գծերի վրա պասիվ երեսութից առաջացած էլեկտրաէներգիայի կորուստների մեծության և բարձրավոլտ սարքավորումների ու տեղակայումների մեխանացման պարագման ընտացքների վրա ազդող գլխավոր գործոններից մեկը՝ օգի ճարարերական խտությունն է։ Զգալի ազդեցություն են տնենում նաև ձևան, հղամի, անձրևի տեսողությունն ու սասակությունը։

Հոդվածամ կատարված են որոշ օգերեսութաբանական հատկանիշների ընդհանրացումներ, որոնք հեշտացնում են այդ հատկանիշների ազդեցության հաշվառումը՝ պատկի կորուսաների և մեկուսացման պարագան լարման մեջ։

Հատկանիշներից հիմնականը օդի հարաբերական խտության փոփոխության օրենքն է՝ կախված բարձրությունից (հաշված ժողի մակերևույթից) (նկ. 1) և նրա փոփոխությունը տվյալ բարձրության վրա ժամանակի (տարբարական) ընթացքոմ (նկ. նկ. 2, 3):

Օդի հարաբերական խտության միջին արժեքի փոփոխության օրենքն ըստ ժամանակի նույնն է բոլոր բարձրությունների համար (500—3600 մ):

Այս ընդհանրացումները հնարավորությունն են տալիս լուրաքանչյուր բարձրության համար որոշել ոգի հարաբերական խոռության միջին արժեքը և նրա փոփոխաթյունը տարվա ընթացքում՝ այդ նույն բարձրության վրա:

Տարվա ընթացքում անձրեի քանակը, տեսդությունը և միջին սասակաւթյունը նույնպես կապված են որոշակի օրինաչափությամբ, որն անկախ է տվյալ շրջանի՝ ծովի մակերևութից ունեցած բարձրությունից: Այդ օրինաչափությունը ցուց է տրված նկ. 4-ում: Օգերեռութարանական կայանի տվյալների հիման վրա իմանալով որևէ տեղում տարեկան անձրեների քանակը և ընդհանուր տեսդությունը, կարելի է բերված օրինաչափությունից որոշել տարվա բնթացքում անձրեի տեսդությունը ժամերով ըստ սասակության:

Վերոհիշյալ օրինաչափություններն ստացվել են ԽՍՀՄ տարրեր շրջաններում և տարրեր բարձրությունների վրա գտնվող 15 օգերեռութարանական կայանների 5 տարիների ամենօրյա զննումների մշակման հիման վրա:

Л И Т Е Р А Т У Р А

1. Техника высоких напряжений, ч. 1, 1951, под ред. Л. Н. Сирского.
2. Градзелян Р. А., Есаян А. М., Карапетян М. М., Степанян Н. П., Торосян А. Некоторые результаты исследования потерь мощности на корону переменного тока в высокогорных условиях. Известия АН Армянской ССР (серия технических наук), № 2, 1959.
3. Курс метеорологии, под ред. П. Н. Тверского. Гидрометиздат, 1951.
4. Белинский В. А. Динамическая метеорология. Гидроиздат, 1949.
5. Бургдорф В. В. Вопросы выбора расчетных метеорологических условий при проектировании грозозащиты. Ж. „Электрические станции“, № 7, 1946.
6. Лебедев М. М. Естественные условия трасс высокогорных линий электропередачи и связи Армении. Известия Армянского филиала АН СССР, № 2 (20). 1942.
7. Оценка параметров короны при рабочих напряжениях электропередачи свыше 400 кв. Отчет энергетического института АН СССР, 1954.

ИНЖЕНЕРНАЯ СЕЙСМОЛОГИЯ

О. В. ПЕШТМАЛДЖЯН

СЕЙСМИЧЕСКАЯ ПЛАТФОРМА РЕАКТИВНОГО ДЕЙСТВИЯ

При возведении сооружений в сейсмических районах необходимо знать их поведение при землетрясениях.

Изучение сейсмостойкости сооружений ведется в основном методом полевых обследований воздействий землетрясений на сооружения, аналитическим методом и, наконец, экспериментальным исследованием моделей.

За последние годы во многих случаях предпочтениедается экспериментальному исследованию моделей, так как в этом случае нет надобности дожидаться сильных землетрясений, и кроме того, полученные результаты, при тщательном соблюдении условий подобия, точнее данных аналитического исследования.

Из существующих способов исследования динамического поведения пространственных моделей, по-видимому, наиболее рациональным является испытание их на сейсмической платформе.

Точность опыта зависит от соблюдения правил теории моделирования, основанной на принципе подобия [1], а также от конструкции и принципа действия самой платформы.

Следует отметить, что сейсмические платформы и, в частности, принудительного возвратно-поступательного движения и программного управления имеют ряд недостатков.

Основным из них является возникновение при эксплуатации высокочастотных паразитных колебаний. Паразитные колебания обусловливаются рядом факторов и в том числе люфтами в сочленениях и упругостью отдельных звеньев механизма. У платформы программного управления они вызываются не только механической частью, но и электрической. Помехи иногда бывают настолько сильны, что ускорения, ими вызываемые, превосходят программируемые ускорения [4].

Увеличение паразитных колебаний с возрастанием частоты колебания платформы сильно искажает картину явления. При моделировании на основе простого подобия платформа должна осуществлять колебания с частотой во столько раз большей частоты колебания почвы, во сколько раз геометрические размеры модели меньше размеров оригинала [2].

Для устранения возможности паразитных колебаний конструкция сейсмической платформы должна быть максимально простой без каких-либо подвижных сочленений. С этой точки зрения представляет интерес сейсмическая платформа, осуществленная в Италии [5]. Платформа представляет собою подвесную систему, которая воспроизводит гармонические колебания: вертикальные, горизонтальные или вращательные.

Эксплуатационные характеристики этой платформы в литературе не приводятся.

В Армянском НИИ стройматериалов и сооружений А. Г. Назаровым предложена идея конструкции сейсмической платформы, представляющей собой мощную, горизонтально расположенную плиту, которая опирается на систему металлических стоек, жестко с ней закрепленных по верху, а по низу заделанных в фундамент.

Основным источником, приводящим платформу в колебание, является импульс. Для обеспечения импульса предполагается использовать орудие или, в общем случае, реактивную технику, прикрепленную непосредственно к платформе [3].

В результате осуществления импульса платформа приходит в колебательное состояние по затухающей синусоиде из-за факторов рассеяния энергии.

Платформа колеблется только за счет упругости стоек.

Все три параметра полученного закона колебания легко регулируются: максимальная амплитуда колебаний изменяется силой удара, частота колебаний платформы регулируется жесткостью упругих стоек и, наконец, затухание синусоидального движения путем включения демпфирующего устройства.

Автором были разработаны проектные задания для трех платформ реактивного типа грузоподъемностью 5, 20 и 40 тонн.

При расчете стоек в первом приближении принимали плиту платформы и испытуемый образец за систему с одной степенью свободы.

Частота свободных колебаний платформы определялась по формуле Гейгера:

$$\nu = \frac{5}{\sqrt{f_{cm}}} , \quad (1)$$

где ν — частота собственных колебаний платформы в герцах,

f_{cm} — статическая деформация стоек в см.

Статическая деформация стоек, жестко закрепленных с обоих концов, вычислялась по формуле:

$$f_{cm} = \frac{Ql^3}{12nEI} . \quad (2)$$

где Q — вес платформы с испытуемым образцом;

l — высота стоек;

n — количество стоек;

E — модуль упругости и

1 — момент инерции сечения стоек.

В силу (1) и (2) получим:

$$v^2 = \frac{300nEI}{Ql^3} \quad (3)$$

Напряжение в стойках вычислялось по формуле:

$$\sigma = \frac{3Ql}{2nW} \leq |\sigma|, \quad (4)$$

где $[σ]$ — допускаемое напряжение для материала стоек;

W — момент сопротивления сечения стоек;

β — коэффициент увеличения нагрузки.

Предварительно определялся требуемый момент сопротивления сечения стоек, а затем вычислялась собственная частота колебаний платформы. Были рассмотрены сплошные, сквозные, составные стойки с различными площадями поперечных сечений. Наиболее экономичным и удобным в отношении монтажа оказался широкополочный двухтавровый профиль (ГОСТ 6183—52).

В зависимости от количества подключенных стоек собственная частота колебания платформы меняется ступенями от 6 до 55 герц.

Это достигается тем, что стойки в месте сопряжения с плитой платформы снабжены специальным приспособлением, чтобы можно было их наглухо присоединять к платформе с последующим отсоединением.

Таблица I

Грузоподъем- ность платформы в тоннах		Вес платформы с моделью в M .		Количество стоек и тип колонн		Частота собственных колебаний платформы в герцах		Круговая частота платформы ($1/\text{сек}$)		Максим. ускорение платформы (в g)		Скорость движения платформы в v_1 ($\text{м}/\text{сек}$)		Амплитуда колебаний платформы (s_m)		Импульс сообщающийся платформе ($kg \cdot \text{сек}$)		Примечание	
40	250	16—40T ₁₃ 36—40T ₁₂	6,4 12,5 20,8 28,0 41,2 55,5	40,3 78,5 130,6 175,8 258,7 348,5	2 4,5 4,5 4,5 4,5 4,5	0,486 0,562 0,338 0,251 0,170 0,127	1,20 0,72 0,26 0,14 0,07 0,04	12407 14331 8614 6399 4348 3228									Стойки 40T ₁₃ имеют высоту 4,3 м; 40T ₁₂ —2,0 м.		
20	120	16—40T ₆ 20—40T ₁₂	6,8 12,5 21,3 30,2 42 59	42,7 78,5 133,8 189,8 264,7 371,5	2 4,5 4,5 4,5 4,5 4,5	0,459 0,562 0,329 0,234 0,167 0,118	1,07 0,72 0,25 0,12 0,06 0,03	5621 6879 4036 2845 2040 1453									Стойки 40T ₆ имеют высоту 4,0 м; 40T ₁₂ —2,0 м.		
5	30	8—40T ₁ 8—40T ₇	6,4 11,5 20,6 29,0 37,8 53,5	40,3 72,4 129 184 206 334	2 4,5 4,5 4,5 4,5 4,5	0,486 0,608 0,342 0,239 0,214 0,132	1,20 0,84 0,27 0,13 0,104 0,04	1400 1865 1046 733 655 403									Стойки 40T ₁ имеют высоту 4,3 м; 40T ₇ —2,0 м.		

нением в случае надобности. Конструкция сборно-разборного узла сопряжения плиты со стойкой является наиболее ответственной частью конструкции платформы и должна быть тщательно продумана.

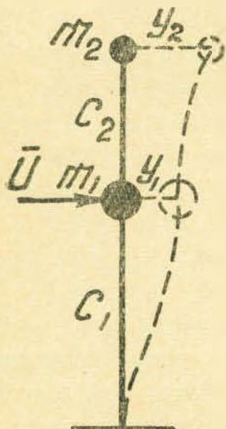


Рис. 1.

Существенным является вопрос о взаимодействии между платформой и испытуемой моделью. Ясно, что такого рода взаимодействия будут уменьшаться с увеличением веса платформы в сравнении с весом испытуемого образца. Для анализа взаимодействия, во втором приближении, платформа с испытуемым образцом была рассмотрена как система с двумя степенями свободы.

Основные характеристики платформ приведены в табл. 1.

В рассматриваемом случае были использованы следующие дифференциальные уравнения:

$$-m_2 \frac{d^2 y_2}{dt^2} - c_2 (y_2 - y_1) = 0,$$

$$-m_2 \frac{d^2 y_2}{dt^2} - m_1 \frac{d^2 y_1}{dt^2} - c_1 y_1 = 0, \quad (5)$$

при $p_2^2 = \frac{c_2}{m_2}$, $p_1^2 = \frac{c_1}{m_1}$, $\lambda = \frac{m_2}{m_1}$, $y_1 = A_1 \sin \omega_1 t$ и $y_2 = A_2 \sin \omega_2 t$; где

m_1 — масса платформы, m_2 — масса модели, p_1 — круговая частота платформы, p_2 — круговая частота модели, c_1 и c_2 — коэффициенты жесткостей.

На основании (5) имеем:

$$\omega^2 = \frac{1}{2} [p_1^2 + (1 + \lambda) p_2^2] \pm \sqrt{\frac{1}{4} [p_1^2 + (1 + \lambda) p_2^2]^2 - p_1^2 p_2^2}. \quad (6)$$

Отсюда следует, что система имеет две действительные и отличные от нуля частоты колебания.

При сообщении платформе импульса U смещения масс платформы и образца соответственно будут:

$$y_1 = \frac{U}{(k_2 - k_1) m_1} \left[\frac{k_2 \sin \omega_1 t}{\omega_1} - \frac{k_1 \sin \omega_2 t}{\omega_2} \right],$$

$$y_2 = -\frac{U}{(k_2 - k_1) m_1} \left[\frac{k_1 k_2 \sin \omega_1 t}{\omega_1} - \frac{k_1 k_2 \sin \omega_2 t}{\omega_2} \right]. \quad (7)$$

Коэффициенты k_1 и k_2 имеют следующие значения

$$k_1 = -\frac{\omega_1^2 - p_1^2}{\lambda \omega_1^2}, \quad k_2 = -\frac{\omega_2^2 - p_2^2}{\lambda \omega_2^2}. \quad (8)$$

Вычисления показали, что вес образца должен быть не более 20% от веса платформы, полученный результат требует уточнения специально поставленными экспериментами на сейсмической платформе.

Сообщение импульса платформе может осуществляться, например, специально подвешенной бабой. Но при этом способе следует учесть, что ввиду большой массы платформы, масса груза должна быть очень велика. Не исключено также расщепление удара на ряд соударений бабы о платформу, вызванное высокой частотой колебаний платформы, что существенно может исказить картину.

Поэтому целесообразно осуществлять необходимый импульс путем „выстреливания“ с платформы определенной массы с большой начальной скоростью или сжиганием пороха в камере с соплом с последующим мгновенным срезанием мембранны. Для этого к платформе предполагается крепить стволы орудий соответствующего калибра. Получение требуемого импульса в зависимости от частоты свободных колебаний платформы достигается подбором весов заряда и снаряда.

Проектным заданием предусмотрено к платформе крепить два ствола для сообщения ей колебания в двух взаимно перпендикулярных направлениях в горизонтальной плоскости.

В принципе возможно подключение дополнительной упругости в вертикальном направлении и сообщения платформе импульса в этом же направлении. В рассматриваемом случае возможно получить все три компонента колебаний почвы. Путем осуществления в плане нецентрального удара, платформе можно сообщить и вращательные колебания. Кроме того, платформу предусматривается снабдить вибрационной машиной для получения гармонических колебаний, а также приспособлением для сообщения ей колебаний по закону косинуса.

2. Գ. ՓԵՇՏԻՎԱՅՑՈՒՅ

ԽԵԱԿՏԻՎ, ԿՈՐԺՈՒՆԵՈՒԹՅՈՒՆ ՄԵՅԻՆԻԿ ՀԱՐԹՈՒԿ

Ա. Ժ Փ Ո Փ Ո Ւ Բ

Սեյսմիկ ուժերի տակ աշխատադրավածքների մուգեների փորձարկման համար հոգվածում առաջարկվում է սեակախիվ գործողության սեյսմիկ հարթակ:

Հարթակը շարժման մեջ է գրված նրան հազորդելով որոշ մեծության իմպուլս իմպուլսի ապահովվում է հարթակից մեծ արագությամբ որոշակի մասսայի արտամդմամբ, որը իրականացնելու համար հարթակում տեղափորվում է հրետանային հատուկ հարմարանք:

Հարթակի կոնստրուկցիայի պարզությամբ ապահովվում է փորձարկման համար լինասակար տատանումների բացակայությունը:

Հոգվածում բերված են հաշվարկման սինեմա և 40, 20 ու 5 առնա բեռնավորվածության սեյսմիկ հարթակների բնորոշ մեծությունները:

Л И Т Е Р А Т У Р А

1. Назаров А. Г. О механическом подобии твердых тел и его применении к исследованию строительных конструкций и сейсмостойкости сооружений. „Известия АН Армянской ССР“, С. Т. Н., т. X, № 5, 1957; т. X, № 6, 1957; т. XI, № 4, 1958; т. X, № 6, 1958.
2. Назаров А. Г. Об одной возможности исследования вопросов сейсмостойкости сооружений на моделях (Докл. АН Армянской ССР, т. XII, № 2, 1956).
3. Назаров А. Г. Некоторые вопросы теории сейсмостойкости сооружений. Вопросы сейсмостойкого строительства, Ереван, 1949.
4. Портнов М. А. Сейсмическая платформа программного управления. Труды координационного совещания по сейсмостойкому строительству, Ереван, 1956.
5. G. Oberti. On Experience and Practice in Italy (Proceedings of the world conference on earthquake engineering, Berkeley, California, 1956).

МЕТАЛЛОВЕДЕНИЕ

Д. А. САРКИСЯН

О СВЯЗИ ТРЕЩИН ХОЛОДНОДЕФОРМИРОВАННОЙ
МАЛОУГЛЕРОДИСТОЙ СТАЛИ С МИКРОТВЕРДОСТЬЮ
И ОСТАТОЧНЫМИ НАПРЯЖЕНИЯМИ II РОДА

Трещинообразование в стали, как известно, зависит от многих таких факторов, как дефекты структуры, состав стали, влияния промесей, несовершенства процесса производства изделий и других причин, которые подробно описаны, например в [1, 2, 3]. В последние годы в связи с развитием методов металлофизики представляется возможным проведение подробных исследований связи микротрешин со свойствами металла в зоне их локализации. В статье автора исследованы микротвердость и остаточные напряжения II рода в районе расположения трещин, с целью установления связи их распространения с напряженностью материала.

Измерение напряжений второго рода представляется целесообразным по следующим причинам. Остаточные напряжения I рода, уравновешивающиеся в объеме всего изделия, могут увеличивать в растянутых областях и уменьшать в сжатых участках склонность к трещинообразованию.

Наличие высоких напряжений I рода (например, при закладке [1]) может привести к образованию трещин в изделиях. Однако локализация отдельных микротрешин около микродефектов и определенных структурных составляющих стали не может обуславливаться напряжениями I рода. Микротресцины распространяются в пределах зерен и блоков. Поэтому естественно их связывать с напряжениями II рода, уравновешивающимися в таких же объемах.

Искажения II рода, уравновешивающиеся в объеме нескольких атомов, не могут оказывать заметного влияния на характер распространения трещин. В соответствии с [4], искажения II рода могут считаться одной из основных причин упрочнения металла. Зависимость между величинами микротвердости и остаточными напряжениями представляет интерес, так как позволяет оценивать характер наклена стали и склонность ее к трещинообразованию.

В настоящей работе образцы типа сосудов, специально изготовленные путем глубокой вытяжки, подвергались ударным нагрузкам. При этом на некоторых из них возникали трещины вдоль направления вытяжки. Из указанных образцов вырезывались участки с на-

ружными трещинами длиною 60—80 м.м., удобные для проведения исследований отдельных микроучастков. На некоторых из них в областях, непосредственно примыкающих к трещине, после соответствующих шлифовки и полировки, измерялась микротвердость. Шлифовка и полировка проводились на малую глубину в целях уменьшения дополнительного паклена стали. Влияние паклена сводилось до минимума путем промеров микротвердости на приборе ПМТ-3 при наибольшей нагрузке 200 грамм [5, 6]. Измерения напряжений II рода производились на установке для рентгеноструктурного анализа УРС-50И.

Измерения микротвердости в дефектных участках

Исследовались образцы из малоуглеродистой стали, содержащей 0,09% C, 0,35% Mn, менее 0,12% Si, менее 0,025% S, менее 0,025% P, подвергнутые после вытяжки низкотемпературному отжигу при температуре 340°C с выдержкой в 60 минут.

На рис. 1 показан средний участок трещины* на образце, деформированном на $\epsilon = 15\%$. Перепад в величинах микротвердостей по обеим сторонам трещины колеблется от 30 до 58 кг/мм².

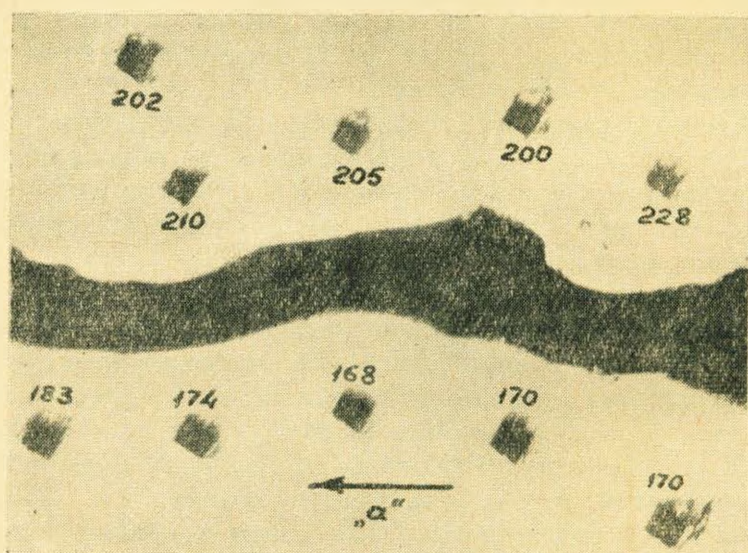
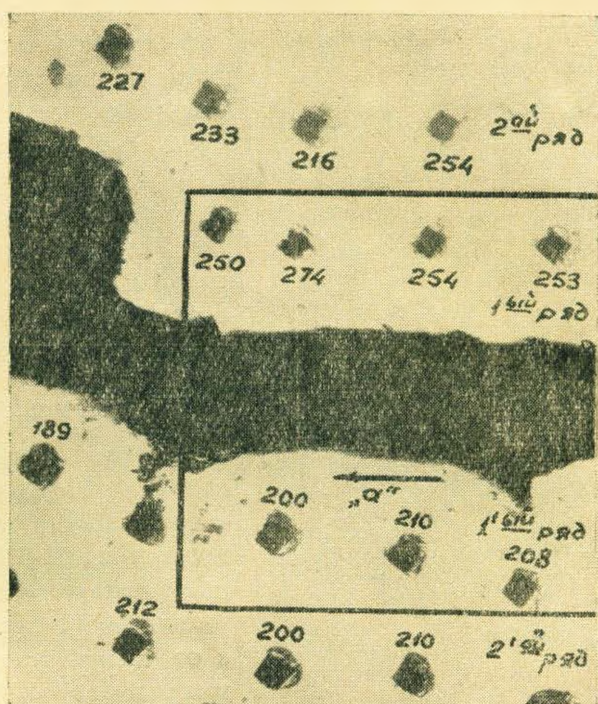


Рис. 1. Участок микротрещины °0.

На микроснимке рис. 2 приведен микроучасток образца, деформированного на $\epsilon = 25\%$, имеющий трещину (средний участок), на котором видна значительная неоднородность величин отпечатков алмазной пирамиды**, около которых указаны числа микротвердости.

* На всех рисунках стрелкой „а“ указывается направление распространения трещины.

** Измерение микротвердости (рис. 2а, 2б) производилось при нагрузке 100 г.

Рис. 2. Средний участок микротрещины $\times 130$.

Микротвердость с одной стороны трещины в среднем заметно выше, чем с другой ее стороны. Разность между величинами микротвердости по обеим сторонам трещины колеблется от 38 до 74 единиц.

Результаты измерений микротвердости микроучастков около трещины указали на сохранившуюся после термической обработки значительную неоднородность наклена материала, явившегося, видимо, причиной образования трещины на исследованном участке. Конец микротрещины имел весьма малую толщину (0,003 мм) и практически не мог оказать заметного влияния на механические характеристики близлежащих слоев металла. Именно в этих слоях производилось измерение микротвердостей с целью получения значений наибольших перепадов в величинах микротвердостей по обеим сторонам трещин, достигших 29—283 кг/мм². Тщательное измерение микротвердости в различных микроучастках образцов, не имеющих трещин, показало, что обычно таких больших перепадов микротвердости не наблюдалось, в то же время в образцах с трещинами имелись многие микроучастки со значительной неоднородностью по микротвердости. Эти дефектные участки, наряду со структурными несовершенствами, являются наиболее вероятными местами образования трещин.

На микроснимке рис. 3 показан микроучасток образца около конца наружной трещины со степенью деформации $\varepsilon = 20\%$.

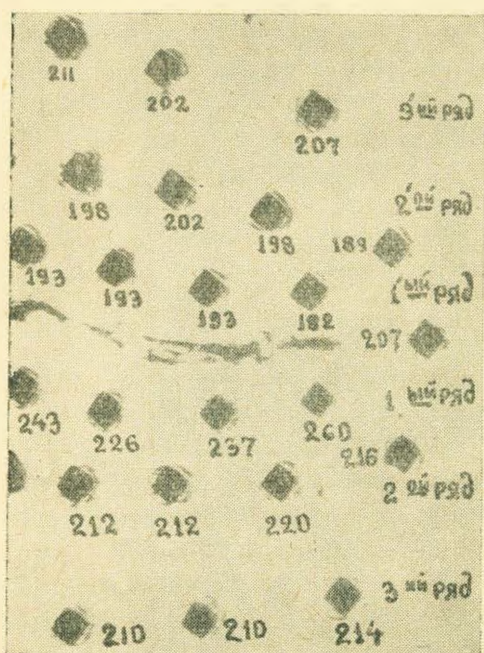


Рис. 3. Конец микротрешины $\times 100$.

Таким образом, существующий по обеим сторонам трещин перепад микротвердости постепенно выравнивается. Значения микротвердости достигают средних величин по образцам: для первого образца (рис. 1) $H_v = 195 \text{ кг}/\text{мм}^2$, для второго (рис. 2а, 2б) $H_v = 220 \text{ кг}/\text{мм}^2$, для третьего (рис. 3) $H_v = 273 \text{ кг}/\text{мм}^2$ и для четвертого (рис. 4) $H_v = 210 \text{ кг}/\text{мм}^2$.

На рис. 4 изображен фотоснимок микротрешины в образце, деформированном в среднем на $\varepsilon = 35\%$. Трещина, встретив участки металла с высокой микротвердостью, меняет свое направление движения и распространяется (расширяется) в направлении участков с малой твердостью. На фотографии видны некоторые отпечатки индентора в непосредственной близости от края трещины ($H_v = 244 : 170 : 228, 256, 216 \text{ кг}/\text{мм}^2$). Эти измерения, как известно, имеют качественные значения, однако иллюстрируют наличие „разрыхленного“ слоя металла с малой твердостью. Указанный участок вероятно и послужил причиной изменения направления распространения трещины (стрелка 1), встретившей микроучастки металла (по дуге 3—3) с высокой твердостью ($H_v = 400, 415, 433 \text{ кг}/\text{мм}^2$), в сторону „разрыхленных“ слоев металла (стрелка 2). Однако следует отметить, что наличие „разрыхленного“ слоя обнаруживается и в относительном отдалении от трещины (2-ой ряд измерений), где $H_v = 256, 273 \text{ кг}/\text{мм}^2$.

На фотографии видно, что первые ряды отпечатков микротвердости расположены на большем расстоянии от краев трещины, чем аналогичные измерения на другом образце. Несмотря на это, качественная картина распределения микротвердости сохраняется, и значения перепадов величин микротвердости достаточно велики ($\Delta H_v = 33—78 \text{ кг}/\text{мм}^2$).

Представленные рисунки показывают, что при удалении отпечатков от более твердых сторон микрогрещин (последовательно 1-й, 2-ой и 3-й ряды измерений) имеет место уменьшение микротвердости, а от менее твердых сторон микротрешины (1'-й, 2'-ой, 3'-й ряды измерений) микротвердость увеличивается.

и т. д. В то время как образец имеет микротвердость вне дефектного участка* в среднем $H_v = 330 \text{ кг}/\text{мм}^2$.

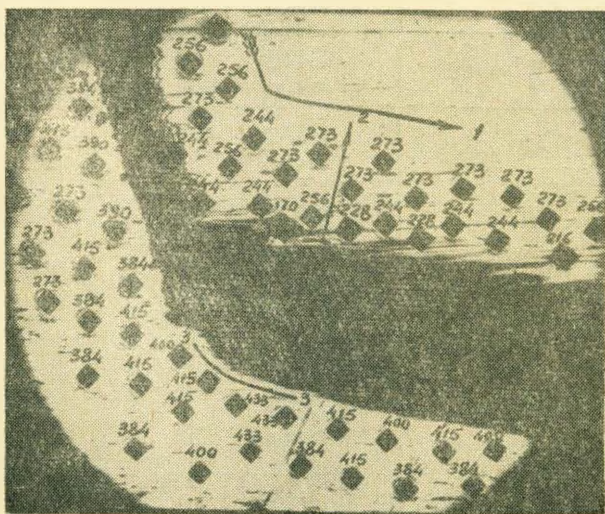


Рис. 4. Микротвердость около микротрещины, изменившей направление распространения $\times 80$.

Измерения напряжений II рода в дефектных участках

Для выяснения взаимосвязи остаточных напряжений II рода и микротвердости произведены измерения напряжений в тех же участках образцов. Результаты подтвердили предположение о существовании пропорциональной связи между напряжениями и микротвердостью.

Для проведения измерений из образцов со стороны образовавшейся трещины были вырезаны три пластинки, шириной 1,5 мм и длиной в 15 м. Пластинки подготовлялись для измерений напряжений II рода. Рентгенограммы, полученные с кристаллографических плоскостей (110) и (220) обрабатывались по методике [7, 8]. На тех же пластинках производился промер микротвердости. Результаты измерений обрабатывались методом математической статистики.

Результаты измерений и расчета напряжений II рода, а также величины микротвердости, определенные по тем же плоскостям пластинок, с которых снимались напряжения, представлены в табл. 1.

Полученные данные подтверждают предположение о наличии "разрыхленного" слоя металла, лежащего непосредственно у трещины, в связи с чем модальное значение H_v пластиинки № 1 (233 $\text{кг}/\text{мм}^2$) меньше, чем несколько удаленной пластиинки № 2, где мала микро-

* Границей дефектных участков в работе считались участки образцов, достаточно удаленные от трещины, начиная с которых наличие закономерного перепада в величинах значений микротвердостей, по обе стороны от трещины, не наблюдалось.
3. Изв. ТН, № 6

Таблица 1

Напряжения II рода и микротвердость пластинок, расположенных на различных расстояниях от трещины.

Характеристика образцов	расстояние центральной оси исследуемых пластинок до кромки трещины (мм)	Кристаллографическая плоскость	Измеренная ширина линий		$\frac{\delta_{110(220)}}{B_{110(220)}}$	$\frac{B_0}{B_{110(220)}}$	$\frac{B_0}{B_{110(220)}}$	$\frac{\beta_{110(220)}}{B_0}$	$\frac{\beta_{110(220)}}{B_0} \times 10^3$	$\frac{\beta_2}{\beta_1}$	$\frac{\Delta a}{a} \times 10^3$	Напряжение II рода	Микротвердость	
			$B_{110(220)}$ (см)	$\times 10^3 \mu$										
Эталон		(110)	2,427	5,291	0,386	0,877	4,640							
Пл. № 1	0,75		3,012	6,566	0,311	0,925	6,063	0,765	0,644	3,905	3,538	0,63	13,86	233
Пл. № 2	2,25		3,312	7,220	0,283	0,941	6,794	0,683	0,731	4,966	3,365	0,68	14,96	254
Пл. № 3	3,75		3,250	7,085	0,288	0,938	6,646	0,698	0,715	4,752	3,315	0,59	12,98	225
Эталон		(220)	5,346	11,654	1	0,656	7,645							
Пл. № 1	0,75		10,147	22,127	0,601	0,712	15,754	0,485	0,877	13,816				
Пл. № 2	2,25		11,308	24,651	0,539	0,745	18,365	0,416	0,910	16,712				
Пл. № 3	3,75		10,850	23,653	0,562	0,729	17,443	0,438	0,903	15,751				

где δ_{110} — междублестное расстояние для кристаллографической плоскости (110)= $2,04 \cdot 10^{-3} \mu$, δ_{220} — междублестное расстояние для кристаллографической плоскости (220)= $13,3 \cdot 10^{-3} \mu$, B_{110} — ширина линии эталона (110), исправленная на дублетность, B_{220} — ширина линии эталона (220), исправленная на дублетность, β — истинная ширина линии (β_1 — для линии (110), β_2 — для линии (220), исправленная на дублетность и геометрию съемки),

а — параметр решетки.

тврдости равна $254 \text{ кг}/\text{мм}^2$. Этот участок трещины был местом концентрации напряжений. Далее на пластинке № 3 микротвердость уже меньше 225 единиц, и в дальнейшем, по мере удаления от трещины, микротвердость уменьшается и доходит до значения средней величины микротвердости образца 206 единиц.

Напряжения II рода на пластинке № 1 равны 13,86, на пластинке № 2—14,9 и на пластинке № 3 — $12,98 \text{ кг}/\text{мм}^2$. Полученные величины, несмотря на их близость, характеризуют разрыхленность металла у трещин, тем более, что их изменение находится в соответствии с изменением микротвердости.

Измерения микротвердости и остаточных напряжений II рода в районе дефектных мест образцов из малоуглеродистой стали, полученных вытяжкой, позволяют сделать следующие выводы:

Трещины, образовавшиеся при больших скоростях, распространяются по наименее прочным участкам образца по местам с наибольшей разрыхленностью, характеризующимся малой микротвердостью.

Путем прямых измерений показано изменение остаточных напряжений второго рода в районе распространения трещины, находящееся в соответствии с микротвердостью. Изделия с неоднородностью по микротвердости и остаточным напряжениям II рода, возникшим в процессе их изготовления, обладают повышенной склонностью к трещинообразованию.

Исследования показали, что распространение трещин в материале может быть связано с неоднородностью в распределении остаточных напряжений II рода и микротвердости.

Тульский механический институт

Поступило 15.VI 1959

Ч. Н. ШЕРЧОВИЧ

УЧЕБНО-ПРАКТИЧЕСКАЯ КНИГА ПО СТАММЕРСКОМУ МЕТОДУ
ЗАЩИТЫ МАТЕРИАЛОВ ОТ ВЛИЯНИЯ НАПРЯЖЕНИЙ
Ф. А. ФЕДОРОВА, А. А. БОЛДЫРЕВА, А. А. БОГДАНЕНКО,
В. А. БОГДАНЕНКО, А. А. БОГДАНЕНКО, А. А. БОГДАНЕНКО,

Ч. 1. ФИЗИЧЕСКИЕ

Հոգվածում բերված են սակագածիւածնային պաղպատճմ միկրոճաքերի տարածման շրջանում եղած միկրոկարծրությանը և լ տիպի մնացորդային լարմանը վերաբերող տվյալներ:

Պողպատի քայլարմանը նպաստամ են շինվածքների առանձին տեղամասերում լարումների կենարոնացումը և նրանց անհամառեալ թյունը: Մնացորդային լարումների՝ մասնավորապես լ տիպի լարումների՝ տարածման անհամառարաշափության առաջանումը է շինվածքների պատրաստման պրոցեսում անհամառեն ձևափոխության հետևանքով: Առավել ձևափոխված տեղամասերն անեն ավելի մեծ մնացորդային լարումներ և միկրոկարծրության: Ճարերը տարածված են շինվածքների առավել փիլտրացած մասերում:

Ուղղակի չափումների միջոցով հայտաբերված են ճաքերի տարածման շրջանում և տիպի մնացորդալին լարումների տեղի ունեցող փոփոխությունները և նրանց համապատասխանությունը միկրոկարծրության նշանակություններին:

Л И Т Е Р А Т У Р А

1. Гуляев А. П. Металловедение, 193, 1956.
2. Саррак В. И. Хрупкое разрушение металлов. Успехи физических наук, том XVII, выпуск 2, 1959.
3. Крупин А. В. Исследование дефектов в металле как концентраторов напряжений. Москва, 1958 (диссертация).
4. Голубков В. М., Ильина В. А., Крицкая В. К., Курдюмов Г. В., Перкас М. Д. Проблемы металловедения и физики металлов, № 5, стр. 433, 1958.
5. Хрущев М. М., Беркович Е. С. Микротвердость, определяемая методом вдавливания, Изд. АН СССР, 1943.
6. Шапошников Н. А. Механические испытания металлов. Машгиз, 317, 1951.
7. Лысак Л. И. „Вопросы физики металлов и металловедения“. № 3, Изд-во АН УССР, 1952.
8. Megaw H., Stokes, A., Journ. Inst. Metals, 279, 1945.

ՏԵԽՆԻԿԱԿԱՆ ԳԻՏՈՒՐ.

Ա. Կ. ԿԱՐԱՊԵՏՅԱՆ, Ա. Ա. ԳՈՐՅԱՆՅԱՆ

ԵԵՆՔԵՐԻ ՊԱՏՈՂ ԿՈՆՍՐՈՒԿՑԻԱՆԵՐԻ ԶԱՅՆԱՄԵԿՈՒՍԱՅՆՈՂ,
ՈՒՆԱԿՈՒԹՅԱՆ ՀԱՐՑԸ

§ 1. Հողվածը նվիրված է բնակելի շենքերի պատող կոնստրուկցիաների ձախամեկասացնող տնակաթյան բարելավման հարցին:

Կախված ձախական աղբյուրի տեսակից և պատող կոնստրուկցիաների վրա նրա թողած աղքեցաթյան բնույթից, աղմակները բաժանվում են հիմնականում երկու խմբի՝

- ա) օգալին պատող (խոսակցաթյուն, երգ, նվագ, ուղիոհաղարփում և այլն),
- բ) հարգածական աղմուկ (մարդկանց քայլը, կահութիւ տեղաշարժը, հորվածող մեքենաները, զիրքացիալի հետեանքով առաջացած աղմուկը, դրանց թվամբ գերելակները, շենքերի ինժեներական և սանիտարահիմնական կահագործումը և այլն):

Պատող կոնստրուկցիաների կողմից ցուցաբերած, իրենց միջով անցնող աղմուկների ուժի և բարձրաթյան մակարդակը իշեցնելու հատկությունը կոչվում է ձախամեկասացում կամ աղյալ կոնստրուկցիայի ձախամեկասացնող տնակաթյուն. արդ մաթիմատիկական արտահայտվում է՝ հետեալ հավասարություն՝ (1)

$$U_1 = 10 \lg \frac{I_1}{I_2}; \text{ կամ } U_2 = 20 \lg \frac{P_1}{P_2}, \quad (1)$$

որտեղ U_1 — պատի ձախամեկասացումն է արտահայտված գեցիբելներով, I_1 և I_2 ՝ համապատասխանորեն պատի վրա ընկնող և նրա միջով անցնող ձախական աղիքների ինակնուխիւթյունն (ոժն) է, չափովում է՝ $\frac{երգ}{սմ^2\cdot ով}$ կամ $\frac{վա}{սմ^2\cdot ով}$, P_1 և P_2 ՝ համապատասխանորեն պատի վրա ընկնող և նրա միջով անցնող ձախական աղիքների էֆեկտիվ ճնշամերեն են՝ չափած բարերով:

Պատող կոնստրուկցիաների պահանջվող ձախամեկասացնող տնակությունը հաշվելու համար զոյլոթյուն ունեն ձախամեկասացնող ունակության նորմատիվ կորեր՝ օգալին աղմուկի համար և ծածկի տակ հարգածական աղմուկի ձախական ճնշման՝ բերված մակարդակի համար. Պրոնկալիվող պատող կոնստրուկցիան վերաբերող այս կորերը որոշվում են փորձնական ճանապարհով լաբորատորային կամ բնական պայմաններում. Ստացված կորերը հանդիսանում են որպես պատող կոնստրուկցիաների ձախամեկասացնող տնակության ցուցանիշներ և ծառալում են նորմատիվ պահանջներին համապատասխան դնահաւուման համար:

Դնահաւումը կատարվում է հետեալ կերպ՝ ստացված փորձնական կորը համամապատիվ է նորմատիվի հետ: Կոնստրուկցիան համապատիվ է ձախամե-

կուսացման նորմալին բավարարող այն գեպքոմ, եթե միջին շեղումը չի անցնում 2 զիցիրելից $\left[2\right]$:

Օգացին աղմուկից ձախնամեկուսացման ունակության կորերի բացակալության գեպքոմ, ստուգումը կատարվում է $100 \div 3200$ հերց հաճախականության գիտապահում, հաշված ձախնամեկուսացման նորմատիվ միջին արժեքներով: Ալիք արժեքները բերված են 1 աղյուսակում: Ստուգումը կատարվում է հետեւալ կերպ՝ որոշվում է համասեռ պատող կրնաբրուկցիալի միջին ձախնամեկուսացման ունակությունը (այսինքն ախափի պատող կրնաբրուկցիանի, որոնք բաղկացած են միմյանց հետ սերտ ամբակցված և համարյա միաւուսակ ակուստիկ դիմագրություն անցող շերտերից), հետեւյու բանումենով:

$$P \leq 200 \text{ կգ} \left[\text{մ}^2\right] \text{ գեպքոմ} \quad U_{\text{արժ. ար.}} = 13,5 \lg P + 13 \text{ դր} \quad (2)$$

$$P \geq 200 \text{ կգ} \left[\text{մ}^2\right] \text{ գեպքոմ} \quad U_{\text{արժ. ար.}} = 23 \lg P - 9 \text{ դր} \quad (3)$$

որտեղ՝ P տվյալ կոնստրուկցիալի կշիռն է:

Պատող կրնաբրուկցիալի այլ ձևով հաշված միջին ձախնամեկուսացման արժեքները չափեաք է փոքր լինեն (1) աղյուսակում նշվածից: Պահանջված ձախնամեկուսացումը ապահովելու համար, նախ անհրաժեշտ է պարզել կոնստրուկցիաներով ձախի անցման ձախնապատճերը: Բնակելի տներում պատերով և միջնապատճերով, լուսամուտներով և զաներով անցնում է օգալին աղմուկը, իսկ ծածկերի միջոց՝ նաև հարգածական աղմուկը: Օդալին աղմուկը պատուի փոխանցվում է հիմնականում վերջինի տատանման հետեւանքով, ինչպես մեմբրանի տատանումները ձախնական ալիքների ազդեցության տակ: Բացի այդ, աղմուկը հեշտացնելու ժամանցամբ, տարածվում է պատերում գոյացուն անցող ճեղքածքների, միջանցիկ անցքերի և էլեմենտների կցորդման անսերտացնելու միջոց: Աւատի, որպեսզի ապահովի պահանջված ձախնամեկուսացումը օգալին աղմուկից, անհրաժեշտ է կառուցվածքներում կանխիկ վերոնիշեալ պարագաների առկայությունը:

Պատի մեմբրանալին տատանումներից խոսափելու ամենասեալ միջոցը նրա ծանրացումն է, այսինքն նրա մեկ քառակուսի մետրի կշռի մեծացումը. և իրոք, որքան ծանր է պատը, ախքան փոքր է նրա տատանման հնարավորությունը և, հետեւապես, ախքան լավ է ձախի մեկուսացումը:

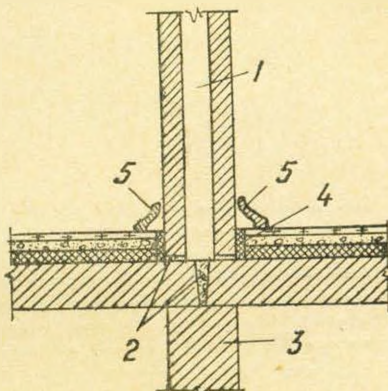
Համաձայն շինարարական նորմաների (*CH* և *II*) $[3]$ պահանջի, հուսալի ձախնամեկուսացումը ապահովելու համար, պատող կոնստրուկցիաների մեկ քառակուսի մետրի կշիռը պետք է լինի ոչ պահան քան նշված է (1) աղյուսակում:

Ինչպես երեսմ է, (1) աղյուսակից համասեռ կոնստրուկցիաները՝ պատերը և միջնապատճերը ըստ ձախնամեկուսացման պարմանի, պետք է ունենան համեմատարար մեծ կշիռ, անհրաժեշտ է նշել, որ շլակոբեառնի սնամենք քարից, դլանաձե գատարկոմիջություններ տնեցող ալեքրից և նման այլ էլեմենտներից պատրաստված պատերի ձախնամեկուսացնող ունակությունը նույնպես ենթարկում է կշռալին կախվածության օրինքին: Կոնստրուկցիաներում դատարկամիջությունների առկայությունը կարող է հանգեցնել ձախնամեկուսացման վայտացմանը, նշյած օգալին դատարկություններում հնարավոր ուսունանալիքին երեսլիքների հետեւանքով: Հետեւապես, ձախնամեկուսացման իմաստով նպաւտականարմար է օգալադրժել հոծ էլեմենտները (1):

Պատերի և միջնապատճերի ձախնամեկուսացումը զգալի չափով ($6 \div 8$ դր) կրաքանակ, եթե սվաղը արտի ոչ թե անմիջականորեն նրանց վրա, այլ եւնթա-

սվազիք վրա: Դրա համար քարե կամ այլ պատի վրա ամրացվում են 5—6 սմ հաստությամբ փալտյա ձողիկներ, որոնց վրա գտնվում են ցանցած մուկերներ պատաժ շրամեկուսիչ թռողիք, որից հետո անում են սովորական սվազ [4]: Կոնստրուկցիայի կշիռը էապես փոքրացնելու համար, եթե դա տնտեսապես և տեխնիկապես ձևնառու է, խորհուրդ է որպում համառել պատերի փոխարեն կիրառել երկշերտ պատող կոնստրուկցիաներ, որոնց շերտերը միմյանցից մեկուսացված են նշանակալիորեն ավելի պակաս ակուստիկ գիմագրություն տնեցող հոծ շերտով, օրինակ, օդով: Երկշերտ կոնստրուկցիայի ձայնամեկուսացնող ուժեղացնելու նպատակով պետք է օգալին միջնաշերտում տեղափորել ձայնականիչ նլութեր կամ փերմակներ: Մակոտիկն ձայնականիչ նլութերը սովորաբար գտն ձայնամեկուսիչներ են, ձայնամեկուսացման խնդրում նրանք կարող են միան օժանդակ գեր խաղալ: Ձայնականիչ երեսպատռումների օդությամբ և կոնստրուկցիայի ծանր միջնաշերտերում ձայնականիչ նլութերի տեղափորման միջոցով կոնստրուկցիայի ընդհանուր ձայնամեկուսացումը հաջողվում է ավելացնել 8—12 դրով, որը պետք է ասել բովականին զգալի է, եթե նկատի ունենաք, մոնութեա կոնստրուկցիաների կշռի կրկնապատկումը, նրա ձայնամեկուսացնող ունակությանը բարձրացնում է ընդհանուր գրութիւնը 50 կգ/մ² լինելու գեպքում, նրա ձայնամեկուսացնող ունակությունը 35 դր է, 100 կգ/մ² գեպքում՝ 40 դր, 200 կգ/մ² գեպքում՝ 44 դր: Երկշերտ պատերի օգալին միջնաշերտի լայնությանը ամենանեղ տեղում չպետք է փոքր լինի 5 սմ-ից, հակառակ գեպքում միջնաշերտը կլցի շինարարական «ազր»-ով է կառաջացնի կոչու ակտուատիկ կամ քաշակներ, առատի բնդհանուր ձայնամեկուսացումը կիրատանա [2]:

Որպեսողի ձայնը չանցնի միջնապատի հիմքի հենաման արանքից, միջնապատը պետք է տեղադրի ծածկի կրող մասի վրա գոյություն տնեցող շաղախի շերտի վրա (նկ. 1):



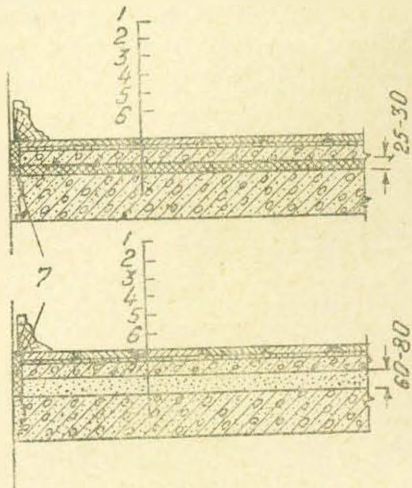
Նկ. 1. Օդի հոծ միջնաշերտով միջնապատի սխեման: 1 — օդի շերտ, 2 — շաղախ, 3 — պարզունակ կամ պատ, 4 — ասածկան նյութից միջնդիր, 5 — պինթուս (գրփում է պատի նկատմամբ որոշ բացակայությունը):

Պատերի ծածկի ծանցնի միջնապատի հիմքի հենաման արանքից, միջնապատը պետք է տեղադրի ծածկի տափագերանի վրա, քանի որ մաքոր հակառակ և միջնարկային ծածկի կոնստրուկցիայի միջն կոռունա օգալին միջուկալիքը, որով ձայնը շատ պատ կարող է տնցնել հարկան սենյակի:

Պատերի, ծածկիրի, շենքի կարկասի և իրար հետ միջնապատերի կցորդման կոնստրուկտիվ որոշումը պետք է ապահովի կցորդման տեղերի քիչ փակման հնարավորաթյունը: Այդ նպատակով միջնապատերը պետք է մտցնել այն պատերի հաստության մեջ, որոնց հետ նրանք կցորդվում են, պատրաստելով ակոսներ կամ ատամնարմածքներ: Կցորդման տեղերը հարկավոր է խնամքով իծծել գաջի լուծությով թրջած հանքալին թաղիքով կամ խծությով և տվաղել շաղախով: Այն գեպքերում, եթե միջնապատերը ձայնակցվանքով են միացվում պատերին, միջնապատի հակառակ ամբողջ բարձրաթյունով մեկ և պատի միջն պետք է 15 մմ ոչ պակաս լայնությամբ բացակ թողնել և խծութել այն, ինչպիս արդեն

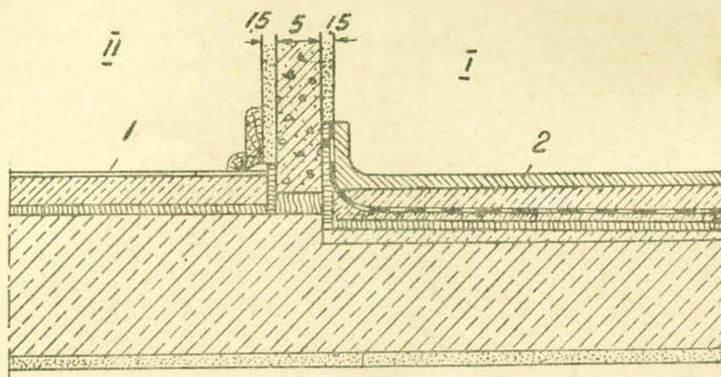
ասված է վերեւում. ըստ որում միջնապատի լուրաքանչյուր կողմից բացակը 20—30 մմ խորությամբ թողնված է առանց խծծուծման, հետո դրսից շաղախով սվաղելու համար նոյն ձևով պետք է վարվել միջնապատիրի փոխադարձ կցորդման կամ սլուների, ինչպես նաև ծածկերի, ովարգունակների և պատերի հետ նրանց միացման տեղերը ծածկելիս:

Միջնարկացին ծածկերը պետք է օժաված լինեն ավելի մնած ձախամեկուսացման ունակությամբ, քանի որ նրանց վրա



Նկ. 2. Հոծ հիմքով կամ լցվածքով անսնամեջ հատակի կոնսորուցիցի սիեման. 1—պարկետ, 2—մաստիկա, 3—բետոնի կամ խարամարետոնի շերտ, 4—տոլ, 5—առաձգական նյութի հոծ շերտ, 6—ծածկի կրող մասը, 7—բացակ, լցված առաձգական նյութի միջադիրով:

ծածկերի ձախամեկուսացումը բարձրացնելու նպատակով, խորհուրդ է տրվում կիրառել նկ. 2, 3, 4-ում ցույց տրված հատակներից: Այդ տեսակեաից շատ



Նկ. 3. Անկարան լողացող հատակի կոնսորուցիցի. 1—սանիտարական հանգույց, 2—բնակելի սենյակ, 1 շերտեր՝ վերից-վար՝ մաքուր հատակ, բետոնել նախաշերտ, ձայնամեկուսիչ միջադիր, ծածկի սալ, սվաղ, 11—շերտեր՝ վերից վար մետախյան սալիկներ զեմենտի շաղախից, բետոնել նախաշերտ, ջրամեկուսացման կրկնաշերտ, ցեմենտի երեսովադի, ձայնամեկուսիչ միջադիր, բետոնի զատիթափ շերտ, ծածկի սալ, սվաղ:

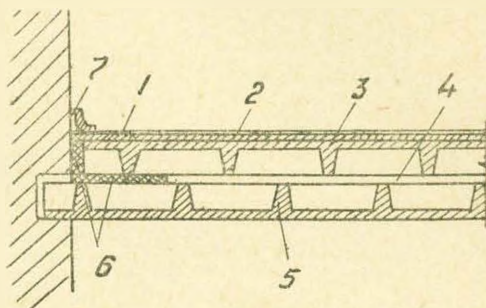
էֆեկտիվ ծածկեր են համարվում նկ. 4-ում ցուց տրված անջատված տիպի ծածկերը, որոնց կիրառման դեպքում վերանում է հատակներսւմ առածգալիսն հիմքերի օգտագործման անհրաժեշտությունը, որը խիստ կրճատում է առածգալիսն նկութերի ծախսը: Ազդակի ծածկերի հշիոր կարելի է 300 կգ/մ²-ց պակասացնել մինչև 200 կգ/մ², ի հաշիվ վերին և ներքին պանելների միջև օգտագին միջնաշերտի ձայնամեկուսացման ընդունակության: Հետազոտական բարերը ցուց են տվել, որ օգալին միջնաշերտի հաստությունը նպատակահարմար է վերցնել 10 ամ: Անջառագած կոնստրուկցիաների օգտագործումը ձևուածու է նաև նրանով, որ նրանց կարելի է ուղղակի պատրաստել գործարանում:

Ծածկերի պանելների միջնաց կցորդման տեղը անհրաժեշտ է բարարակել սերտ կցամով շաղախով կամ բեռուսով: Ծածկի պանելների ծածկերը պետք է մտացնեն պատի մեջ: Ազդակի տարածումը կանխելու համար, պատի վրայի փորձած քնները, որոնք արտած են կինարունական ջնուցման, կրուգու, ջրմաղի և գաղամատակարման խողովակների անցկացման համար, ամբողջ մակերեսով պետք է սարքին բնառնե նորիզոնական դիաֆրագմաներ ծածկի կրող մասի հաստությունից ոչ պակաս հաստությամբ: Խողովակները պատի վրա պետք է ամրացնել ձայնամեկուսացման միջադիրների օգնությամբ: Լուսամուտները և գոները սովորաբար ձայնամեկուսացման փոքր ունակությունը ունեն, որը բացարձում է նրանց մեկ քառակուսի մեարի ոչ մեծ կշռով և անցքերի գոյությամբ: Լուսամուտների և գոների ձայնամեկուսացման տնակությունն ավելացնելու համար անհրաժեշտ է գոնա-լուսամուտատեղերի օգագանցներությունը կարելուն չափով փոքրացնել, որը կատարվում է փորձագրությունում նրանց ճիշտ և սերտ նստեցման և լավ չորացված փայտանյութի օգտագործման միջոցով, միաժամանակ օգտագործելով առածգական միջադիրները:

Սանդղավանդակից բնակարան տանող գոները նպատակահարմար է երկուքաշել թաղիքով և համ գործիքածքով, ինչպես այլ ցուց է տրված նկ. 5-ում:

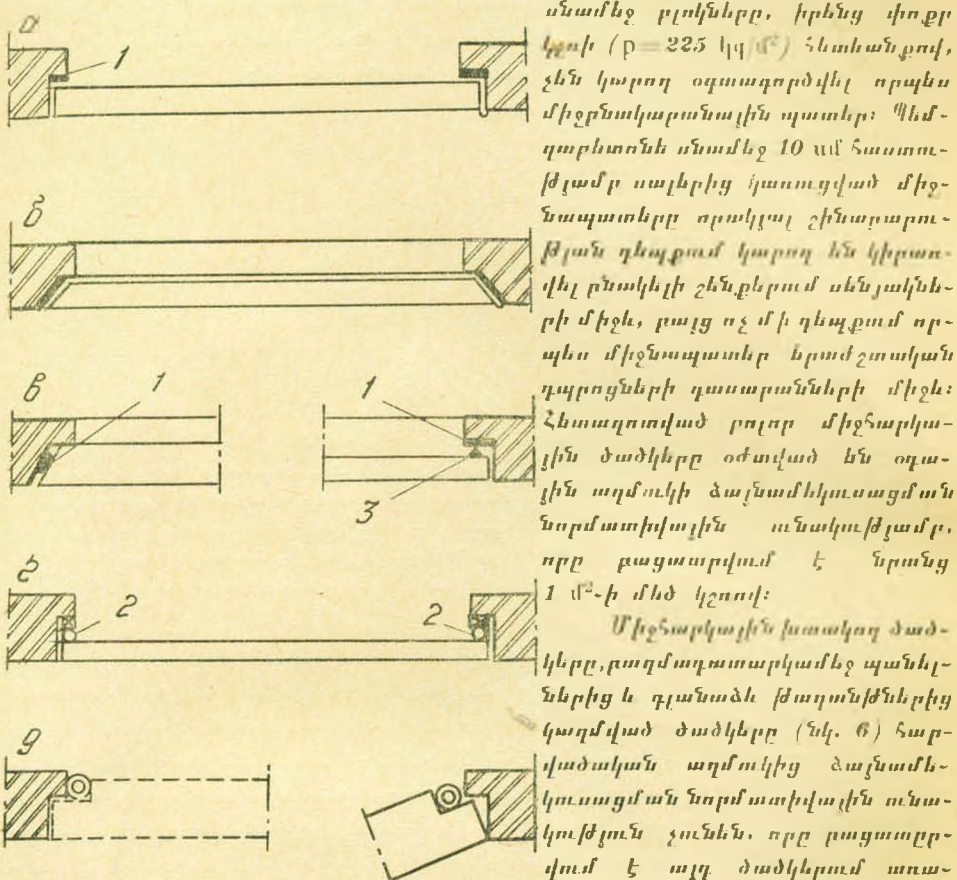
Ձայնամեկուսացման հարցում մեծ էֆեկտ տալիս կրկնակի լուսամուտների և գոների օգտագործումը, ըստ որում գոների կամ լուսամուտների ապակեկաների միջև օպտիմալ հեռավորությունը 5-10 ամ է: Դոների կոնստրուկցիան կարելի է սարքել նաև բազմաշերտ ալիքին հաջորդական նյութերից, որոնք իրարից խիստ տարբերվում են իրենց ակուստիկ գիմագրությամբ:

§ 2. 1958թ. փետրվար-մարտ ամիսներին շինարարական ֆիզիկայի և պատող կոնստրուկցիաների գիտահետազոտական ինստիտուտի [(ԱԿ և Ա) СССР] ակուստիկայի լաբորատորիայի բրիգադան նիսանյութերի և կառուցվածքների ինստիտուտի հետ միասին պրոֆ. Նիկոլակու ղեկավարությամբ երկանի մի շարք շննդիրում կատարեցին բնական չափումներ պատող կոնստրուկցիաների ձայնամեկուսացման վերաբերյալ, որի արդյունքները բերված են 2



Նկ. 4. Անջատված ծածկի սխեման. 1—մաքուր հատակ, 2—փայտատաշեղային սալ, 3—հատակի պանել, 4—հոծ օգալին շերտ, 5—առաստաղի պանել, 6—առածգական ժապավենային միջադիր, 7—պլիխթուս (գրբ-գում է պատի նկատմամբ բացակայով)

աղյուսակում: 2 աղյուսակից երեսը է, որ միջընակարանալին պատերը, որոնք պատրաստված են տեղական տուփից «Միդիո» շարքածրով՝ 54 ամ հաստությամբ և ունեն բավական մեծ կշռո՝ 890 կգ (մ²). Արեւ բավարարում են նորմատիվ պահանջներին, իսկ միջընակարանալին պատերը, որոնք պատրաստված են 25 ամ հաստությամբ պեմզաքիտոնի սնամեջ բլոկներից, չեն բավարարում նորմատիվ պահանջներին: Հետեւագեա, 20 ամ հաստությամբ պեմզաքիտանե սնամեջ բլոկները, իրենց փոքր կոսի ($\rho = 225$ կգ/մ²) հետեւանքով, չեն կարող օգտագործվել որպես միջընակարանալին պատեր: Պեմզաքիտանե սնամեջ 10 ամ հաստությամբ սալիքից իրառցված միջնապատերը որովհայլ շինարարության գեղագրում կարող է լինել բնական կարողություն ունենալու համար ուղարկելու համար: Այս պատերը միջնապատեր երաժշտական գպրոցների գասարանների միջև:

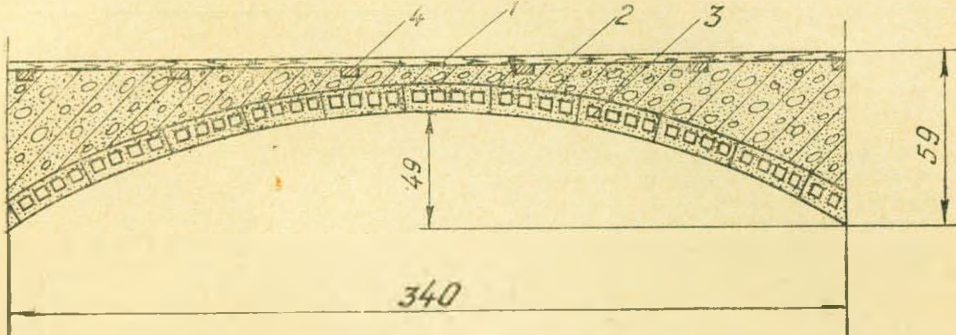


Նկ. 5. Փռների փեղկերի կոնստրուկտիվ սարքավորման սխեմա. 1—ռետին, 2—ռետինի խոզովակ, կամ սպունգային ռետին, 3—մետաղյա շերտ:

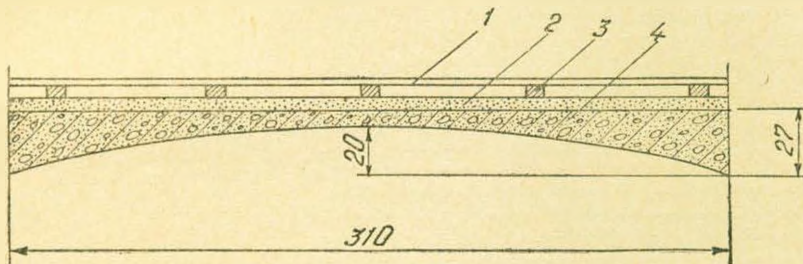
Միջնարկային նառակաղ ծածկերը, բաղմագատարկամեջ պահելներից և գլանածե թաղանթներից կազմված ծածկերը (նկ. 6) հարվածական աղմուկից ձախամեկուսացման նորմատիվային ունակություն չունին, որը բացատրվում է այլ ծածկերում տառագական միջադիրների կամ լրցվածքների բացակայությամբ: Երկութիւնուն թաղածե միջնարկային ծածկը (նկ. 7), բավարարում է հարվածական աղմուկից ձախամեկուսացման նորմատիվը պահանջներին: Հետեւագեա, 20 ամ հաստությամբ պատերը, որը բացատրվում է հաստությունուն ունեցող պեմզայի լրցվածքի կամ ուռեկորդի առկայությամբ, լրցվածք է ասել, որ ուռերութիւն առածկական միջադիրները ժամանակի ընթացքում կարցնում են իրենց տռածզական հատկանելու համար անհրաժեշտ է հատկանելու դպաւի շափուռ վատթարանում է ձախամեկուսացմանը հարվածական աղմուկից: Այսպիսով, հարվածական աղմուկը մեկուսացնելու համար անհրաժեշտ է հատկանելու կառուցել լցվածքի վրա կամ օգտագործել առածզական ձախամեկուսիչ միջադիրներ, քանի որ 1 մ²-ի կշռի ապահովումը գեն չի նշանակում մեկուսացման հարվածական աղմուկից: Եթեանի պարմաններում լայն կիրառում կարող են ունե-

մեկուսացման նորմատիվը պահանջներին, որը բացատրվում է հաստությունուն ունեցող պեմզայի լրցվածքի կամ ուռեկորդի առկայությամբ, լրցվածք է ասել, որ ուռերութիւն առածկական միջադիրները ժամանակի ընթացքում կարցնում են իրենց տռածզական հատկանելու համար անհրաժեշտ է հատկանելու դպաւի շափուռ վատթարանում է ձախամեկուսացմանը հարվածական աղմուկից: Այսպիսով, հարվածական աղմուկը մեկուսացնելու համար անհրաժեշտ է հատկանելու կառուցել լցվածքի վրա կամ օգտագործել առածզական ձախամեկուսիչ միջադիրներ, քանի որ 1 մ²-ի կշռի ապահովումը գեն չի նշանակում մեկուսացման հարվածական աղմուկից: Եթեանի պարմաններում լայն կիրառում կարող են ունե-

Նաև լցվածքները հրաբխալին խարսմից, պեմզալից, ավագից և այլ ծակոտիկն նլութերից Հնարավոր է տեղի գործարաններում փաթթոցների և սալերի ձեռով պատրաստել և որպես միջադիրներ օգտագործել հանքալին թաղիքը, ապակյա բամբակը, փայտատաշեղալին սալեր և այլն։ Հատուկ տշադրություն պետք է դարձնել շինարարական աշխատանքների որակի վրա, այսպիս դրների։



Նկ. 6. Միջնարկային դրանաձև ծածկերի կոնստրուկցիա. 1—տախտակե հատակ տափաղերանների վրա 2 սմ, 2—պեմզարետոն, 3—տուֆորետոնի սալեր = 10 սմ, 4—տափագերաններ։



Նկ. 7. Միջնարկային կրկնակի կորուֆյան թաղաձև ծածկերի կոնստրուկցիա. 1—տախտակե հատակ տափաղերանների վրա 2 սմ, 2—պեմզայի լցվածք 6 սմ, 3—երկաթբետոնի թաղանթ, 4—տափագերան։

պատուհանների փեղկերում և շենքի այլ կոնստրուկցիաներում ճեղքերի, անցքերի և անսերտության առկայությանը ապարդյուն է դարձնում ձախամելուսացման բոլոր կոնստրուկտիվ միջոցառումները։ Անհրաժեշտ է նշել, որ ձայնամելուսացման խնդրի ամենառաջիննալ անխնդիկատնուական լուծումը կարող է իրագործվել հետեւյալ միջոցառումների համատեղ կիրառման գևագում։

1) Ջարտարագետահատակադաշին բնույթի, որը կապված է քաղաքի թաղամասների սացիոնալ հատակադման և բնակելի շենքերի տիպային սեկցիոնների հետ։

2) Կոնստրուկտիվ բնույթի՝ կապված ձայնամեկուսացման էֆեկտիվ արժեքի բնարման և ճիշտ լուծման հետ, ինչպես պատերի և միջնապատերի, այնպես էլ միջնարկալին ծածկերի, լուսամատների և դմերի համար։

3) Շահագործման բնույթի՝ կապված բնակելի շենքերում ինժենիերական սարքավորումների օգտագործման հետ (վերևալիները, նասոսները, կաթսալատները, սանիտարական հանգույցները և այլն)։

4) Արտագրողական բնույթի՝ կապված շենքերի կառուցման ժամանակ շինարարական աշխատանքների որակի հետ։

Աղյուսակ 1

Պատող կռնօտքուկցիաների անվանումը	Օդային աղմուկից ձայնամեկուացման ունակության նորմատիվ միջին արժեքը դրագ	Պատող կռնօտքուկցիայի գշիճությունը՝ kg/m^2
1	2	3
I Պատերի և միջնադատերի		
(լուսամուտների և գռների բացակայության դեպքում)		
ա) Բնակարանում բնակելի սենյակների միջնակարանական հանգույցներից առանձնացնող (համասկող)	40	100
բ) Նույնը, օդային հոծ միջնաշերտի դեպքում. հետևյալ լույսություններով՝		
3 սմ . . .	40	85
4 սմ . . .	40	57
5 սմ . . .	40	47
6 սմ . . .	40	40
7 սմ . . .	40	36
8 սմ . . .	40	34
գ) Բնակելի սենյակները սանիտարական հանգույցներից առանձնացնող (համասկող)	44	200
դ) Նույնը, օդային հոծ միջնաշերտով՝		
3 սմ . . .	44	170
4 սմ . . .	44	110
5 սմ . . .	44	92
6 սմ . . .	44	80
7 սմ . . .	44	72
8 սմ . . .	44	67
ե) Բնակարանների միջնակարանական հանգույցներից առանձնացնող (համասկող)	48	300
զ) Նույնը, օդային հոծ միջնաշերտով՝		
3 սմ . . .	48	270
4 սմ . . .	48	220
5 սմ . . .	48	180
6 սմ . . .	48	160
7 սմ . . .	48	140
8 սմ . . .	48	130
II Պատերի և միջնադատերի		
(գռների և պատուհանների առկայությամբ)		
Բնակարանում բնակելի սենյակների միջնակարանների սենյակության հանգույցի միջնակարանում առանձնացնող (համասկող)	31	22
ա) 10—15 մմ լողաթիթի հաստության կամ կրկնակի ապակման. 2 մմ ապակու հաստության դեպքում	41	120
բ) Նույնը, կրկնակի գռների դեպքում (երկու դուռ մեկ բացվածքում)	33	30
գ) 20—30 մմ լողաթիթի հաստության կամ 3—4 մմ հաստությամբ ապակման դեպքում	43	170
դ) Նույնը, կրկնակի գռների դեպքում	35	43
է) 30—45 մմ լողաթիթի հաստության կամ 6—8 մմ հաստությամբ ապակման դեպքում	45	220
թ) Նույնը, կրկնակի գռների դեպքում	35	43
ը) Ներքին պատերում կամ միջնապատերում խուլ միական ապակման համար վերնափեղկերի առկայության դեպքում	40	100

	1	2	3
111 Միջնարկային ծածկեր			
ա) Բնակելի սենյակների միջն, բնակելի սենյակնե- րի և օժանդակ սենյակների ու ոչ ընակելի շի- նությունների միջն, պարկետի հատակով ասֆալ- տիք 2-3 մմ հաստությամբ կամ տափագե- րանների գրտ տափակե հատակով	48	300	
բ) Նույնը 0,25 մմ-ոց լինոլեումի հատակով	48	250	
զ) Նույնը, հատակի տակ առաձգական նյութով աս- րեստացեմենտի սալի տեսքով ($\gamma=350$ կգ/մ ³)			
1 շերտ 3 մմ հաստությամբ	48	120	
2 > 6 մմ >	48	100	
դ) Նույնը, հատակի տակ առաձգական նյութով մի- ներալ խցանի սալի բրուկ ($\gamma=300+350$ կգ/մ ³)			
1 շերտ 3 մմ հաստությամբ	48	140	
ե) Նույնը, հատակի տակ գլայչաթելիային սալի բրու- ($\gamma \geq 200+250$ կգ/մ ³)			
1 շերտ 2,5 մմ հաստությամբ	48	200	
2 > 3 մմ >	48	140	
զ) Նույնը, շլաքի լցվածքով, մասնիկների մեծու- թյունը մինչև 1 մմ ($\gamma=800+900$ կգ/մ ³) 6÷8 մմ հաստությամբ	48	220	

Աղյուսակ 2

I. Պատերը և միջնապատերը							
Կոմիտասի փողոց, 179	1. Միջնակարանային կրող պատ հետեւյալ կազմությամբ՝ ա) «միդիս» շարժածքով տե- ղական տուֆից «25» մար- կայի շաղախի վրա բ) Գաջի սվաղ բոլոր կողմե- րից	50 2	54	890	51,5	—	48
Կոմիտասի փողոց, 139	2. Միջնակարանային պատ, բաղկացած՝ ա) պեմզարետ սնամեջ բլոկից բ) գաջի սվաղ բոլոր կողմե- րից	20 2,5	25	225	43	—	48
Կոմիտասի փողոց, 179	3. Միջնակարանային միջնապատ, բաղկացած՝ ա) պեմզարետոնե սնամեջ սա- լից (անցքի տրամադիճը 5 սմ) բ) գաջի սվաղ բոլոր կողմերից	10 2,5	15	160	38	—	40
Մոսկովյան փողոց, Աս- տիմի-Նովյայի այլան երա- ժբանական դպրոց	4. Միջնասարանային միջնա- պատ բաղկացած՝ ա) սնամեջ պեմզարետոնից (անցքի տրամադիճը 5 սմ) բ) գաջի սվաղ բոլոր կողմե- րից	10 1,5	13	130	40	—	44

1	2	3	4	5	6	7	8	9
	11 Միջնարկային ծածկեր							
Կոմիտասի փողոց, 179	1. Միջնարկային ծածկ, բաղկա- ցած հետեւյալ շերտերից՝ (ներ- քից-վեր)	2	~31	~380	50	45	48	35-40
	ա) զաջի սվաղ							
	բ) ծածկի կրող մասը, խառ- կող ծակուլեն պեմզարլո- կից, միջադիրով	20						
	գ) տուֆաբերկաթթառնե սալ	5						
	դ) պեմզոլիտային երևասավաղ	2						
	ե) պարկետ մաստիկայի վրա	1,7						
Կիևյան փողոց, 139	2 Միջնարկային ծածկ, բաղկա- ցած՝	1,5	~28	~360	51	44	48	35-40
	ա) զաջի սվաղից							
	բ) ծածկի կրող մասը բաղմա- ծակուլեն երկաթթառնե սալ	22						
	գ) ճրեսասվաղից	2						
	դ) պարկետից մաստիկայի վրա	1,7						
Կիևյան փո- ղոց, 139	3. Միջնարկային ծածկ, կազմված ա) զաջի սվաղից	2	~34	~420	52	45	48	35-40
	բ) ծածկի կրող մասը, բաղ- մածակուլեն երկաթթառնե սա- լանելից	22						
	գ) երեսասվաղից	2						
	դ) պարկետից մաստիկայի վրա	1,7						
Կիևյան փո- ղոց, 139	4 Միջնարկային ծածկ, կազմված ա) զաջի սվաղից	2	~34	~420	50	44	48	35-40
	բ) ծածկի կրող մասը խտա- ծակուլեն սլեմզարլոկից, միջադիրով	20						
	գ) տուֆաբերկաթթառնե սա- լից	5						
	դ) պեմզոլիտային երևասավա- ղից	5						
	ե) պարկետից մաստիկայի վրա	1,7						
Մոսկովյան փողոց, Սա- րաթ-Նովայի անգան երա- ժբառական դրամական գոլորց	5. Միջնարկային ծածկ, կազմված ա) կրող մասից, երկաթթա- ռնի՝ գեղի գերե ուղղված կողերով	10	~55	~670	57	35	48	35-40
	բ) կողերի մեջ սլեմզարլի լոց- վածքից							
	շ) բառ կողերի դասավորված շերտերով ուրիշութիւն ծա- պագենից							
	դ) հագարական երկաթթառնե սալերից	8						
	ե) երեսասվաղից	7						
Ավանի խոր- ճուղի, 13, Երևանյու- թերի ինս- տիտուտի փորձարկող տունը	6. Միջնարկային ծածկ, բաղկա- ցած՝		~40	560	49	43	48	35-40
	ա) տուֆաբերաննե սալի դրա- մակային թաղանթից							
	բ) պեմզարետանի շերտից							
	դ) տախտակայ հատակից տա- փագերանների վրա	2						
Ավանի խոր- ճուղի 13, Եր- ևանյութերի ինստիտուտի փորձարկող տունը	7. Միջնարկային ծածկ, բաղկա- ցած՝							
	ա) մոնուիթ երկաթթառնե կրնակի կորության թաղա- ձև ծածկից							
	բ) պեմզայի լոցվածքից	6						
	դ) տախտակայ հատակից տա- փագերանների վրա	2						

Н. К. КАРАПЕТЯН, А. А. КОРХМАЗЯН

К ВОПРОСУ О ЗВУКОИЗОЛИРУЮЩЕЙ СПОСОБНОСТИ ОГРАЖДАЮЩИХ КОНСТРУКЦИЙ ЗДАНИЙ

Р е з ю м е

В статье рассматриваются вопросы звукоизоляции жилых зданий от воздушного и ударного шумов. В табл. 1 даны веса ограждающих конструкций и соответствующие величины нормативной средней звукоизолирующей способности ограждений от воздушного шума.

В табл. 2 приведены результаты натурных инструментальных наблюдений по звукоизоляции ограждающих конструкций ряда типовых зданий г. Еревана, выполненных под руководством проф. В. Н. Никольского. Указаны мероприятия по усилению звукоизоляции ограждающих конструкций зданий.

Գրականություն

1. Звукоизоляция в жилых и общественных зданиях. Сб. статей, М., 1957.
2. Инструкция по звукоизоляции помещений жилых и общественных зданий (СН—39—58), М., 1959.
3. Строительные нормы и правила (СН и П), часть I и II, М., 1955.
4. И. М. Гусев, Звукоизоляция жилых зданий, М., 1953.
5. И. И. Славин. Производственный шум и борьба с ним, М., 1955.
6. Исследование звукоизолирующей способности ограждающих конструкций в зданиях г. Еревана, 1958.

ՃԵՎԱՐԱՐԱԿԱՆ ՏԵԽՆԻԿԱ

Ա. Ա. ՎԱՐԴԱԿԱՆ

ԲՆԱԿԱՆ ՔԱՐԵՐԻ ԿՏՐՄԱՆ ՄԻ ՔԱՂԻ ՀԱՐՑԵՐ

Բնական քարերի կարման հարցերի ուսումնասիրության ժամանակ կարևորագույն օղակներից մեկը հանդիսանում է կարման ուժերի որոշումը՝ կարման ուժերի մեծության որոշումն անհրաժեշտ է նոր հասացների հզուրության, առանձին հանդույցների և գետալների ամրության և կոշտության հաշվարկների համար:

Մինչեւ այժմ գոյություն չունի կարման տեսակարար ուժերի տեսական հաշվարկի ձև, ուստի պայմանականորեն ամբողջ կատարած աշխատանքը վերագրում են կարման միջոցով հանգած քարաշերտին, և այդ մեծությունն ընդունված է էներգատարողության ցուցանիշ կամ կարման տեսակարար աշխատանք, որը բավականին ճիշտ է բնութագրում կարման դինամիկան պրոցեսը:

Ամբողջ էֆեկտիվ կարման աշխատանքը կարելի է ներկայացնել ինչպես ներքին և արտաքին ուժերի աշխատանք,

$$A = A_{\infty} + A_{\phi}^{\perp} + A_{\gamma\phi}^{\parallel} + A_{\gamma\phi}^{\perp\parallel} \quad (1)$$

որտեղ A_{∞} -ն գիսպերաման (քարի մանրացման) աշխատանքն է,

A_{ϕ}^{\perp} -ն կարիչի հետին նիստի շփման աշխատանքն է,

$A_{\gamma\phi}^{\parallel}$ -ն կարիչի առջեկի նիստի շփման աշխատանքն է,

$A_{\gamma\phi}^{\perp\parallel}$ -ն սահքի հարթության վրա կատարած շփման աշխատանքն է:

Բնական նյաթերի կարման ընթացքում էներգիայի զգալի մասը ծախսվում է առաձգական գեֆորմացիայի վրա, որը կարման էլեմենտի սահքից հետո վեր է ածվում ջերմության, իսկ էներգիայի միայն վորքը մասը վատնրվում է մակերեսութային էներգիայի մեծացման վրա: Սակայն, ինչպես ցույց է տվել Վ. Դ. Կուզնեցովը, մակերեսութային էներգիան վերջին հաշվով համեմատական է առաձգական գեֆորմացիայի վրա ծախսված էներգիային, ուստի հետագա մեր գատողությունների համար ընդունում ենք, որ դիսպերուման աշխատանքը ուղիղ համեմատական է A_{ϕ}^{\perp} և $A_{\gamma\phi}^{\perp\parallel}$:

$$A = A_{\infty} + A_{\phi}^{\perp} = \sigma S_n \cdot a \cdot b \cdot l + F_1 \cdot b \cdot \Delta_2 \cdot l, \quad (2)$$

որտեղ S_n -ը նոր առաջացած ընդհանուր մակերեսություն է, $\text{մ}^2/\text{մ}^3$.

Առաջակայի մակերեսութային էներգիայի համեմատականության զործակիցն է $\frac{1q \cdot \text{մ}^3}{\text{մ}^2}$,

F_1 -ը կարիչի հետին նիստի վրա աղդող շփման ուժն է, կգ.

Են տաշեղի հասածքի լայնությունն է, մմ.

Ա-ն տաշեղի հասածքի հաստությունն է, մմ.

Եր կտրիչի անցած ճանապարհն է, մմ.

Δ₂-նը կտրիչի հետին նիստի մաշվածքի մեծությունն է չափման կազրման հարթակության մեջ, մմ:

Անցնելով աշխատանքի տեսակաբար մեծություններին, բանաձեռ կրնգունի հետեւալ տեսքը՝

$$U = \frac{A}{a \cdot b \cdot l} = \varphi \cdot S_n + \frac{F_1 \cdot \Delta_2}{a} \quad (3)$$

Մյուս կողմից հեղինակի փորձնական հետազոտություններով ֆելզիտային տուփի ($\sigma_{\text{ԵՋ}} = 575 \frac{\text{կգ}}{\text{մմ}^2}$) տեսակաբար ուժի համար, որը թվապես հավասար է տեսակաբար աշխատանքին, ստացված է հետեւալ բանաձեռ՝

$$p = U = \frac{1,97}{a^{0,42}} + \frac{1,91 \Delta_2}{a} \quad (4)$$

Բերված հավասարման աջ մասի տոացին անդամը իրենից ներկայացնում է գիսպերաման տեսակաբար աշխատանքը, երկրորդ անդամը բնորոշում է կտրիչի հետին նիստի շիման աշխատանքը՝ վերադրված տաշեղի միավոր ծավալին:

Համեմատելով (3) և (4) հավասարումները դժվար չէ նկատել, որ՝

$$\varphi \cdot S_n = 1,97 \cdot a^{-0,42},$$

որտեղից

$$S_n = \frac{1,97}{\varphi \cdot a^{0,42}} = \frac{c}{a^{0,42}} \quad (5)$$

$$\text{որտեղ } c = \frac{1,97}{\varphi} :$$

Ինչպես երևում է (5) բանաձեռից, հանված տաշեղի լոնդանուր մակերեսությունը հակագարձ համեմատական է հասածքի հաստությանը: Տվյալ հավասարումից գեցար չէ զանել ուժի մեծությունը, եթե որոշակի ա-ի համար հայտնի է S_n -ի արժեքը:

Օգտիկով ի. Ա. Տեր-Աղարեի փորձնական տվյալներից ֆելզիտային տուփի համար գրում ենք տեսակաբար մակերեսությի արժեքը $S_n = 90 \frac{\text{մմ}^2}{\text{մմ}^3}$,

երբ $a = 1,0 \frac{\text{մմ}}{\text{պատ}}$: Եշված S_n -ի արժեքը գտնվում է հեղուկի ծծմանցման և

նրանից ածանցյալ օգտագործմանցելիության մեթոդով: Տավարովի մակերեսությունը համարման սարքով: Տեղադրելով S_n -ի արժեքը (5) բանաձեռում, կստանանք

$$\varphi = \frac{1,97}{90} = 0,022 \frac{\text{կգ} \cdot \text{մմ}}{\text{մմ}^2} :$$

Ստացված շի արժեքը, եթե համեմատենաք վ. Դ. Կուզնեցովի փորձական տվյալների հետ կարծրության սանդղակի միներալների համար և բնույթունելով ֆելզիտային տուֆի կարծրությունը բառ Մոսակ 4—5, ապա կարելէ նկատել, որ բառ վ. Դ. Կուզնեցովի $\sigma = 180 : 230 \frac{\text{կրգ}}{\text{մմ}^2}$, բառ մեզ

$\sigma = 224 \cdot 10^3 \frac{\text{կրգ}}{\text{մմ}^2}$ մակերեսութային էներգիայի համեմատական գործակիցը հեղինակի մոտ ստացվում է մոտավորապես 1000 անգամ ավելի է քան բառ վ. Դ. Կուզնեցովի:

Սահմանված շի մեծության կարգը համընկնում է քարաղի համար ստացված արժեքի հետ, որը ստացվել է Ա. Ֆ. Իոֆելիի, Մ. Ա. Լեզիցիու, Ե. Վ. Ցեխնովիցերի կողմից: Ալսպիսի համընկումը բացատրվում է նրանով, որ այդ փորձերում նույնպես հաշվի չի առնված հարգածի ընթացքում լուսացված կորուստները, ուստի արժեքը մոտ 500 անգամ ավելի է քան բառ վ. Դ. Կուզնեցովի:

Նույն ձևով հաշվարկելով շի արժեքը երեանի բազալտի համար մեր կողմից ստացված է $\sigma = \frac{8,5}{a^{0,48} \cdot S_n} = \frac{8,5}{136} = 0,0625 \frac{\text{կգ} \cdot \text{մմ}^2}{\text{մմ}^2}$ բառ ի. Ա. Տեր-Ազարեի $\sigma = 0,058 \frac{\text{կգ} \cdot \text{մմ}^2}{\text{մմ}^2}$:

Հեղինակի ստացված շի արժեքը համընկնում է ֆելզիտային տուֆի համար ի. Ա. Տեր-Ազարեի կողմից գտած փորձնական տվյալներին՝ $\sigma = 0,0256 \frac{\text{կգ} \cdot \text{մմ}^2}{\text{մմ}^2}$ (փորձնական տվյալները ստացված են պլանածն նմուշները, $d = 20 \text{ մմ}$, $\frac{h}{d} = 1,25$, ազատ բնկնող բեռի տակ չարգելիու):

Ամփոփելով հոգվածում բերված տվյալները, կարելի է հանգել հետևյալ կարակացություններին՝

1. Մակերեսութային էներգիայի համեմատական գործակիցը որոշման մեջողք՝ հիմնով կորման աշխատանքի բալանսից ընդունելի է պրակտիկ հաշվարկների համար:

2. Տեսակաբար աշխատանքի ներկայացումը երկու անդամի ահաքով ճիշտ է բնութագրում կտրման պրոցեսի ֆիզիկական էաթլունը:

Կ. С. ВАРДАНЯН

НЕКОТОРЫЕ ВОПРОСЫ РЕЗАНИЯ ЕСТЕСТВЕННЫХ КАМНЕЙ

Р е з ю м е

В статье автора вся работа относится к объему снятого материала, и это принимается в качестве энергетического показателя, хорошо характеризующего динамический процесс резания. Работа резания представлена как работа внутренних и внешних сил (1); для

практических расчетов предлагается уравнение (2). В статье на основе баланса работы резания определены величины поверхностной энергии для фельзитового туфа и ереванского базальта. Сравнение значения σ с величинами, полученными другими исследователями, дают нам право предполагать, что предложенная методика определения поверхностной энергии пригодна для практических расчетов, а представление работы резания в виде двухчленного уравнения правильно отображает физическую сущность процесса резания естественных камней.

ԳԻՏՈՒԹՅՈՒՆ ՆՈԹՈՒՅՑ

Բ. Հ. ԵՎԼԱԶՈՐՅԱՆ

ՀԱԿԱԴՐԱԿ ԱԼԻՔԻ ԵԼՔԻ ԱՐՋԵՇՈՒՄԸ

Հիդրոսեփոխկան կառացվածքների շահագործման պրակտիկայում միշտ կարելի է հանդիպել հիդրովլիկական բարդ սեմիմի¹ չըի ալիքացին չըհաստափած շարժման: Այսպես, օրինակ, հիդրոէլեկտրակալաններամ օրական կանոնավորման ժամանակ վերին րինֆում առաջանամ են չըի հոսանքի հակառակ ուղղությամբ տարածվող ալիքներ, որոնք այդ պատճառով են ալիքներ, որոնք տարածվում են հոսանքի ուղղությամբ և կոչվում են ուղիղ ալիքներ: Ալզրդնական ազատ մակերեսովի նկատմամբ անհետած գտառավորությամբ (ներքե, թե վերե) բարաքանչչուր ալիք իր հերթին կարող է լինել զրական կոմ բացառական: Աւզիղ ալիքների համար սաացված բանաձեռքը կիրառելի չեն հակառակ ալիքների հաշվման համար, քանի որ վերջինների գեպքամ տառած այն էլ բարդ հիդրովլիկական սեմիմի¹ և ավելի է բարզանամ վերին րինֆի դատարկման (կամ լցման) ազգեցության շնորհիվ: Եթե զրահավաք պատվարի փականների բացվածքը փոխելով ելքը սկզբնական Q_0 մեծաթյունից հասցված է մինչև վերջնական $Q_0 - \Delta Q_0$ մեծաթյան և անունեան փականի բացվածքը թողնված է անփոխիս, ապա նոր մեծ ելքը ապահովելու համար (բանի որ վերին բինֆ լցված է միայն սկզբնական Q_0 ելքը) պիտի է պակասի բինֆի ծավալը: Ելքի փոփոխության հետևանքով առաջացած հակառակ ալիքը ծավալով տարածվում է իր սկզբանական Q_0 որքեքին: Վերին բինֆում հաստատվում է նոր սեմիմ Q_0 ելքով և նոր ապատ մակերեսովի կորով, որը տեղափորված է սկզբնական կորից ցածը շլոնորհիվ բինֆի դատարկման: Եթե զրի ելքի մեծացման փոփարեն տեղի ունենար պատվարի վրայով հետացվող ելքի փոքրացում, ապա վերին բինֆում երեսվի կիբներ ճիշտ հակառակը՝ կունենալինք բինֆի լցում, հորիզոնի բարձրացում, հետևաբար ելքի աստիճանական մեծացում մինչև սկզբնական արժեքը և կհաստատի նոր սաացիսար սեմիմ Q_0 ելքով և նոր ապատվախիքի կորով: Հետեապիս, ի հակակշիռ ուղիղ ալիքների, որոնց ելքը փոփոխված է մեկ ողղությամբ, ձգաելով վերջնական $Q_0 - \Delta Q_0$ արժեքին, հակառակ ալիքի գեպքամ անհնաք ելքի երկրողմանի փոփոխություն, որը պարմանավորված է բինֆի դատարկման (կամ լցման) ազգեցությամբ:

Հակառակ ալիքի ծավալը ծառաբում է չըի պակասոր բավարարելու կամ ավելցուկը տեղափոխելու համար, որոնք, շնորհիվ ալիքի ելքի երկողմանի փոփոխության, սահմանափակ մեծություններ են և այդ պատճառով էլ ալիքի տարածման հետագործությունը պետք է գործնականորեն սահմանափակ լինի: Բացի զրանից, եթե հակառակ ալիքի տարածման հետագործությունը սահմանափակ չլինի, ալիքային շարժումը կարող է շարունակվել անվերջ և բավարար ստացիոնար շարժում չի հաստատվի, որը հակառամ է իրականությանը: Հակառակ ալիքների տարածման հետագործության սահմանափակ լինելը հաստատում են նաև պրոֆ. Ի. Վ. Եղիազարովի լարորատոր փորձերի և Տիմվինյան քրացին սիստեմում կատարված գիտումների արգանքները: Վերը բնրված դասովագրանները, ինչպիս և փորձնական տվյալների առամսափորությունները թույլ են ապահո անձնության հակացալ հպրակացագրանները:

ա) Հակառակ զրական ալիքը տարածվում է մինչև վերջնական ստացիոնար շարժման ազատ մակերեսութիւնի գիմնարի վերջը (գիմնարը տեսականութեն տարածվում է մինչև անահմանություն, աբով պատճառով արտահղ և հետագա արտահագուստությաններում գիմնարի վերջ առելով պետք է հասկանալ այն կորուսածքը, որից բարձր գործնականորեն գիմնար այսու չկա): Ելքիրը այն կորուսածքներում, որ արգեն հասել է հակառակ ալիքը, սկզբում փոքրանում են, ապա բնիքի լցուն հետեւնքով աստիճանաբար աճում են և հասնամ իրենց ^(Q) սկզբնական արժեքին.

բ) Հակառակ բացասական ալիքը տարածվում է մինչև սկզբնական ստացիոնար շարժման ազատ մակերեսութիւնի գիմնարի վերջը: Ելքիրը այն կարվածքներում, որ արգեն հասել է հակառակ ալիքը, սկզբում աճում են, ապա բնիքի դաստիճանաբար աստիճանաբար գործքանում են և հասնամ իրենց ^(Q) արժեքին.

գ) Խորությունները հակառակ ալիքի ժամանակ փոփոխություն են միայն մեկ ուղղությամբ:

դ) Ելքի փոփոխման ամպլիտուդան պատվարից հեռանալու հետ մեկտեղ փոքրանում է և ալիքի տարածման վերջին կարվածքում գործնականորեն հավասարվում է զերոյի: Այս կարվածքում գործնականորեն զերո է և հորիզոնի փոփոխությունը:

Հետեւաբար, հակառակ ալիքը առաջանալու գելքում վերին բնեֆի այն կարվածքներում, ուր արգեն հասել է ալիքը, ելքի փոփոխությունը բաղկացած է երկու իրար հակագիր փոփոխություններից: Մեկ փոփոխությունը պարմանավորված է սկզբնական կարվածքում (ուր առաջացել է հակառակ ալիքը) ելքի փոփոխմամբ և ունի նույն ուղղությունը, ինչ վերջինը: Հաշվի առնելով, որ վերին բնեֆում չըի խորությունը համարլա միշտ զգալի է, որի հետեւնքով փոքր են շիման ուժերը և նրանցով պայմանավորված կորուստները, կարելի է ալիքի գեֆորմացիան արհամարհել և ընդունել, որ սկզբնական կարվածքում ելքի ^(ΔQ) փոփոխությունը նույնությամբ կրկնվում է նաև մլուս բոլոր կարվածքներում՝ միսած ալիքի տվյալ կարվածքը հասնելու մոմենտից: Ելքի մլուս փոփոխությունը, որն ունի առաջինին հակագիր ուղղություն, կատարվում է բնեֆի դաստիճան (կամ լցուն) ազգեցության շնորհի և բնրում է նրան, որ տվյալ կարվածքում ելքի սկզբնական փոփոխությունն աստիճանաբար փոքրանալով, ձգում է զերոյի: Վերին բնեֆի դաստիճանաբար (կամ լցումը) մարող պրոցես է, որը կատարվում է աստիճանա-

բար փոքրացող ինտենսիվությամբ, այդ պատճառով նրանով պայմանավորված ելքերի փոփոխությունը նույնական մարող պրոցես է և կարող է արտահանվել ցուցչացին կապի միջոցով:

Հետեաբար, ելքի գումարացին փոփոխությունը վերին թվափի որեւ կրարվածքում հակառակ ալիքի անգաման ժամանակ կլինի

$$\Delta Q = \Delta Q' e^{-\alpha t}, \quad (1)$$

որտեղ $\Delta Q'$ սկզբնական կարգածքում ելքի փոփոխման օրենքն է և կարող է ունենալ ցանկացած ձև,

շաբաթամեռ է, որը հաշվի է առնում տեղական պարմանները և բնորոշում է բյեֆի զատարկման (կամ լցման) ինտենսիվությունը,

$$\tau = t - T$$

և անկախ փոփոխականը՝ ժամանակակիցն է.

Դ սկզբնական կարգածքից մինչև տվյալ կորուլածքը հակառակ ալիքի տեղափոխմանը համար անհրաժեշտ ժամանակամիջոցն է, որն այլ կերպ անվանում են վաղքի ժամանակամիջոց:

Մինչև S հեռավորության վրա գտնվող կարգածքը ալիքի վագքի ժամանակամիջոցը կլինի

$$T = \int_0^s \frac{dS}{\omega}, \quad (2)$$

որտեղ ω ալիքի սկզբնակեան տարածման արագությունն է, որը որոշվում է ըստ Լազարանժի բանաձեկի

$$\omega = \sqrt{\frac{F}{B}} - U, \quad (3)$$

F կենդանի կարգածքի մակերեսն է,

B կարգածքի լայնությունն է զրի հորիզոնի վրա,

U կարգածքում զրի շարժման միջին արագությունն է:

Ալիքային շարժումը հաշվելու համար բյեֆը բաժանենք առանձին հավաքների: Կազմենք անխղելիության հավասարումը՝ վերջին S_k կարգածքի (որից բարձր ալիքը գործնականորեն չի տարածվում) և պատահական S_n կարգածքի միջև ընկած հատվածի համար:

$$Q_k dt + Q_n (S_k - S_n) dt - Q_n dt = dV, \quad (4)$$

որտեղ Q_k և Q_n ելքերն են S_k և S_n կարգածքներում,

Q_k կողային հոսքը 1 գծ. մ ելքաբության վրա 1 վրկում:

V զրի ծավալն է, որն ամփոփված է վերին բյեֆի $S_k - S_n$ հատվածում:

Ենթադրելով (4) արտահայտությունում Q_n ըստ ժամանակի հաստատում, տեղադրելով Q_n ըստ (1) բանաձեկի և ինտեգրելով հավասարությունը T_{n+1} մինչև t սահմաններում, կտանանք

$$-\frac{\Delta Q'}{x_n} \left[1 - e^{-x_n(1-T_\pi)} \right] = V - V_0. \quad (5)$$

Եթե $t \rightarrow \infty$, բյուֆում հաստատվում է նոր սահցիոնար շարժում սկզբնական ելքով ու նոր ազատ մակերևույթի կորով, իսկ ծավալի $V - V_0$ աճը ձգտում է իր սահմանացին ΔV_n արժեքին (ժափալ, որը սահմանափակված է Q_0 ելքին համապատասխանող ազատ մակերևույթի սկզբնական և վերջնական զիրքերի միջի): Այդ գիւղքում (5)-ից կատանանք ցանկացած կարգածքում x_n պարամետրի սրոշման համար հետեւյալ արտահայտությունը՝

$$x_n = \frac{\Delta Q'}{\Delta V_n} \quad (6)$$

Վերջին արտահայտությունը ցույց է տալիս, որ $\alpha_{\text{ռ}}\beta$ փոփոխական է, ուստի գժվարանում է նրա օգտագործումը: ΔV_n մեծությունը, բացի $\Delta Q'$ ելքից, կախված է նաև արից շատ գործոններից, ինչպես, օրինակ, հունի լայնական կտրվածքի ձերից և նրա փոփոխությունից ըստ դետի երկարության, սկզբնական ելքի մեծությունից ու պատասխարի մոտ չըի հորիզոնի բարձրությունից և այլն, որոնց ազդեցությունը շատ գժվար է ճշտությամբ հաշվի առնել, ուստի և $\Delta Q'$ ելքի ամեն մի արժեքի համար ΔV_n -ի ճշգրիտ որոշումը արգարացված չէր լինի: Այդ պատճառով հնարավոր ենք համարում ΔV_n աճի փոփոխական մեծությունը փոխարինել նրա սահմանացին ΔV_n արժեքով, որը համապատասխանում է ելքի վերջնական ΔQ_0 փոփոխությանը սկզբնական կտրվածքում, եթե, ինարդիք, վերջինը, համեմատած ալիքից առաջ եղած Q_0 ելքի հետ, փոքր մեծություն է: Կատարված ընդունելությունը ազդեցություն է թողնում միայն այն ժամանակի ընթացքում, եթե ելքի աճը սկզբնական կարգածքում հասնում է իր սահմանացին ΔQ_0 արժեքին, այդ ժամանակը, համեմատած ելքի փոփոխման ընդհանուր ժամանակի հետ, շատ փոքր է, ուստի և փոքր է կատարված ընդունելության ազդեցությունը հաշվումների ճշտության վրա:

Որոշելով տարբեր S_n կարգածքների համար α_n պարամետրի արժեքը, կունենանք լուրաքանչյուր կտրվածքում ելքի փոփոխման օրինար ըստ (1)-ի և կարող ենք ստանալ ցանկացած է ակնթարթի համար ելքի բաշխման օրինար ըստ բյեֆի երկարության, կասոցել մաքսիմում ելքերի նվազման կորը բյեֆի երկարությամբ, ինչպես նաև ստանալ ալիքի ցանկացած ելքի (այդ թվում և մաքսիմում ելքի) տարածման արագությունը բյուֆում: Սահցված արտահայտությունները կարելի են օգտագործել մի շարք ջրահեներդեմիկական խնդիրների լուծման համար, ինչպես, օրինակ, օրական կանոնավորման ժամանակի, վերին բյեֆում ելքերի փոփոխությունը սրոշելու, վերին բյեֆի դատարկման ժամանակը սրոշելու և այլնի համար:

А. С. СОГОЯН

ВЛИЯНИЕ НАКЛОНА ВОЛОКОН ДРЕВЕСИНЫ ТОПОЛЯ НА ДЕФОРМАЦИЮ ПОЛЗУЧЕСТИ ПРИ СЖАТИИ

Вопрос о влиянии наклона волокон древесины на ее деформацию ползучести при сжатии в литературе мало освещен [1].

Нами были поставлены опыты по изучению деформации ползучести при сжатии древесины тополя вдоль волокон, поперек волокон под углами 45° и 90°.

Опыты на сжатие вдоль волокон ставились с образцами размером $6 \times 6 \times 20$ см. Торцы образцов были выпилены строго перпендикулярно к граням. Образцы были взяты из одной рейки, влажность которой была 17%. Напряжение в образцах при сжатии вдоль волокон было доведено до 80 кг/см². При сжатии вдоль волокон образец укладывался на специальную каменную опору. Верхний и нижний торцы образца плотно упирались в специальные пластиинки. Нагрузка на образец прикладывалась центрально с помощью рычага (рис. 1).

Передача нагрузки от рычага на образец осуществлялась через чугунные плитки между которыми был поставлен стальной шарик. Наблюдение за деформациями велось в течение 2 месяцев.

Деформации измерялись двумя индикаторными головками и двумя рычажными тензометрами с базами 10 см, которые устанавливались на противоположных гранях образца (рис. 1).

К образцу были приклеены деревянные пластиинки, к которым прикреплялись индикаторные головки при помощи пластиинок с ушками.

Параллельно велось испытание образцов ($6 \cdot 6 \cdot 20$ см) на сжатие поперек волокон и под углом 45° между направлением волокон и сжимающей силой.

Были испытаны также образцы, на которые нагрузка приклады-

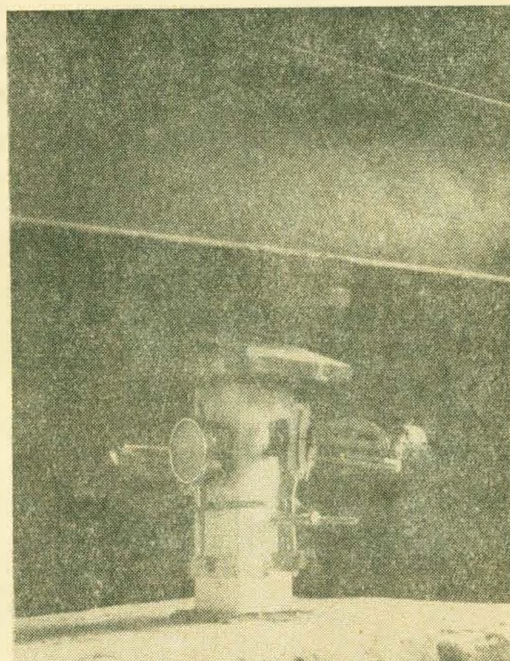


Рис. 1.

валась не по всей поверхности, а на части длин. Эти образцы имели размер $6 \times 20 \times 40$ см. Нагрузка передавалась по площади 36 см^2 в середине образца через стальные пластинки размерами 6×6 см.

Для испытания образцов под длительную нагрузку была использована специальная металлическая рама, снабженная стальной пружиной (рис. 2).

Поверх пружины укладывались две чугунные плитки, между которыми ставился стальной шарик для обеспечения центральной передачи нагрузки. На верху рамы имелось отверстие, через которое свободно проходил болт, на конец которого была навинчена гайка.

Испытуемые образцы закладывались в раму, причем один образец укладывался один на другой. Стойки рамы одновременно служили направляющими для образцов и придавали всей системе устойчивость (рис. 2).

Рама с установленными образцами при помощи рычага была загружена нагрузкой 1080 кг, что вызывало в образцах напряжение $30 \text{ кг}/\text{см}^2$. В дальнейшем сила сжатия в образцах, полученная в начале опыта с помощью рычага, поддерживалась упругостью пружины.

В связи с происходящими деформациями ползучести в образцах происходит падение сжимающей силы, а следовательно и падение

напряжения в образцах (релаксация). Однако было подсчитано, что полное падение сжимающей силы в течение опыта было ничтожным, поэтому и можно им пренебречь.

Измерение деформации производилось с помощью индикаторных головок точностью 0,01 мм, на базе 10 см. К образцам были приклеены деревянные пластинки, к которым прикреплялись индикаторные головки при помощи пластинок с ушками.

Кривые приращения деформации ползучести показаны на графике (рис. 5). Одновременно на график нанесены кривые приращения деформации при сжатии вдоль волокон.

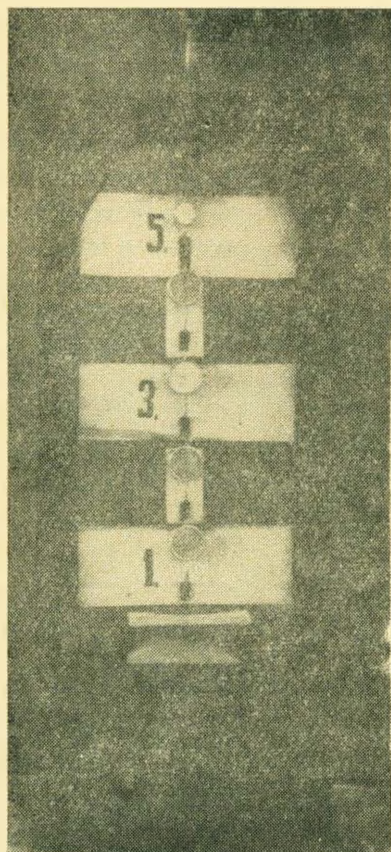


Рис. 2.

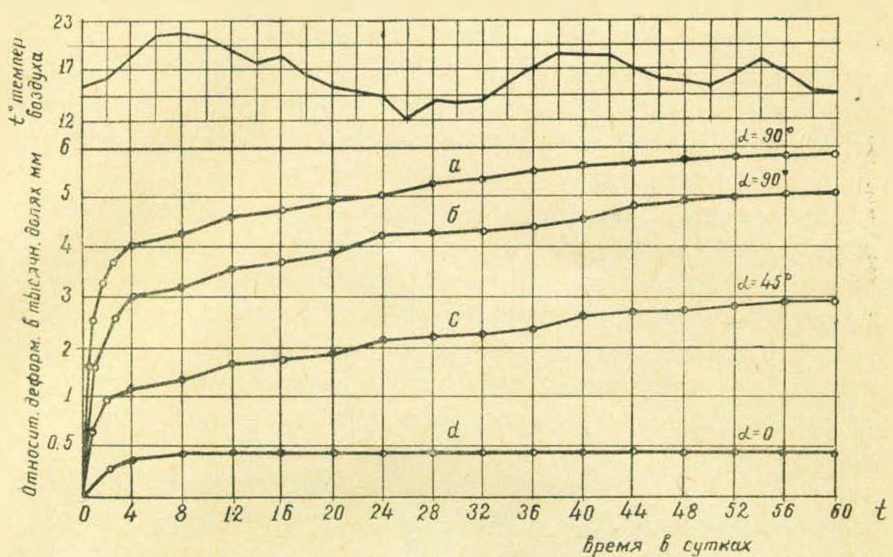


Рис. 3.

Как видно из графика (рис. 3), с увеличением угла между направлением волокон древесины и сжимающей силой, величина деформации ползучести возрастает.

Приращение деформации ползучести при сжатии поперек волокон на части длины образца получилось меньше, чем в образце, где нагрузка была приложена по всей поверхности. По-видимому, здесь сказывается поддержка соседних волокон, которые включаются в работу и препятствуют деформации.

Л И Т Е Р А Т У Р А

1. Иванов Ю. М. Предел пластического течения древесины. М., 1952

С. Г. ИОННИСЯН

О РАСЧЕТНОЙ НАГРУЗКЕ ДЛЯ ВИНОГРАДНЫХ ШПАЛЕР*

Производство шпалерных стоек виноградников имеет большое народнохозяйственное значение, если учесть, что к концу семилетки производство винограда по Союзу будет увеличено не менее чем в четыре раза. По ориентировочным подсчетам только для Армянской ССР ежегодно понадобится более одного миллиона стоек для устройства виноградных шпалер.

* В порядке обсуждения.

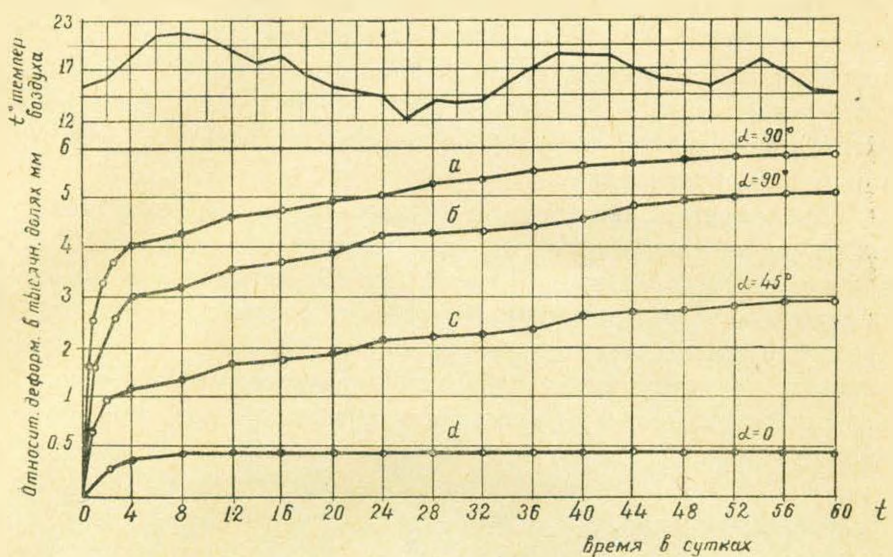


Рис. 3.

Как видно из графика (рис. 3), с увеличением угла между направлением волокон древесины и сжимающей силой, величина деформации ползучести возрастает.

Приращение деформации ползучести при сжатии поперек волокон на части длины образца получилось меньше, чем в образце, где нагрузка была приложена по всей поверхности. По-видимому, здесь сказывается поддержка соседних волокон, которые включаются в работу и препятствуют деформации.

Л И Т Е Р А Т У Р А

1. Иванов Ю. М. Предел пластического течения древесины. М., 1952

С. Г. ИОННИСЯН

О РАСЧЕТНОЙ НАГРУЗКЕ ДЛЯ ВИНОГРАДНЫХ ШПАЛЕР*

Производство шпалерных стоек виноградников имеет большое народнохозяйственное значение, если учесть, что к концу семилетки производство винограда по Союзу будет увеличено не менее чем в четыре раза. По ориентировочным подсчетам только для Армянской ССР ежегодно понадобится более одного миллиона стоек для устройства виноградных шпалер.

* В порядке обсуждения.

Шпалерная стойка представляет собой несущий элемент, для которого до сих пор не существует нормированной нагрузки. С целью получения обоснованных рекомендаций для разработки рациональных конструкций стоек, в Армянском НИИ стройматериалов и сооружений (АНСМ) при участии автора была определена нагрузка, передающаяся на шпалерную стойку.

Как известно, виноградная шпалера состоит из ряда стоек, забитых на определенном расстоянии друг от друга расстоянии (обычно 10 м) с натянутой между ними проволокой в три или четыре ряда, на которую опираются виноградные лозы. На стойку от собственного веса лоз передается вертикальная нагрузка порядка 70 кг. На виноградную шпалеру передается также горизонтальная ветровая нагрузка. Таким образом, стойка шпалеры работает как консоль под одновременным действием осевой силы от веса виноградных лоз и изгибающего момента от поперечной ветровой нагрузки. Расчет показывает, что нормальные напряжения, возникающие от осевой силы, пренебрежимо малы по сравнению с нормальными напряжениями от изгибающих моментов. Поэтому виноградную шпалеру следует рассчитывать как решетчатый забор под действием ветровой нагрузки. Высоту стойки в свету обычно принимают равной 180 см.

В условиях Арагатской долины расчетная скорость ветра на уровне поверхности земли равна 8 м/сек, а на уровне $h = 180$ см — 14 м/сек, и соответствующие скоростные напоры, определяемые по известной формуле $q = v^2/16$, будут равны $q_u = 4 \text{ кг}/\text{м}^2$ и $q_v = 12.3 \text{ кг}/\text{м}^2$.

Расчетный изгибающий момент в предположении распределения скоростного напора по высоте стойки по закону трапеции равен:

$$M = k\gamma\eta l \left(\frac{q_v - q_u}{3} + \frac{q_u}{2} \right) h^2$$

Для рассматриваемого нами случая можно принять коэффициент перегрузки $k = 1.2$; аэродинамический коэффициент для сплошного забора $\gamma = 1.4$; коэффициент полноты решетки $\eta = 0.5$ ($\eta = 1$ для сплошного забора).

При этих исходных параметрах для условий Арагатской долины, где расположены основные виноградники Армении, величина расчетного изгибающего момента получена равной 130 кг·м при шаге стоек $l = 10$ м, чему при стойке из обычного железобетона соответствует прямоугольное сечение 6×10 см с арматурой из 6 мм стержней по ГОСТ 6727—53 при марке бетона „200“. Соответствующий разрушающий изгибающий момент в плоскости наибольшей жесткости по НИТУ 123—55 будет равен 190 кг·м. Расход стали на гектар насаждений составляет 1500 кг, из которых 1000 кг на арматуру диаметром 6 мм и 500 кг проволоки диаметром 2,6 мм на четыре горизонтальных ряда нитей шпалер. Расход бетона — 6 куб. м на гектар.

При струнобетонной стойке расчетному изгибающему моменту 130 кг·м соответствует прямоугольное сечение 5×7 см со сдвоенной

арматурой из 2,6 м.и проволоки по ГОСТ 7348—55, при марке бетона „300“. Расход стали на гектар—900 кг, бетона—3,5 куб. м.

Произведенные нами испытания шпалерных стоек в полевых условиях (см. рис. 1) показали, что при заделке в грунт на 60 см стойка опрокидывается вследствие поворота в грунте при изгибающем моменте 110 кгм*.

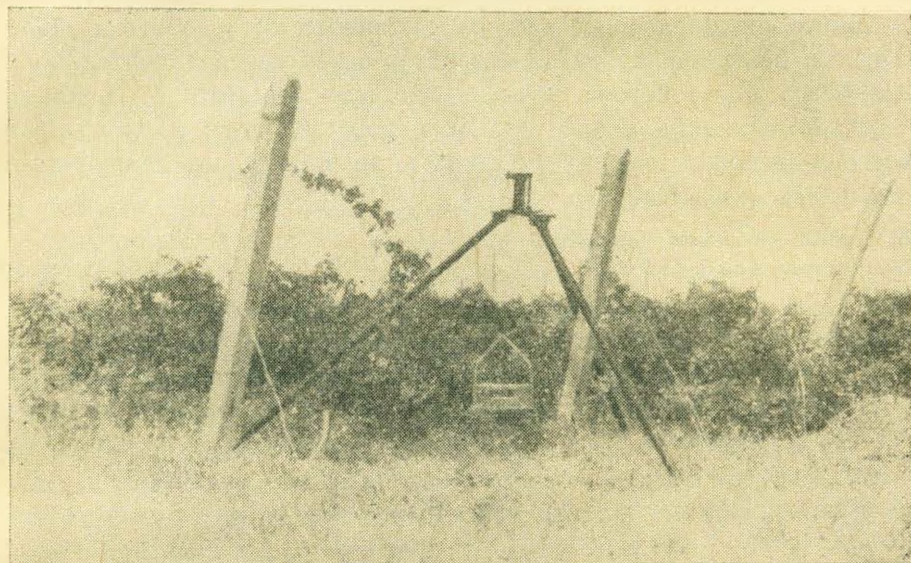


Рис. 1

Наблюдаемые на практике случаи аварий виноградных шпалер в подавляющем большинстве также происходят в результате опрокидывания стоек под действием ветровой нагрузки. Поэтому при установке шпалер желательно осуществить конструктивные мероприятия, улучшающие заделку стоек в грунт. Для восприятия изгибающего момента 190 кгм шпалерная стойка должна заделываться в бутовый фундамент глубиной 50 см с размерами в плане 25 × 25 см.

Надо указать, что чрезмерное уменьшение сечения стоек, как средство для достижения экономии в материалах, по-видимому, нецелесообразно, так как при этом ухудшается транспортабельность элемента и уменьшается его долговечность. В дальнейшем, если окажется возможным некоторое уменьшение расчетного изгибающего момента, целесообразно не уменьшение сечения стоек, а увеличение шага стоек в шпалере. Ориентировочные подсчеты показывают, что с увеличением шага стоек расход материалов на гектар насаждений значительно уменьшается.

Разрушающей нагрузкой для крайней заанкеренной стойки яв-

* В испытаниях участвовали сотрудники АИСМ К. Г. Андреасян и М. Г. Магукиан.

ляется вес виноградных лоз, величина которого меньше ветровой нагрузки на среднюю стойку ряда. Поэтому при установке шпалер плоскость наибольшей жесткости крайней стойки надо совместить с плоскостью шпалеры.

В настоящее время в Государственном проектном институте „Армжилгражданпроект“ под руководством инж. С. Г. Багдасаряна при участии АИСМ разрабатывается типовой проект шпалерных стоек из обычного и предварительно напряженного железобетона. Представляется целесообразным производство стоек из предварительно напряженного железобетона на пресс-бетонном агрегате Г. Н. Канецяна и Р. М. Мхикяна, обеспечивающем возможность массового производства в Армении шпалерных стоек и полного удовлетворения ими нужд армянских виноградарей.

НИИ стройматериалов и сооружений
Госстроя Армянской ССР

Поступило 13.VIII 1959

КРИТИКА И БИБЛИОГРАФИЯ

А. Г. НАЗАРОВ

О НОВОЙ БРОШЮРЕ И. Л. КОРЧИНСКОГО

Новая брошюра И. Л. Корчинского [1] представляет собою переработку прежде выпущенной брошюры [2]. Выпуск этой работы представляет интерес по двум причинам.

Во-первых, по идее автора она должна служить обоснованием расчетной части „Норм и правил строительства в сейсмических районах (СН-8-57)“, в которых приняты его рекомендации.

Во-вторых, поскольку на первую брошюру М. Т. Уразбаевым, Ю. Р. Лейдерманом, В. Т. Рассказовским и В. К. Кабуловым [3] была написана обстоятельная, развернутая критика, были даны существенные критические замечания также Б. К. Карапетяном и Цянью Пэфуном [4, 5], естественно было ожидать от И. Л. Корчинского определенной реакции на те многочисленные серьезные возражения, которые ими были высказаны. Однако приходится отметить, что к нашему удивлению в брошюре мы не нашли ни одного ответного слова на эти критические замечания. Может быть автор молчаливо согласился с критикой и все же ее учел в своей работе? Но внимательный просмотр показал, что и этого нет. В работе И. Л. Корчинского не только вновь воспроизведены указанные упомянутыми учеными дефекты, но добавлены еще новые.

Мы рассмотрим лишь главнейшие недостатки, которые считаем необходимым устранить для улучшения брошюры.

Автор по-прежнему исходит из аналитической интерпретации перемещения почвы при землетрясении как суммы затухающих колебаний вида

$$y_0 = \sum a_0 e^{-\omega t} \sin (\omega t + \gamma), \quad (1)$$

где y_0 — перемещение почвы.

Индексы при параметрах a_0 , ε_0 , ω и γ , отвечающие номеру члена ряда, автором опущены. Им предлагается сейсмограммы аппроксимировать рядами вида (1). После некоторых соображений качественного порядка и то на основе сейсмограмм очень слабых землетрясений, которые имеют мало общего с сейсмограммами разрушительных землетрясений, автор приходит к выводу:—„Таким образом, основываясь на изложенном, в качестве исходной предпосылки при расчете сооружений на сейсмическое воздействие логично принять, что движение грунта происходит по закону уравнения (1), в котором зна-

чения $\frac{2\pi\varepsilon_0}{\omega}$ во всех слагаемых постоянны, и величины ω могут иметь любые значения в определенных пределах $\omega_1 - \omega_2$.

Соображения автора далеко не оставляют впечатления логической законченности этого вывода. Необходимо было бы провести огромную исследовательскую работу для его подтверждения.

Далее автор отмечает, что и при наличии этих упрощающих предпосылок расчет реальных сооружений на сейсмические воздействия будет не только «резвычайно сложным», но, кроме того, и неопределенным, так как сумма (1) состоит «из неопределенного числа составляющих». Итак, аппроксимация сейсмограмм суммой типа (1) привела к «неопределенному» числу составляющих, вместо того, чтобы получить определенное число составляющих в зависимости от заданной точности аппроксимации). Поэтому автор предлагает осуществить дальнейшее упрощение расчетных предпосылок.

Дифференцируя дважды (1), он получает «аппроксимацию» ускорения почвы при землетрясении вида

$$y_0 = - \sum_1^n a_0 (\omega^2 + \varepsilon_0^2) e^{-\varepsilon_0 t} \sin (\omega t + \gamma + \varphi_0), \quad (2)$$

где

$$\operatorname{tg} \varphi_0 = \frac{2\varepsilon_0 \omega}{\omega^2 - \varepsilon_0^2}.$$

Какой высокой точностью приближения должна обладать функция (1), чтобы ее вторая производная служила (хотя бы с грубым приближением) аналитическим изображением ускорения почвы!

Далее автор предполагает, что все составляющие суммы (2) могут обладать равными по величине начальными ускорениями и равными характеристиками затуханий, но разными частотами. Тогда, как справедливо отмечает автор, наибольший эффект на систему с одной степенью свободы окажет та составляющая, частота которой ω_i будет равна или будет ближайшей к частоте собственных колебаний ρ этой системы. На основе этого, но опять таки без достаточного обоснования, автор рекомендует расчет на сейсмические воздействия сводить к определению усилий и деформаций возникающих в сооружении от действия одной затухающей синусоиды, частота которой, однако, может иметь различные значения, т. е.

$$y_0 = a_0 e^{-\varepsilon_i t} \sin \omega t. \quad (3)$$

Собственно говоря автор мог бы, минуя сомнительные операции с функцией (1) непосредственно, рекомендовать осуществление расчета сооружений по формуле (3) при четко выраженных предпосылках. По-видимому, в качестве таковых им принято, что максимальное ускорение, примерно равное $a_0 \omega^2$ при малых ε_0 , при данном земле-

трясении фиксировано, а ω принято равной частоте свободных колебаний заданной упругой системы. При этом им получается наибольшее возможное усилие, отвечающее состоянию резонанса.

Такая непосредственная, прямая формулировка постановки задачи, взамен рассмотренной только что, была бы более приемлема, если не по существу, то хотя бы формально. Но автор этого предположения также не придерживается до конца, как будет видно при определении коэффициента β .

При рассмотре системы со многими степенями свободы им предлагается осуществлять расчет по резонансному состоянию для каждой формы свободных колебаний в отдельности и устанавливать напряженные состояния сооружений в данной точке, отвечающие различным формам свободных колебаний. Максимальное напряженное состояние и будет расчетным для этой точки.

В действительности, конечно, явление протекает значительно сложнее, так как имеет место одновременное наложение различных форм колебаний и напряженное состояние в данной точке определяется совокупностью деформаций, отвечающих этим формам колебаний. Об этом например см. [6].

Как указывалось выше, автор не придерживается до конца предложенной им предпосылки рассматривать лишь колебания почвы, вызывающие резонансное состояние в сооружении. Вот что он пишет на стр. 12. „Таким образом, если бы действительный сейсмический толчок вызывал *только однотонные колебания почвы* (курсив наш) и, если бы этим однотонным колебаниям отвечало максимальное ускорение, равное $a_0\omega^2$, то динамический эффект такого толчка на сооружение, обладающее частотой собственных колебаний $p = \omega$, равнялся бы примерно 6. На самом деле, однако, колебания почвы не являются однотонными и, следовательно, максимально наблюдаемое ускорение отвечает не одной какой-либо составляющей этого колебательного процесса, а их общему суммарному действию. При этом их общий эффект, понятно, будет меньшим, так как сооружение сможет находиться в резонансе лишь с одной, пусть даже наиболее мощной составляющей многотоннного колебательного процесса почвы”.

Итак, И. Л. Корчинский исходил, для упрощения, из предпосылки, что почва совершает однотонные колебания с частотой $\omega = p$. На основе этого он определил динамический коэффициент $\beta = 6$. Далее он заявляет, что допущение об однотонности колебаний почвы неверно, что на самом деле колебания почвы многотонны и поэтому значения β преувеличены. Им предлагается ввести, без достаточного на то основания, поправочный коэффициент 0,5 и, таким образом, принять $\beta = 3$.

Автор, признавая далее „значительную условность“ своих теоретических построений, подвергает, опять-таки на основе качественных соображений, кривую $\beta(T)$ дальнейшим деформациям в зоне малых и

высоких частот и придает ей окончательную форму, принятую в СН-8-57*.

Далее приводятся сопоставления результатов расчета каменных зданий, пострадавших при Ашхабадском землетрясении 1948 г., с его теоретическими результатами. Автор отмечает, что результаты его теории согласуются с действительностью.

Любопытно отметить, что в предыдущей брошюре [1] автор максимальные значения коэффициента β оценивал на основе расчета именно этих же каменных зданий. В данной брошюре автор обращает постановку задачи и дает „теоретическое“ определение максимального значения β (пользуясь сейсмограммами очень слабых землетрясений!), а затем иллюстрирует „правильность“ полученного результата по фактическим данным, что создает иллюзию законченности его теории.

Далее И. Л. Корчинский осуществляет сопоставления сейсмических нагрузок, принятых в ряде зарубежных стран и полученных им. Воспроизведем его табл. 7, где приведены значения коэффициентов, на которые следует умножить все сооружения Q для нахождения расчетной величины сейсмической силы S

$$S = CQ \quad (4)$$

Таблица 7 (И. Л. Корчинский)

Наименование стран	Принятые коэффициенты C
США, действующие нормы	0,03—0,13
Италия	0,10—0,17
Новая Зеландия	0,10
Страны Южной Америки	0,06—0,12
Япония	
а) нормы	0,10
б) практика	0,15—0,20

Затем И. Л. Корчинский приводит в своей табл. 8 значения произведений коэффициентов $C_1 = K\beta\eta$ на уровне каждого междуэтажного перекрытия

Таким образом, если вес приведенных грузов на уровне данного междуэтажного перекрытия Q_1 , то сейсмическая сила на уровне этого же перекрытия равна

$$S_1 = K\beta\eta Q_1 = C_1 Q_1 \quad (5)$$

Здесь при Q , C и S мы ввели индексы 1 для того, чтобы данные И. Л. Корчинским коэффициенты для междуэтажных перекрытий отличать от коэффициентов C , отнесенных к полному весу здания, как это имеет место в табл. 7. Очевидно, что $S = \Sigma S_1$.

Приводим табл. 8 И. Л. Корчинского.

* Функция $\beta(T)$ является безразмерным выражением спектра приведенных сейсмических ускорений, рассмотренных Био [7], нами [8], Хаузнером, Мартелем, Алфордом [9] и другими.

Таблица 8 (И. Л. Корчинский)

Тип сооружения	Значения $Kc \beta_1$ при		
	7 баллах	8 баллах	9 баллах
Двухэтажное каменное здание жилого типа:			
первый этаж	0,07	0,135	0,27
второй	0,095	0,19	0,38
Среднее для всего здания — C	0,06	0,12	0,24
Четырехэтажное каменное здание жилого типа:			
первый этаж	0,03	0,065	0,13
второй	0,06	0,12	0,24
третий	0,08	0,16	0,32
четвертый	0,085	0,17	0,34
Среднее для всего здания — C	0,055	0,11	0,22
Четырехэтажное каркасное здание:			
первый этаж	0,005	0,01	0,02
второй	0,02	0,04	0,08
третий	0,03	0,06	0,12
четвертый „	0,04	0,08	0,16
Среднее для всего здания — C	0,025	0,05	0,10

Средние значения C , отнесенные к полному весу здания, включая фундаменты, занижены для двухэтажного каменного здания.

И. Л. Корчинский сопоставляет свои средние коэффициенты с коэффициентами C табл. 7 и сообщает читателю, что средние значения произведения $Kc \beta_1$ для районов сейсмичностью 7–8 баллов соответствуют коэффициентам, принятым в зарубежных странах. Для районов же в 9 баллов эти коэффициенты приняты большими, чем в большинстве зарубежных стран, и величины их находятся в интервале между принятыми в Японии для гражданских и общественных зданий и инженерных сооружений».

Внимательное сравнение табл. 7 и 8 приводит все же к впечатлению, по меньшей мере, о равенстве сейсмических нагрузок в наших нормах для 8 баллов с сейсмическими нагрузками зарубежных норм для 9 баллов.

Однако проследим дальше за ходом рассуждений И. Л. Корчинского. Установив с помощью своих средних „благополучие“ сейсмических нагрузок по СН—8—57 в отношении 7–8 баллов и их завышенност в отношении 9 баллов, И. Л. Корчинский пишет далее. «Таким образом можно констатировать, что расхождения между зарубежными нормами расчета и предлагаемой методикой при определении сейсмических сил для районов с сейсмичностью 9 баллов обусловливаются величиной коэффициента Kc , равной 0,1. Как отмечалось выше, коэффициенты Kc при разработке новой методики определения сейсмической нагрузки были оставлены без изменений».

Таким образом, как видит читатель, И. Л. Корчинский не хочет нести ответственность за завышенность сейсмических нагрузок для 9 баллов, полученных по его методике, так как сейсмический коэффициент $K_c = 0,1$ для 9 баллов был уже принят до него. Но в таком положении находится также $K_c = 0,025$ для 7 баллов и $K_c = 0,05$ для 8 баллов. Почему они не вызывают в данном случае сомнений у И. Л. Корчинского? Если надо снизить величину K_c для 9 баллов, то придется соответственно снизить K_c и для 7 и 8 баллов с целью обеспечения равномерности сейсмической шкалы.

Далее, сейсмический коэффициент K_c , введенный в статическую теорию сейсмостойкости, в настоящее время является архаизмом. Если он введен применительно к динамическим нагрузкам, то исключительно ради удобства, чтобы иметь определенную привязку к сейсмической шкале, которая опирается на этот коэффициент.

Для чего в динамической теории сейсмостойкости разбирают динамику сейсмической нагрузки, динамику материала, динамику конструкции, анализируют фактический материал повреждения построек при землетрясении? Все это необходимо для установления действительных значений сейсмических сил.

И. Л. Корчинский ввел сейсмический коэффициент K_c в свои расчетные формулы. Это его дело. Если сейсмический коэффициент K_c , входящий в формулу (5), неправилен, то он должен был быть компенсирован соответствующим значением коэффициента β .

Динамическая теория по существу приводит к рассмотрению одного числа $\gamma = K_c \beta$, характеризующего сейсмическую нагрузку, поскольку множитель γ связан лишь с распределением грузов по высоте сооружения и с формой его изогнутой оси при свободных колебаниях.

Расчленение γ на множители K_c и β это искусственное расчленение, которое можно допустить для удобства. Если сейсмический коэффициент K_c , скажем, ошибочно принят в два раза меньшим, то динамическая теория должна привести к значению β в два раза большей величины и таким образом обеспечить неизменность γ . Поэтому выглядит неудобной попытка И. Л. Корчинского дефекты своей теории закопать в коэффициент K_c .

Мы не будем останавливаться на других неясностях, неточностях и некорректных обращениях с фактами в рассматриваемой брошюре.

Ясно лишь одно. Расчетные положения СН-8-57 необходимо пересмотреть в сторону снижения.

„Методика“ теоретического определения β , принятая И. Л. Корчинским, должна быть отвергнута. Интересна его попытка оценки β по фактическим материалам повреждения зданий при землетрясении. При обоснованной оценке прочностей отдельных частей зданий, поврежденных при землетрясении, а также при достаточно достоверной методике их расчета возможно в принципе получить реальные значения β . Нам не известно как решена И. Л. Корчинским эта сложная

задача. Несмотря на предпринятые нами попытки, мы не имели возможность получить фактический расчетный материал. Ясно, что неучет низкого качества строительных работ может привести к значительному увеличению β .

Известно, что составители калифорнийских норм также использовали этот прием для определения C (на основе анализа поврежденных построек).

Наши подсчеты показали, что имеет место следующая связь между C и β применительно к зданиям.

$$\beta = 1,23 \frac{C}{K_c} . \quad (6)$$

В калифорнийских нормах максимальное значение C для зданий принято равным 0,06. При расчетной балльности 9 этому соответствует

$$\beta = 12,3 \times 0,06 = 0,738$$

Если даже учесть различие в методах расчета строительных конструкций в СССР и США, а также различия в конструкциях зданий, все же максимальное значение $\beta=3$, принятое нашими нормами, оказывается завышенным. К этому вопросу мы вернемся в другой раз. Здесь мы не останавливаемся на положительной части работы И. Л. Корчинского, подробно нами рассмотренной в [6].

Институт стройматериалов и сооружений Госстроя
Армянской ССР

Поступило 30.X 1959

ЛИТЕРАТУРА

1. Корчинский И. Л., Сейсмические нагрузки на здания и сооружения, М., 1959.
2. Корчинский И. Л., Расчет сооружений на сейсмические воздействия, ЦНИПС, научное сообщение № 14, М., 1954.
3. Уразбаев М. Т., Лейдерман Ю. Р., Рассказовский В. Т. и Кабулов В. К., Известия АН Узбекской ССР, 1955, № 11.
4. Карапетян Б. К., Известия АН Армянской ССР (серия технич. наук), т. X, 3, 1957.
5. Цянь Пэ-фун. Журнал "Теория и передовой опыт строительства", № 102, сентябрь, 1958, КНР.
6. Назаров А. Г. Метод инженерного анализа сейсмических сил. Изд. второе. АН Армянской ССР, Ереван, 1959.
7. Biol M. A. Bull. of the Seismological society of America. Vol. 31, 2. 1941.
8. Назаров А. Г., ДАН Армянской ССР, т. II, вып. 5, 1945.
9. Housner G. W., Martel K. K., Alford Y. L., Bull. of the Seismological Society of America, Vol. 43, 2, 1953.

П. М. Варвак, И. О. Губерман, М. М. Мирошниченко, Н. Д. Предтеченский.
„Таблицы для расчета прямоугольных плит“. Изд. АН Украинской ССР, Киев, 1959.

Книга, объемом 36 печатных листов, содержит наиболее полный справочный материал для расчета прямоугольных плит, имеющих различные граничные условия. Рассмотрено девять граничных условий, часто встречающихся в инженерной практике. Все задачи решены методом сеток — аппроксимированием поверхности плиты квадратной сеточной областью.

Каждая таблица содержит значения прогибов, изгибающих моментов, поперечных сил во всех узлах сеточной области, распределенных опорных реакций в узлах, лежащих на шарнирно опертых и защемленных краях плит, и сосредоточенных реакций в углах шарнирно опертых плит. Все эти величины определены для двух видов нагрузки: равномерно-распределенной по всей плите; равномерно-распределенной по квадратным площадкам вокруг внутренних точек и по прямоугольным площадкам у точек на свободном крае плиты.

Все коэффициенты, за малым исключением, приведены с четырьмя знаками после запятой.

Надо отметить, что удачная система изложения позволяет легко ориентироваться в практическом применении таблиц.

Книга „Таблицы для расчета прямоугольных плит“ является ценным пособием для инженеров-проектировщиков, а также для студентов строительных вузов.

С. Г. ИОННИСЯН

К. Терцаги и Р. Пек „Механика грунтов в инженерной практике“.
Госстройиздат, М., 1958.

Книга, объемом 36 печатных листов, посвящена изложению основ грунтоведения, механики грунтов и практики их применения при проектировании оснований и земляных сооружений. Работа состоит из трех частей.

Первая часть посвящена изложению физических, гидравлических и механических свойств грунтов; вторая — теоретическим основам механики грунтов; третья — вопросам проектирования и строительства оснований.

Несмотря на то, что в книге не нашли отражения оригинальные исследования советских ученых, выполненные за последние годы, она все же представляет значительный вклад в строительную науку.

С. Р. МЕСЧЯН

ԺԱԱՅՆԱԿԱՆ ՍՍՈՒ ԳԱ. ՏԵՂԵԿԱԳՐԻՆ (ՏԵԽՆԵԿՈՒԼԿԱՆ ԳԻՏՈՒԹՅՈՒՆՆԵՐԻ
ՄԵՐԻՆ) XII ՀԱՏՈՐԻ ԲԻՆԱՆԴԱԿՈՒԹՅՈՒՆՆԵՐԻ

Է—49

Ճինարարական մեխանիկա

- Ա. Ա. Գուրբինյան. Ազատության մեկ աստիճան ունեցող սիստեմի տատանման հարցի մասին՝ առաձգապլաստիկական զեֆորմացիաների հաշվառումով 1—3

Ճինարարական Փիզիկա

- Ա. Ա. Կարապետյան. Ա. Ա. Ղոբյանպատի. Շենքերի պատող կոնսորուկցիաների ձայնամեկուսացնող ընդունակության հարցը 6—37

Հիգրավիլիկա

- Հ. Պ. Այվազյան. Ցուրբուլենտային փոխանակության գործակյի հետադուռումը հունային հարթ հոսանքների սահմանային շերտում 3—3
Բ. Լ. Բունիարյան. Մծող խողովակներում հիգրավիլիկական հուրվածի ալիքի տարածման արագության մասին 3—11
Ա. Ա. Խոանալյան. Ցածր ճնշման պոմպային կայանների ճնշման խողովակաշարում հիգրավիլիկական հարվածի կանխման եղանակ 4—3
Հ. Հ. Դամբարյան. Ն. Ն. Մայլիյան. Քերրուռն հոսանքում գլորվող ալիքների փորձնական հետազոտությունը 2—3
Ա. Ա. Փոխստրյան. Ընդլայնական ցիրկուլյացիայի մարումը ուղղագիծ ջրանցքում 1—19

Կիրառական մեխանիկա

- Ա. Պ. Տիմոֆեև. Մեանա լճի ջերմային հաշվեկշորի բաղադրիչների որոշման մեթոդիկայի մասին 1—29
Տ. Ա. Օգնեա. Մեանա լճի մակերեռույթի վրա տարվա տաք ժամանակի քամու մասին 2—41
Տ. Ա. Օգնեա. Ա. Ա. Միտրաբյան. Հ. Ա. Գալֆայան. Մեանա լճի մերձյալ շերտի տուրբուլենտ փոխանակումը ընորոշող պարամետրերը 1—37

Խճեներական սեղամուզիա

- Հ. Վ. Փեշտմարյան. Ռեակտիվ գործունեության սեյսմիկ հարթակ 6—23

Էլեկտրատեխնիկա

- Ա. Ա. Առաքելյան. Հառատառուն հոսանքով պայմանավորված մաղնիսական դաշտի հաշվարկը անհամասեռ միջավայրում 3—17
Հ. Ա. Արանայան. Էներգոսուստեմի սոնդիկա-ուղղիչային բեռի մողերի հարցի շուրջը 3—27
Ա. Ա. Գրձելյան. Ա. Ա. Խոայան. Ա. Ա. Ասրարեայան. Ն. Պ. Առելիանյան. Ա. Ա. Թորոսյան. Բարձունքային պայմաններում փոփոխական հոսանքի պըսակի հզորության կորուստների ուսումնամիջան որոշ արգյունքներ 2—23
Ա. Ա. Գրձելյան. Ա. Ա. Կարասյայան. Ն. Պ. Առելիանյան. Ա. Ա. Թորոսյան. Բարձունքային էլեկտրահաղորդման զծերի պսակի էլեկտրաէներգիայի տարեկան կոռուստների հաշվարկման առանձնահատկությունները 6—3

Ա. Ա. Կարապետյան. Ճկուն և ուժային կարելների ջիղերի սեփական և փոխադարձ ալիքային գիւմագրությունների որոշման մեթոդ	2—35
Գ. Հ. Կոստանդիան. Ելեկտրական սիստեմներում բարդ ոչ սիմետրիկ վնասվածքների տեսության գիրարերյալ	2—11
Ն. Պ. Առենիանյան. Բարձր լեռնային շրջանների մի քանի օդերեսթարանական հատկությունների՝ պահի և էլեկտրատեղակայումների արտաքին մեկու- սացման վրա ազդման հարցի շուրջը	6—15

Հիգրոսեխնիկա

Հ. Ա. Ակումագյան. Հիգրոսուրբինների էներգետիկ փորձարկումները շհաստատված սեմիներում	5—13
Հ. Ա. Գոլֆայում. Մարսիմալ ելքերի ջրամրարի միջոցով կատարվող տրանսֆոր- մացիայի հաշվումը անալիտիկ եղանակով	2—35
Վ. Դ. Ժամագործյան. Ալիքի շարժումը ջրատարի լայնացող կամ նեղացող անցու- մային մասերում տեղափորկած ջրթափի երկարությամբ	2—51

Հիգրոէներգետիկա

Բ. Հ. Եղիազարյան. Հիգրոսկայանի օրական կանոնավորումը վերին ջրամրարով և ոչ ճնշման դերիվացիոն ջրանցքի կանոնավորման հնարավորությունները	5—3
--	-----

Հիգրոնոգիա

Ա. Ի. Զալկ. Գարնանային վարարման կազմավորությունը հայտառանի դետերում՝ կախ- ված ձյան դոսալ բաշխումից	4—37
---	------

Հիմարարական սեխնիկա

Կ. Ա. Վարդանյան. Բնական քարերի կտրման մի քանի հարցեր	6—49
--	------

Հելիոսեխնիկա

Ե. Բ. Խելանո. Արեային ջերմային կայանի օպտիկական բնութագրերի հետազո- տումը փորձառական անդրադիմի վրա	4—49
Ք. Հ. Քիոսոլյան. Արեային ջեռուցման սարքերի քիմիկական ակումուլյատորներում ըրուբեղացման հաշվումն զուրֆը	1—45

Ուսապարփուրյուն

Գ. Ա. Սարգսյան. Միկրոկարծրության և Ա տիպի մնացորդային լարումների հետ սառնաձեափոխված սակավ ածխածնային պողպատի ճարավորության կապի մասին	6—29
Վ. Վ. Փինաջան. Ե. Հ. Խնջիկյան. Պլաստիկ պողպատի գեֆորմացիայի հարցի վերա- բերյալ՝ նրա միաժամանակյա ձգման ու ոլորման դեպքում	1—53

Հիմարարական կոնստրուկցիաներ

Գ. Ա. Աբովյան. Զոդված շրջանակների կորագիծ կոշտ հանդույցների աշխատանքի հետազոտումը	4—13
Բ. Հ. Գեորգյան. Նոր տիպի հավաքովի երկաթթրետոնյա կոնստրուկցիաներ գյուղա- կան շինությունների համար	3—33
Շ. Ա. Գյուլխանյան. Հայաստանի հարթավայրային շրջանների կոլտնտեսականի ընա- կելի տան հախագծումը	5—21

Հիմանարկեր

Հ. Ա. Առաքելյան. Ցևենտաքարի ամրության մասին	3—37
---	------

Քիմիական և խենոլոգիա

Ա. Ա. Գառապարյան, Ա. Հ. Զամինյան. Մասնիկների կաշկանդված անկում (հազոր- դում 1)	4—23
Ա. Ա. Գառապարյան, Ա. Հ. Զամինյան. Մասնիկների կաշկանդված անկում (հազոր- դում 2)	5—31
Ա. Յ. ՄԵԼԻՔ-ՀԱԽՆԱՎՈՐՅԱՆ, Կ. Մ. Թաղիեոսյան. Ապակու էլեկտրահալժման գառարանի էլեկտրոդների միջև եղած զիմազրության սրուցումը մոդելացման միջոցով 5—47	

Գիտական նորեր

Ա. Կ. Անանյան. Գետի կայուն ընդերկայնական կորվածքի մասին	4—55
Ա. Կ. Անանյան. Գետի ընդերկայնական կորվածքի հաշվարկը գետաբերանի իջեցման պայմաններում	3—51
Բ. Ֆ. Բեկ-Մարմարչի, Վ. Ն. Ժամանործյան. Սեհանա լիճը թափվող գետերի ջրաբերու- կային կոչտ հոսանքի որոշման մեթոդիկայի մասին	5—64
Բ. Հ. Եղիազարյան. Հակառակ ալիքի ելքի որոշումը	6—53
Է. Ե. Խոջյան. ԱԵյսմիկ սպեկտրի մեկնարուման և տարածման բարձր ձեերի հաշվառման շուրջը	3—47
Ա. Գ. Հովհաննեսյան. Խաղողի շողալերների հաշվային բեռի մասին	6—60
Ա. Ա. Խովիսյան. Պատվանդան լուսապարատի համար	5—65
Ա. Գ. Խովարով. Դերազակելի թվերը և նրանց հաշվառման տեխնիկան	5—55
Ա. Գ. Խովարով. Դեֆորմացիայի և նթարկիվող արինդ մարմինների ընդլայնված նմա- նության հիմնական թերուեմի պարզեցված ապացուցումը	1—57
Ա. Գ. Խովարով, Մ. Ա. Փոխստրյան, Ա. Ի. Տեր-Ալատիածատրյան. Հունային պրո- ցեսուերի մոդելացումը Տորֆումետրիկ անալիզի հիման վրա	5—80
Մ. Ա. Խորդայան. Ա. Ա. Զարարյան. Հայաստանի մի քանի կավերի օգնությամբ ար- տադրական ջրերից հովալենա բրոմի արտազատումը	1—59
Ա. Ա. Խոդյան. Բարդենու փայտանյութի թելիկների թեքվածության աղջեցու- թյունը սոզքի զեփորմացիայի վրա սեղման զեպքում	6—57
Ա. Հ. Վարդանյան. Պատող կոնստրուկցիաների անձայնանցիկության մեծացման հարցը շուրջը	3—57
Ա. Խ. Վերմիջե. Արհային կայանքների արտառ դականությունը մեծացնելու հար- ցի շուրջը	3—60
Ա. Վ. Փիճառյան, Ա. Ա. Կորիխանյան. Առաջարականության բնութագրերի հարցի շուրջը՝ բնական քարի սեղման ժամանակ	3—55

Քննապատրակուն և բիբլիոգրաֆիա

Հ. Տ. Արուց. Պ. Ն. Յարլոչկովի անվան մրցանակի լառութեատ, պրոֆեսոր Գ. Հ. Աթա- րեկով	1—63
Զ. Ա. Հաւազգործյան. Վ. Ա. Փոքրյան. «Ծուս-հայերեն պոլիտեխնիկական բառա- րան» մասին հրատարակված զրախոսությունների առթիվ	4—58
Ա. Գ. Խազարով. Ի. Լ. Կորչինսկու նոր բրոշյուրի մասին	6—63

СОДЕРЖАНИЕ

XII ТОМА „ИЗВЕСТИЙ АН АРМЯНСКОЙ ССР“ (СЕРИЯ ТЕХНИЧЕСКИХ НАУК)

	№—стр.
Строительная механика	
<i>С. С. Дарбинян. К вопросу колебания системы с одной степенью свободы с учетом упруго-пластических деформаций</i>	1—3
Строительная физика	
<i>Н. К. Карапетян, А. А. Корхмазян. К вопросу о звукоизолирующей способности ограждающих конструкций зданий</i>	6—37
Гидравлика	
<i>О. М. Айвазян. Исследование коэффициента турбулентного перемешивания в пограничном слое плоских русловых потоков</i>	3—3
<i>Б. Л. Буниатян. О скорости распространения волны давления гидравлического удара в отсасывающих трубах</i>	3—11
<i>А. О. Гамбaryн, Н. Н. Маилян. Экспериментальное исследование катящихся волн в сверхбурном потоке</i>	2—3
<i>С. М. Исаакян. Способ предотвращения гидравлического удара в нагнетательных трубопроводах низконапорных насосных установок</i>	4—3
<i>М. С. Похсарян. Затухание поперечной циркуляции в прямолинейном канале</i>	1—19
Прикладная метеорология	
<i>Т. А. Огнева, А. М. Мхитарян, А. А. Галфаян. Характеристики турбулентного обмена приводного слоя озера Севан</i>	1—37
<i>Т. А. Огнева. О ветре на поверхности оз. Севан в теплое время года</i>	2—41
<i>М. П. Тимофеев. О методике определения составляющих теплового баланса озера Севан</i>	1—29
Инженерная сейсмология	
<i>О. В. Пештаджян. Сейсмическая платформа реактивного действия</i>	6—23
Электротехника	
<i>А. М. Аракелян. Расчет магнитного поля тока, расположенного в неоднородной среде</i>	3—17
<i>Г. А. Атанасян. К вопросу о модели ртутно-выпрямительной нагрузки энергосистемы</i>	3—27
<i>Р. А. Грдзелян, А. М. Есаян, М. М. Карапетян, Н. П. Степанян, А. С. Торосян. Некоторые результаты исследования потерь мощности на корону переменного тока в высокогорных условиях</i>	2—25
<i>Р. А. Грдзелян, М. М. Карапетян, Н. П. Степанян, А. С. Торосян. Особенности расчета годовых потерь электроэнергии на корону высокогорных электропередач</i>	6—3

<i>М. М. Карапетян.</i> Методика определения собственного и взаимного волновых сопротивлений жил шланговых и силовых кабелей	2—35
<i>Г. Г. Костанян.</i> К теории сложных несимметричных повреждений в электрических системах	2—11
<i>Н. П. Степанян.</i> К вопросу влияния на корону и внешнюю изоляцию электростановок некоторых метеорологических факторов высокогорных районов	6—15
Гидротехника	
<i>А. А. Асламазян.</i> Энергетическое испытание гидротурбин при неустановившихся режимах	5—13
<i>А. А. Галфаян.</i> Аналитический способ расчета трансформации максимальных расходов водохранилищем	2—55
<i>В. Н. Жамагорян.</i> Движение волны вдоль бокового водослива, находящегося на суживающемся или расширяющемся участке водовода	2—51
Гидроэнергетика	
<i>Б. О. Егиазарян.</i> Суточное регулирование ГЭС вышележащим водохранилищем и регулирующая способность безнапорного деривационного водовода	5—3
Гидрология	
<i>А. И. Зак.</i> Формирование половодья в зависимости от зонального распределения снега в горах Армении	4—37
Строительная техника	
<i>К. С. Варданян.</i> Некоторые вопросы резания естественных камней	6—49
Гелиотехника	
<i>Х. А. Кисторян.</i> К расчету кристаллизации в химических аккумуляторах солнечных отопительных устройств	1—45
<i>Н. Б. Рекант.</i> Исследование оптических характеристик солнечной тепловой станции на опытном отражателе	4—49
Металловедение	
<i>В. В. Пинаджян, Е. А. Инджикиян.</i> К вопросу деформации пластичной стали при одновременном растяжении и кручении	1—53
<i>Д. А. Саркисян.</i> О связи трещин холдиндеформированной малоуглеродистой стали с микротвердостью и остаточными напряжениями II рода	6—29
Строительные конструкции	
<i>Г. А. Абоян.</i> Исследование работы криволинейных жестких узлов сварных рам	4—13
<i>Б. О. Геворкян.</i> Новые типы сборных железобетонных конструкций для сельских построек	3—33
<i>Ш. А. Гюльхасян.</i> К проектированию сельского жилого дома для низменных районов Армении	5—21
Строительные материалы	
<i>А. А. Аракелян.</i> О прочности цементного камня	3—37
Химическая технология	
<i>А. М. Гаспарян, А. А. Заминян.</i> Стесненное падение частиц (сообщ. 1) . .	4—29
<i>А. М. Гаспарян, А. А. Заминян.</i> Стесненное падение частиц (сообщ. 2) . .	5—31

<i>А. Ф. Мелик-Ахназаров, К. М. Татевосян.</i> Определение сопротивления между электродами электростекловаренной печи моделированием	5—47
Научные заметки	
<i>А. К. Ананян.</i> Об устойчивом продольном профиле русла реки	4—55
<i>А. К. Ананян.</i> Расчет продольного профиля русла реки при непрерывном изменении ее базиса эрозии	3—51
<i>Б. И. Бек-Мармарчев, В. Н. Жамагорян.</i> О методике определения твердого стока, выносимого реками в озеро Севан	5—64
<i>К. А. Варданян.</i> К вопросу повышения звуконепроницаемости ограждающих конструкций	3—57
<i>К. Х. Вермишев.</i> К вопросу увеличения производительности гелиоустановок	3—60
<i>Б. О. Егиазарян.</i> Определение выхода обратной волны	6—53
<i>С. Г. Ионнисян.</i> О расчетной нагрузке для виноградных шпалер	6—60
<i>Р. А. Мовсисян.</i> Подставка для лотаппарата	5—65
<i>А. Г. Назаров.</i> Предпочтительные числа и техника вычисления	5—55
<i>А. Г. Назаров.</i> Упрощенное доказательство основной теоремы расширенно-го подобия твердых деформируемых тел	1—57
<i>А. Г. Назарян, М. С. Погхсяян, М. М. Тер-Аствацатрян.</i> Моделирование русловых процессов на основе морфометрического анализа	5—60
<i>В. В. Пинаджян, А. А. Корхмазян.</i> К вопросу об упругих характеристиках естественного камня при сжатии	3—55
<i>М. А. Саркисян, Р. А. Закарян.</i> Извлечение трехвалентного хрома из промышленных сточных вод некоторыми глинями Армении	1—59
<i>А. С. Согоян.</i> Влияние наклона волокон древесины тополя на деформацию ползучести при сжатии	6—57
<i>Э. Е. Хачаян.</i> К интерпретации сейсмического спектра и учету влияния высших форм колебаний	3—47
Критика и библиография	
<i>Г. Т. Адонц.</i> Лауреат премии им. П. Н. Яблочкива профессор Г. И. Атабеков	1—63
<i>З. А. Азагорян, В. А. Потекян.</i> По поводу рецензий на „Русско-армянский политехнический словарь”	4—58
<i>А. Г. Назаров.</i> О новой брошюре И. Л. Корчинского	6—63



ԲՈՎԱՆԴԱԿՈՒԹՅՈՒՆ

Էլեկտրատեխնիկա

Ա. Ա. Գրձելյան, Մ. Մ. Կորապետյան, Դ. Պ. Առեփիանյան, Ա. Ա. Թորոսյան, Բարձրագույն էլեկտրահազորդման գծերի պատկի էլեկտրաէներգիայի առանձիան կորուստների հաշվարկման առանձնահատկությունները	3
Ա. Պ. Առեփիանյան, Բարձր լեռնային շրջանների մի քանի օգերեսութարանական հատկությունների՝ պատկի և էլեկտրատեղակայումների արտաքին մեկուսացման վրա ազդման հարցը	15

Խճմեներական սեյամոլոգիա

Հ. Վ. Փեղամազյան, Ռեակտիվ դորժունեության սեյամիկ հարթակ	23
---	----

Մետաղագիտություն

Գ. Ա. Ասրգյան, Միկրոկարծրության և 11 տիպի մնացորդային լարումների հետ սառնաձեափոխած սակավ ածխածնային պողպատի ճարագորության կուղի մասին	29
---	----

Շիճարարական ֆիզիկա

Ա. Ա. Կորապետյան, Ա. Ա. Պորիմազյան, Շենքերի պատող կոնսորուկցիաների ձայնամեկուսացնող ունակության հարցը	37
---	----

Շիճարարական սեխնիկա

Ա. Ա. Վարդանյան, Բնական քարերի կորման մի քանի հարցեր	49
--	----

Դիտական նորեր

Բ. Հ. Եղիազարյան, Հակառակ ալիքի ելքի որոշումը	53
Ա. Ա. Առյոյսի, Բարդենու փայտանյութի թելիկների թեքվածության ազդեցությունը սոզքի գեֆորմացիայի վրա ուզմման դեպքում	57
Ս. Գ. Հովհաննիսյան, Խազողի շպալերների հաշվային բնուի մասին	60

Շիբլիոգրաֆիա

XII հատուի բովանդակություն

СОДЕРЖАНИЕ

Стр.

Электротехника	
<i>P. A. Грдзелян, М. М. Карапетян, Н. П. Степанян, А. С. Торосян.</i> Особенности расчета годовых потерь электроэнергии на корону высокогорных линий электропередач	3
<i>Н. П. Степанян.</i> К вопросу влияния на корону и внешнюю изоляцию электроустановок некоторых метеорологических факторов высокогорных районов	15
Инженерная сейсмология	
<i>О. В. Пештамаджян.</i> Сейсмическая платформа реактивного действия	23
Металловедение	
<i>Д. А. Саркисян.</i> О связи трещин в холоднодеформированной стали с микротвердостью и остаточными напряжениями II рода	29
Строительная физика	
<i>Н. К. Карапетян, А. А. Корхмазян.</i> К вопросу о звукодолголирующей способности ограждающих конструкций зданий	37
Строительная техника	
<i>К. С. Варданян.</i> Некоторые вопросы резания естественных камней	49
Научные заметки	
<i>Б. О. Егиазарян.</i> Определение выхода обратной волны	53
<i>А. С. Согоян.</i> Влияние наклона волокон дрепесины тополя на деформацию ползучести при сжатии	57
<i>С. Г. Ноанисян.</i> О расчетной нагрузке для виноградных шпалер	60
Критика и библиография	
Содержание XII тома	

